

T. C.  
ANADOLU ÜNİVERSİTESİ  
FEN BİLİMLERİ ENSTİTÜSÜ

**BEŞ TAM KARIŞTIRMALI AKIM REAKTÖRLERİNİN  
PULSE ETKİSİNDE DİNAMİĞİ**

**YÜKSEK LİSANS TEZİ**

**Kimya Müh. NACİYE ÜNAL**

**MÜHENDİSLİK - MİMARLIK FAKÜLTESİ  
KİMYA MÜHENDİSLİĞİ BÖLÜMÜ  
ESKİŞEHİR, 1984**

## TEŞEKKÜR

Yüksek lisans çalışmalarım esnasında bana büyük destek olan ve yardımlarını esirgemeyen hocam Doç.Dr. Mustafa ALPBAZ'a, bilgisayar ile çalışmalarımda yardımcı olan Anadolu Üniversitesi Bilgi İşlem Merkezi personeline, yardımlığını gördüğüm Araş.Gör. Ayşe Selek ve diğer arkadaşlarımı, teşekkürlerimi sunarım.

## ÖZET

Bu araştırmada, beş tam karıştırmalı akım reaktörleri dizisinin besleme akış hızına verilen pulse değişiminin etkisinde çıkış değişkenlerinin zamana göre değişimleri bulunarak elde edilen veriler yardımıyla ilgili Bode diyagramları hesaplanmıştır. Bu amaçla sistemin çıkış değişkenleri eşit değerlerde integral adım aralıklarına bölünmüş ve çıkış değişkenlerinin bu adımlardaki noktaları belirlenmiştir. Sıklık bazına göre iletişim fonksiyonları ve ilgili Bode diyagramları Fourier dönüşümlerinin integrallerinin alınması ile hesaplanmıştır. İntegral işlemleri doğrusal I, doğrusal II, trapezoidal ve parabolik yaklaşımlar ile yapılmıştır. Hesaplanan Bode diyagramlarının şekilleri bu dört ayrı yöntem için benzer çıkmıştır. Bode diyagramlarında salınımların başladığı sıklık değeri çıkış değişkenlerinin yatkın hale gelme süresine bağlı olmaktadır.

## ABSTRACT

In this research, when the five continuous stirred tank reactors were under the effect of the pulse change given to the feed flow rate, the change of the output variable with time was calculated and with the aid of the data obtained from this calculation, the related Bode diagrams were found. For this purposes, the output variables were divided into equal values of integral step increment and the points in these increments were specified. According to the frequency base, the transfer functions and related Bode diagrams were calculated with the integration of Fourier transform. The integrations were done with four different approximations which are linear I, linear II, trapezoidal and parabolik approximations. The shape of Bode diagrams were found to be similar from the calculation of four different approximation method. The value of frequencies on which the oscillation of Bode diagram starts depend on the time over which the output variables reaches to the first steady state.

## İÇİNDEKİLER

	Sayfa	
<b>TEŞEKKÜR</b>	i	
<b>ÖZET</b>	ii	
<b>ABSTRACT</b>	iii	
<b>İÇİNDEKİLER</b>	iv	
<b>SEMBOLLER</b>	vi	
<b>GİRİŞ</b>	viii	
<b><u>BÖLÜM 1</u></b>	<b><u>GENEL BİLGİLER</u></b>	<b>1</b>
1.1	Beş tam karıştırmalı akım reaktörlerinin dinamiği ve kontrolü Üzerinde yapılan çalışmalar	1
1.2	Dağılımlı ve kademeli-parametreli sis- temlerin pulse etkisinde dinamiği ile ilgili çalışmalar	2
<b><u>BÖLÜM 2</u></b>	<b><u>MATEMATİK MODELLEME</u></b>	<b>8</b>
2.1	Beş tam karıştırmalı akım reaktörlerinin yatışkin ve yatışkin olmayan-hal denklemleri	
<b><u>BÖLÜM 3</u></b>	<b><u>MATEMATİK MODELİN ÇÖZÜM YÖNTEMLERİ</u></b>	<b>12</b>
3.1	Beş tam karıştırmalı akım reaktörlerinin yatışkin ve yatışkin olmayan-hal denkle- mlerinin sayısal bilgisayar ile çözümü	12
3.1.1	Yatışkin-hal çözümü	12
3.1.2	Yatışkin olmayan-hal çözümü	13
3.2	Pulse test yöntemi	13
3.2.1	Pulse test verilerinden iletim fonksiyonu $G(iw)$ 'nin bulunması	17
3.3	Fourier dönüşümlerinin sayısal bilgisayar ile çözümleri	21
3.3.1	Doğrusal yaklaşım	22
3.3.2	Trapezoidal yaklaşım	28
3.3.3	Parabolik yaklaşım	29

	<u>Sayfa</u>	
<b>BÖLÜM 4</b>	<b><u>SAYISAL BİLGİSAYAR ÇÖZÜMLERİNDEN ELDE EDİLEN KURAMSAL SONUÇLAR</u></b>	32
4.1	Sayısal bilgisayarda kullanılan paramet- relerin değerleri	32
4.2	Sayısal bilgisayar ile elde edilen çözüm sonuçları	33
4.2.1	Yatışkın-hal sonuçları	33
4.2.2	Yatışkın olmayan-hal sonuçları	33
4.2.3.1	Pulse etkisi	33
4.2.3.2	Bode diyagramları	34
<b>BÖLÜM 5</b>	<b><u>TARTIŞMA ve SONUÇ</u></b>	89
<b>EKLER</b>		
EK 1	Yatışkın-hal denklemlerinin sayısal bilgisayar ile çözümleri	90
EK 2	Yatışkın olmayan-hal denklemlerinin sayısal bilgisayar ile çözümleri	94
EK 3	Doğrusal yaklaşım I'in sayısal bilgisayar ile çözümü	97
EK 4	Doğrusal yaklaşım II'nin sayısal bilgisayar ile çözümü	101
EK 5	Trapezoidal yaklaşımın sayısal bilgisayar ile çözümü	107
EK 6	Parabolik yaklaşımın sayısal bilgisayar ile çözümü	113
<b>REFERANSLAR</b>		119

## SEMBOLLER

A	İş transfer yüzeyi ( $\text{cm}^2$ )
$A_c$	Reaktör kesiti ( $\text{cm}^2$ )
$A_s$	Soğutma yüzeyi ( $\text{cm}^2$ )
$c_0$	Besleme giriş derişimi (mol/lt)
$c_n$	n. tankın çıkış derişimi (mol/lt)
$c_{p1}$	Besleme ısı kapasitesi (cal/g $^\circ\text{C}$ )
$c_{p2}$	Soğutma suyu ısı kapasitesi (cal/g $^\circ\text{C}$ )
D	Giriş pulse değişiminin kalma süresi (dak)
G	Genlik oranı
$G(iw)$	Sıklık temeline göre iletim fonksiyonu
$G(s)$	İletim fonksiyonu
h	Pulse büyüklüğü (lt/dak), Integrasyon zaman artışı
$\Delta H$	Reaksiyon ısısı (cal/mol)
$k_{11}, k_{21}$	Runge Kutta sabitleri
$K_p$	Yatışkın-hal için iletim fonksiyonu
$k(T)$	Reaksiyon hız sabiti (l/sn)
$L_1$	Zaman sabiti
$Q(t)$	Zamana bağımlı giriş pulse değişkeni
R	Kazanç değeri
s	Laplace operatörü
t	Zaman (sn), (dak)
$\Delta t$	Giriş ve çıkış pulse değişimlerinin integral adım aralığı (dak)

$T_o$	Besleme giriş sıcaklığı ( $^{\circ}\text{C}$ )
$T_n$	n. Tankın çıkış sıcaklığı ( $^{\circ}\text{C}$ )
$T_Q$	Giriş pulse değişiminin kalma süresi (dak)
$T_x$	Çıkış değişkeninin kalma süresi (dak)
$U$	Isı transfer katsayısı ( $\text{cal/cm}^2 \text{s}^{\circ}\text{C}$ )
$V$	Bir tankın hacmi ( $\text{cm}^3$ ), (lt)
$V_i$	Besleme akış hızı (lt/dak)
$V_2$	Soğutma suyu akış hızı (lt/dak)
$\theta_o$	Soğutma suyu giriş sıcaklığı ( $^{\circ}\text{C}$ )
$\theta_n$	n. tanktaki soğutma suyu sıcaklığı ( $^{\circ}\text{C}$ )
$\theta_1$	Çıkış değişkeni
$\theta_2$	Giriş değişkeni
$\rho_1$	Besleme yoğunluğu ( $\text{g/cm}^3$ )
$\rho_2$	Soğutma suyu yoğunluğu ( $\text{gr/cm}^3$ )
$w$	Pulse fonksiyonunun sıklık değeri (radyan)
$x(t)$	Zamana bağımlı çıkış pulse değişkeni
$\gamma$	Faz gecikimi

## GİRİŞ

Kimya mühendisliğinde borusal ve tam karıştırımlı akım reaktörleri birçok proseslerde kullanılmaktadır. Bu tip reaktörlerin matematiksel modelleri dağılımlı-parametreli (Distiributed-parameter) ve kademeli-parametreli (Lumped-parameter) sistem özelliği gösterirler. n kademeli-parametreli bir sistem dağılımlı-parametreli bir sistem için yaklaşım yöntemidir. Beş tam karıştırmalı akım reaktörlerinin dinamiği ve kontrolü üzerinde yapılan çalışmalarda bu amaca yönelik olarak yapılmıştır, (1,2,3,4).

Kimya mühendisliğinde tasarım hesapları genellikle yatkın-hal şartlarında yapılmaktadır. Yalnız yatkın-hal şartları için tasarımları yapılan bu sistemler işletme anında giriş değişkenliğinde oluşan birtakım değişimlerin etkisi altında kalabilirler. Bu etkilerin altında sistemler yatkın olmayan-hal şartlarına geçerek yatkın-hal tasarım değerlerinden saparlar. Sonuçta sistemde kararsızlık (unstability) görülebilir. Bu nedenlerden dolayı son yıllarda yatkın olmayan-hal içinde proses tasarımları yapılmaktadır. Bu tip tasarımlar sistemlerin giriş değişkenlerinde birtakım değişimler oluşturarak çıkış değişkenlerinin zamana göre değişimlerinin deneysel ve kuramsal olarak karşılaştırılmasına dayanmaktadır. Sistemin birtakım parametrelerinin kuramsal seçimi ile deneysel ve kuramsal sonuçlarının uygunluğu sağlanır. Bu tip işlem ve hesaplama yöntemlerine sistem belirleme teknikleri (system identification) ve tahmin etme

(estimation) denir. Bu amaçla giriş değişkeninde meydana getirilen birçok değişimlerin bir taneside pulse girişidir.

Bu araştırmada beş tam karıştırmalı akım reaktörleri dizisinin akış hızına verilen bir pulse değişiminde sistemin çıkış değişkenlerinin zamana göre değişimlerinden elde edilen veriler yardımıyla ilgili Bode diyagramlarının kuramsal hesaplamaları yapılmıştır. Bu hesaplamalar için Fourier dönüşümünün integral işlemi dört ayrı yöntemle yapılmıştır. Luyben (5), nin önerdiği doğrusal I yaklaşım yöntemi ve Watanabe ve Matsubara (6), nin önerdikleri doğrusal II, trapezoidal ve parabolik yaklaşım yöntemleri integral işlemleri için kullanılmıştır. Önce sistemin akış hızına pulse değişimini verilmiş çıkış değişkenlerinin zamana göre değişimleri eşit değerlerde integral adım aralıklarına bölünerek çıkış değişkeninin bu adımlardaki noktaları belirlenmiştir. Sonra bu noktalardan yararlanılarak Fourier dönüşümlerinin integral işlemleri yukarıda verilen dört yöntemle yapılmıştır. Bilgisayar hesaplama sonuçlarında faz gecikimi  $\varphi$  ve genlik oranı  $|G|$  bulunarak Bode diyagramları çizilmişdir.

## BÖLÜM 1

### GENEL BİLGİLER

Bu bölümde yapılan araştırma ile ilgili genel bilgiler verilmiştir. Beş tam karıştırmalı akım reaktörlerinin dinamiği ve kontrolü üzerine yapılan çalışmalar incelenmiştir. Ayrıca dağılımlı ve kademeli-parametreli sistemlerin pulse etkisinde dinamiği ile ilgili literatürde verilen araştırmalar gösterilmiştir.

#### 1.1. Beş Tam Karıştırmalı Akım Reaktörlerinin Dinamiği ve Kontrolü Üzerine Yapılan Çalışmalar

Bu kısımda, beş tam karıştırmalı akım reaktörlerinin dinamiği ve kontrolü ile ilgili yapılan çalışmalar verilmiştir.

Alpbaz (1) aynı sistem için, besleme akış hızına verilen kademeli etkisinde, sistemin dinamiği ile benzer etki altında ileri ve geri beslemeli kontrol sistemlerinin etkinliği üzerinde çalışmalar yapmıştır.

Selek (2) yukarıda verilen sistemin, besleme akış hızına çeşitli frekanslarda verilen sinus değişimleri altında, ileri ve geri beslemeli kontrol etkisi ile çıkış değişkenlerinin zamana göre değişimlerini incelemiştir.

Kaytakoğlu (3), aynı sistemin giriş besleme akışında verilen çeşitli değerlerde kesikli ve kesiksiz ramp değişiminin çıkış değişkenlerine etkisini dinamik

çalışmalar olarak hesaplamış ve sonra ileri ve geri beslemeli kontrol sistemlerinin ilâvesi ile çıkış değişkenlerinin zamana göre değişimini incelemiştir.

Özkan (4), beş tam karıştırmalı akım reaktörlerinin besleme akış hızına verilen kademe, sinüs ve ramp değişimleri altında Cascade ve birbirine etkeden kontrol sistemlerinin etkinliğini incelemiştir. Elde edilen kuramsal hesap sonuçlarını ileri ve geri beslemeli kontrol sistemleri ile karşılaştırmıştır. En etkin kontrol sistemi olarak ileri ve geri beslemeli kontrol sistemini önermiştir. Cascade kontrol sistemlerinde soğutma suyunun sıcaklık ölçüm yerinin önemini vurgulamıştır. Beşinci tanktan alınan soğutma suyu sıcaklık ölçümlü ile daha etkin kontrol olduğu yapılan hesaplamalar sonunda görülmüştür.

#### 1.2. Dağılımlı ve Kademeli-Parametreli Sistemlerin Pulse Etkisinde Dinamiği ile İlgili Çalışmalar

Bu kısımda pulse etkisinde dağılımlı ve kademeli-parametreli sistemlerin dinamiği ile ilgili çalışmalar verilmiştir.

Sistemlerin genel olarak dinamik analizleri zaman, Laplace ve sıklık temellerine göre analitik yöntemlerle yapılır.

Zaman temeline göre analizler, sistemlerin giriş değişkenlerine verilen kademe, pulse, impulse, ramp, sinüs değişimlerinin çıkış değişkenlerine etkisini hesaplamak için yapılır. Çözümü yapılan matematik model kademeli veya dağılımlı-parametreli sistem özelliği gösterebilir.

Diğer bir analitik metod Laplace dönüşümle-ridir. Bu yöntemde diferansiyel denklemlerin önce Laplace dönüşümleri alınır sonra ters Laplace dönüsümünün yardımı ile ilgili denklem çözülür.

Son analitik yöntem ise sıklik temeline göre analizdir. Bu analiz kısaca ilgili diferansiyel denklemi Laplace dönüşümü eşitliğinde ( $s = iw$ ) konularak elde edilir. Bilhassa kapalı hat yanıtılarda kararlılık analizleri için uygulanan önemli bir yöntemdir.

Yukarıda verilen analitik çözüm yöntemleri deneysel çalışmalar için sistem belirleme teknikleri olarak kullanılabilir. Kademe, sinüs ve pulse değişimleri deneysel olarak sistemlerin giriş değişkenlerine verilerek çıkış değişkenlerinin zamana göre değişimleri gözlenir ve kuramsal sonuçlarla karşılaştırılarak sistemlerin bir takım parametrelerini tahmini yapılabilir.

Kademe değişimleri zaman ve sıklik temeline göre sistem dinamığını tahmin etmek için kullanılabilir. Zaman temeline göre sistemin matematik modeli çözülür ve deneysel sonuçlarla karşılaştırılır. Bu yöntemin matematiksel modeli belli olmayan sistemler için kullanılması imkânsızdır. Ayrıca kademe etkisinde iki, üç ve daha yukarı mertebeden sistemlerin çıkış değişkenlerinin zamana göre değişimlerini birbirinden ayırmak zordur. Buna karşın kademe etkisinden elde edilen veriler yardımıyla Fourier dönüşümleri ile sıklik yanıtımı elde edilebilir. Bu yöntem kararlılık analizleri için kullanılır.

Direk sinüs etkisi sistem belirleme tekniklerinden biri olarak bilinir. Sistemin giriş değişkenlerine çeşitli sıklıklarında sinüs etkileri verilerek ilgili Bode diyagramları çizilir. Bu diyagramlar bilindiği gibi kapalı hat yanıtlarının kararlılık testi için önemli bir yöntemdir, (2).

Pulse test yöntemi ise yukarıda verilenlerden daha etkili olan bir sistem belirleme teknigidir. Pulse değişiminin sisteme verilişi yalnızca bir vanayı açıp ve kapamak şeklinde olduğundan çok basittir. Çıkış değişkenleri yatişkin-halde iken, sistemin giriş değişkenlerinden birine  $h$  büyülüğu ve  $D$  süresinde pulse verildiğinde dinamik hale geçerler ve sonra tekrar eski yatişkin-hale gelirler. Pulse değişimin yardımıyla sinüs değişimlerinden elde edilen benzer Bode diyagramları çizilir.

Yukarıda verilen sistem belirleme tekniklerinin yanında son yıllarda impulse ve pseudo-random binary sinyalleride kullanılmaktadır. Bunlardan pseudo-random binary sinyali, pulse yükseklikleri  $+h$  ve  $-h$  ile eşit olasılıklı fakat farklı kalma sürelerine sahip birçok tekrarlanmış seri halde pulselerden meydana gelmektedir. Bu sinyal belirli aralıklarla tekrarlanmaktadır. Böyle bir sinyalden sıklık yanıtımı elde etmek için  $z$  dönüşümleri kullanılır.

Dreifke (7), analog bilgisayar ile oluşturulan pulse değişimlerinin bazı matematiksel modeller için geliştirilen iletişim fonksiyonlarının dinamik özelliklerine etkilerini incelemiştir. Bunun yanında verilen pulse değişimlerinin kalma süre ve yüksekliklerini değiştirerek çeşitli sistemlere uygulamıştır.

Hougen ve Walsh (8), doğrusal yaklaşım yöntemini kullanarak meydana gelecek olan hataları incelemiştir. Bu amaçla dikdörtgen, üçgen ve yarımsinüs şeklindeki pulse değişimleri ve etkileri için kullanılan Fourier dönüşümünün integral işlemini doğrusal yaklaşım yöntemi ile yapmışlardır. Dikdörtgen ve üçgen şeklindeki pulse değişimleri için integral adım aralığının sonuçlara etkisi görülmekten

yarım-sinüs şekli için ise adım aralığının integrasyon sonucunu etkilediğini ve hata verdiğini göstermişlerdir.

Messa (9), birinci mertebeden bir sistemin giriş değişkenine verilen bir impulse değişiminin çıkış değişkenlerine etkisini incelemiştir. Fourier dönüşümlerini elde etmek için doğrusal ve parabolik yaklaşım yöntemlerinden yararlanmıştır. Integral adım aralığının büyümesi ile daha iyi neticeler alındığını görmüştür. Benzer etkiyi deneysel olarak sistemlerde denemiş ve deneysel veriler ile kuramsal sonuçları karşılaştırarak standart sapmayı hesaplamıştır.

Rake (10), pulse karakteristikleri ve Fourier dönüşümünün integrasyon özellikleri hakkında bir özet vermiştir. Ayrıca pseudo-random binary sinyallerin sistem belirleme tekniklerinden biri olabileceğini önermiş ve üstünlüğünü belirtmiştir.

Michael (11), czochralski kristal büyümeye sistemlerinde kristal çapının büyümesi ile karıştırıcıının güç değişimi arasında iletim fonksiyonunu gelişirebilmek için deneyler yapmıştır. Deneysel yöntemde gallium fosfat kristali kullanılmış ve güç kontrol elamanına pseudo-random binary sinyal verilerek kristal büyümeleri ölçülmüştür. Data prosesing teknikleriyle kristal büyümesi için eşit zaman aralıklarında kristal çapı ölçümleri sayısal bilgisayara girdi olarak verilir. Michael, proses için ilgili sıklık yanıtımını hesaplamada hızlı (fast) Fourier dönüşüm yöntemini kullanmıştır.

Deshpande (12), bir buhar ile ısıtılan suyun bulunduğu akım tankının dinamik özelliklerini bulmak için pulse teknigi yöntemi uygulanmıştır. Dikdörtgen pulse bu amaçla kullanılmış ve giriş akış hızına

verilmiştir. Deshpande Bode diyagramlarını hesaplayarak optimal kontrol parametreleri vermiştir.

Deshpande (13) diğer bir çalışmasında ticari bir reaktör olan ekzometrik bir reaksiyon içeren ve polimer fabrikasında kullanılan bir sistemin açık hat yanıtımı için pulse test yöntemi kullanmıştır. Bu çalışmada kinetik veriler belli olmadığından matematik modelleme yapılarak kuramsal ve deneysel sonuçlar karşılaştırılamamıştır.

Yukarıdaki çalışmaların yanında birçok kompleks prosesin iletim fonksiyonlarını bulmak amacıyla sıklik yanıtımı tekniğiyle sistem belirlemesi yapılmıştır, (14,15,16,17,18).

Iuyben (5), sistemlerin giriş değişkenlerine verilen pulse değişiminde çıkış değişkenlerinin zaman'a göre değişimlerinden elde edilen bilgilerle Bode diyagramlarının hesaplanması için doğrusal yaklaşım yöntemini önermiştir.

Watanabe ve Matsubara (6), kesikli Fourier dönüşümlerinin oluşumu için doğrusal, parabolik ve trapezoidal integral yöntemlerini önermiştir.

Hiçşşamaz (19), yukarıda verilen üç ayrı integral yöntemini  $\text{CaCl}_2$ 'ün su ile karıştırıldığı bir karıştırma tankına uygulamıştır. Pulse test yöntemi  $\text{CaCl}_2$  derişimine uygulanmış ve elde edilen çıkış değişiminin verilerinden Bode diyagramını hesaplanmıştır.

Cresswell (20), içерden bir helozon ile soğutulan tam karıştırmalı akım tankının dinamiğini incelemiştir. Deneysel verilerden elde edilen sonuçlarla ısı iletim katsayısını hesaplamıştır. Giriş sıcaklığına pulse değişimini vererek çıkış değişkeninin zaman'a göre değişimini deneysel ve kuramsal olarak incelemiştir.

Eroğlu (21), sızıntılı akışlı dolgulu yataklı reaktörlerde impulse test yöntemi yardımıyla sıvı gaz arası kütle-iletim katsayısını hesaplamıştır.

Lubbert, Diekmann, Rotzoll (22), pseudo-random binary sinyal teknigini bir kabarcıklı kolonun gaz fazı için kalma zaman dağılımını hesaplamak için kullanmışlardır. Bu teknikde en önemli üstünlük giriş akış hızında çok düşük miktarda iz, elemanın kullanılması ve modern mikro prosesörler ile hesapların on-line yapılabilmesidir.

## BÖLÜM 2

### MATEMATİK MODELLEME

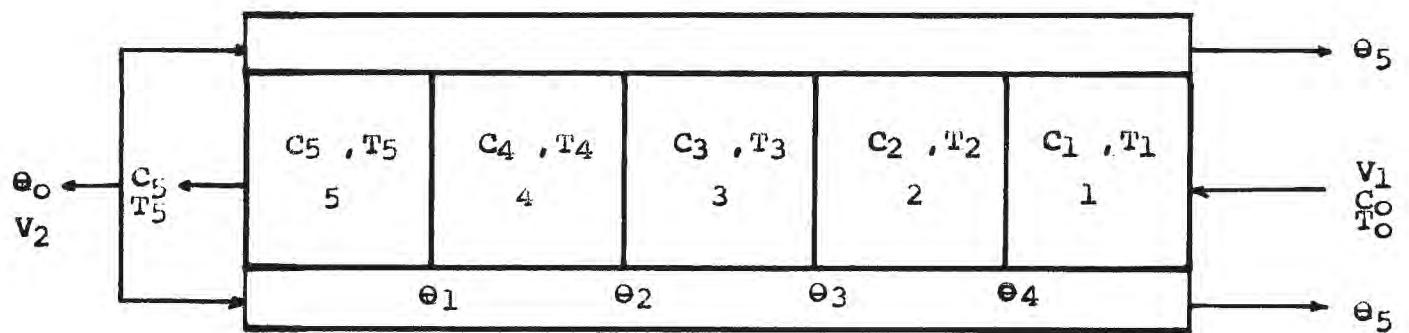
Bu bölümde yapılan araştırmada kullanılan tam karıştırmalı akım reaktörleri için yatkın ve yatkın olmayan-hal denklemleri verilmiştir.

Denklemlerin daha basit ve kullanışlı olabilmesi için bir takım varsayımlar yapılmıştır, (1,2,3,4).

1. Reaktörde birinci mertebeden ekzotermik bir reaksiyon oluşmaktadır.
2. Çevreye olan ısı kayipları ihmâl edilmiştir.
3. Reaktörde yoğunluk, özgül ısı gibi fiziksel özellikler sabittir.
4. Isı transfer katsayısı, soğutma suyunun akış hızı ile değişmektedir.

#### 2.1. Tam Karıştırmalı Akım Reaktörlerinin Yatkın ve Yatkın Olmayan - Hal Denklemleri

Bu varsayımlara ek olarak, kullanılan tam karıştırmalı akım reaktörlerinin tüm tanklarının çok iyi karıştırıldığı ve böylece her tank için sıcaklık ve derişim dağılımının aynı olduğu kabul edilir. Birinci mertebeden bir reaksiyon için tam karıştırmalı akım reaktörlerinin matematik modeli aşağıda verilmiştir, Şekil 2.1.



Şekil 2.1.: Yatışkın-halde beş tam karıştırılmış akım reaktörü.

a. Tam Karıştırmalı Akım Reaktörünün  
Kütle Denkliği

Yatışkin Olmayan-Hal:

$$\frac{dc_1}{dt} = \frac{V_1}{V} (c_0 - c_1) - k(T_1) c_1 \quad (2.1)$$

Yatışkin-Hal:

$$\frac{dc_1}{dt} = 0 \quad \text{ve} \quad c_1 = c_1^0$$

buradan

$$c_1^0 = \frac{c_0}{1 + \frac{k(T_1^0) V}{V_1}} \quad (2.2)$$

b. Enerji Denkliği

Yatışkin Olmayan-Hal:

$$V_1 \rho_1 c p_1 T_0 = V_1 \rho_1 c p_1 T_1 + V_2 \rho_2 c p_2 (\theta_5 - \theta_4) - k(T_1) V c_1 (-\Delta H) + \rho_1 V c p_1 \frac{dT_1}{dt} \quad (2.3)$$

veya

$$\frac{dT_1}{dt} = \frac{V_1}{V} (T_0 - T_1) \frac{V_2 \rho_2 c p_2}{\rho_1 V c p_1} (\theta_5 - \theta_4) \frac{\Delta H c_1}{\rho_1 c p_1} - k(T_1) \quad (2.4)$$

Yatışkin - Hal:

$$\frac{dT_1}{dt} = 0 \quad \text{ve} \quad T_1 = T_1^0 \quad \text{buradan}$$

$$T_1^0 = T_0 - \frac{V_2 \rho_2 c p_2}{V_1 \rho_1 c p_1} (\theta_5 - \theta_4) - \frac{k(T_1^0)}{\rho_1 V_1 c p_1} \frac{V \Delta H c_1^0}{V_1 c p_1}$$

veya

$$T_1^o = T_o - \frac{V_2 \rho_2 c p_2}{V_1 \rho_1 c p_1} (\theta_5^o - \theta_4^o) - \frac{k(T_1^o)V \Delta Hc_o}{\rho_1 V_1 c p_1 (1 + \frac{k(T_1^o)V}{V_1})} \quad (2.6)$$

c. Ceket İçindeki Akışkan için Enerji Denkliği  
Yatışkin Olmayan Hal:

$$V_2 \rho_2 c p_2 \theta_4 + UA(T_1 - \theta_5) = V_2 \rho_2 c p_2 \theta_5 + M_c c p_2 \frac{d\theta_5}{dt} \quad (2.7)$$

Yatışkin-Hal:

Denklem (2.7)'nin zaman sabiti çok küçüktür.  
Bu nedenle birikim terimi yatışkin olmayan-hal için  
ihmâl edilmiştir.

$$\theta_4 = T_1 - (T_1 - \theta_5) \exp(UA/V_2 \rho_2 c p_2) \quad (2.8)$$

## BÖLÜM 3

### MATEMATİK MODELİN ÇÖZÜM YÖNTEMLERİ

Bu bölümde beş tam karıştırmalı akım reaktörleri için Bölüm 2.'de verilen matematiksel çözüm yöntemleri gösterilmiştir. Ayrıca pulse test yönteminde uygulanan bilgisayar çözümleri için ayrıntılı bilgi verilmiştir.

#### 3.1. Beş Tam Karıştırmalı Akım Reaktörlerinin Yatışkın ve Yatışkın Olmayan-Hal Denklemlerinin Sayısal Bilgisayar İle Çözümü

Beş tam karıştırmalı akım reaktörlerinin yatışkın olmayan-hal denklemlerinin bilgisayar ile çözümleri konu ile ilgili önceki araştırmalarda verilmiştir,(1,2,3,4). Bu nedenle bu kısımda bilgisayar çözüm yöntemleri kısaca anlatılmıştır.

##### 3.1.1. Yatışkın-Hal Çözümü

Yatışkın olmayan-hal denklemlerinin çözümü için gerekli olan başlangıç zamanındaki sıcaklık ve derişim değerlerini hesaplar. Besleme ile soğutma suyunun akış hızları sisteme ters yönde girdiklerinden gerekli hesaplamaları yapabilmek için Newton-Raphson iterasyon yöntemi ile Golden-Section Search optimizasyon işlemi kullanılmıştır. Bu kısımla ilgili sayısal bilgisayar çözüm ve listesi Ek 1. de verilmiştir.

### 3.1.2. Yatışkin Olmayan-Hal Çözümü

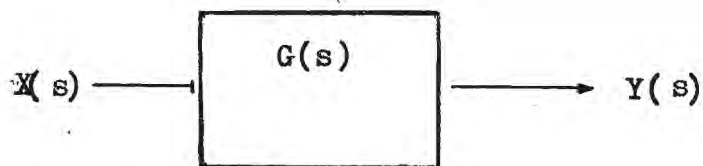
Bu yöntem için gerekli olan başlangıç şartları yatışkin-hal sayısal bilgisayar çözümünden elde edilir. Yatışkin olmayan-hal denklemleri ise dördüncü dereceden Runge-Kutta yöntemi ile çözülür. Bilgisayar çözüm ve listesi Ek 2. de verilmiştir.

### 3.2. Pulse Test Yöntemi

Bu kısımda konu ile ilgili olan temel bilgiler verilmiştir. Önce Laplace dönüşümleri, iletim fonksiyonları sinüs girişleri ve ilgili Bode diyagramları anlatılmış sonrada pulse giriş, Laplace dönüşümü ve birinci mertebeden bir sisteme pulse etkisi bir örnekle açıklanmıştır.

#### i) İletim Fonksiyonu

Kontrol ve dinamik çalışmalarında sistemin açıklanabilmesi için iletim fonksiyonları çok kullanılır. Kısaca iletim fonksiyonu çıkış ve giriş değişkenlerinin Laplace dönüşümlerinin oranı olarak tanımlanabilir.



$X(s)$  : Giriş değişkeninin Laplace dönüşümü

$Y(s)$  : Çıkış değişkeninin Laplace dönüşümü

$G(s)$  : İletim Fonksiyonu

$$G(s) = \frac{Y(s)}{X(s)} \quad (3.1)$$

Şekil 3.1. : İletim Fonksiyonu

### ii) Sinüs Girişи

Bir sinüs girişи matematiksel olarak aşağıda gösterilmiştir.

$$\begin{aligned} t = 0 & \quad f(t) = 0 \\ t = t & \quad f(t) = A \sin \omega t \end{aligned} \tag{3.2}$$

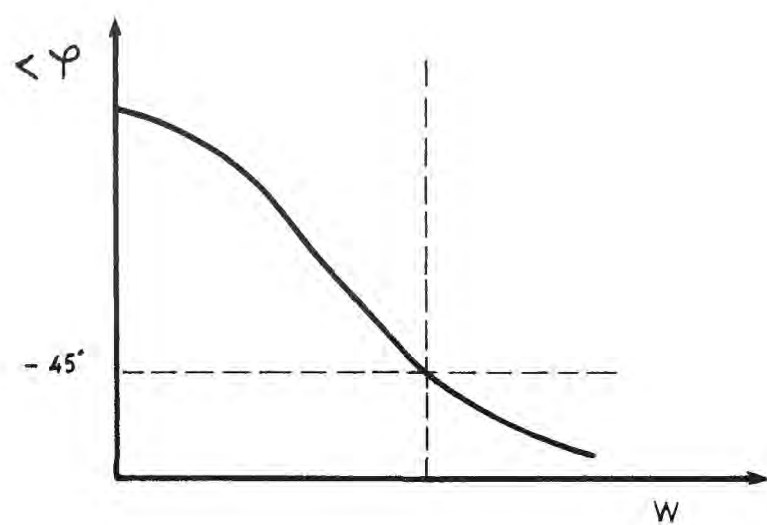
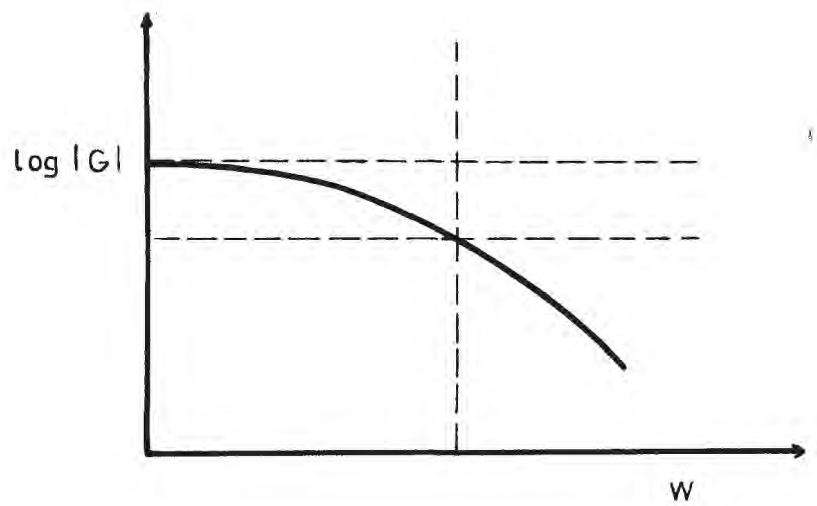
Dinamik ve kontrol çalışmalarında sinüs değişimi genellikle giriş akış hızlarına verilir.

### iii) Bode Diyagramları

Bode diyagramları sistemlerin kararlılık analizlerini yapabilmek için önemli bir yöntemdir. Sistemlerin dinamik analizleri sıklık temeline göre yapıldığında Bode diyagramları çok kullanılır. Bu tip diyagramlar faz gecikimi ( $\varphi$ ) ve genlik oranı  $|G|$  ayrı ayrı çeşitli sıklık değerlerine karşı çizilerek bulunur, Şekil 3.2. Bu şekil, sinüs değişiminin birinci mertebeden bir sisteme etkisini gösteren bir Bode diyagramıdır. Çeşitli mertebeden sistemler için Bode diyagramları çizilebilir. Bode kararlılık kurallına göre birinci mertebeden sistemler için  $\varphi = -180^\circ$  değerinde iken  $|G|$ , 1 değerinden küçük olmalıdır.

### iv) Pulse Girişи

Tipik bir pulse giriş ve çıkışı Şekil 3.3, de gösterilmiştir. Sistem bir yatkın halde iken  $h$  büyüğünde ve  $D$  süresince pulse verilerek tekrar eski yatkın-hale getirilir. Pulse değişiminin yarımiyla sinüs değişimlerinden elde edilenlere benzer Bode diyagramları çizilir. Kalma süresi  $D$  ve büyüğü  $h$  olan bir pulse girişи matematiksel olarak aşağıda verilmiştir.



$$G = \frac{1}{(1 + W^2 L_1^2)^{1/2}} \quad \varphi = -\tan^{-1} W L_1$$

**Sekil 5.2:** Birinci mertebeden bir sistem için Bode diyagramı.

$$f(t) = \begin{cases} 0 & t < 0 \\ h & 0 < t < D \\ 0 & t > D \end{cases} \quad (3.3)$$

veya

$$f(t) = h [U(t) - U(t - D)] \quad (3.4)$$

$U(t)$  : Birim kademe değişimi.

Bu girişin Laplace dönüşümü ise;

$$f(s) = h \left( \frac{1 - e^{-sD}}{s} \right) \quad (3.5)$$

Deneysel olarak bir pulse değişiminin sisteme verilmesi için özel bir cihaza ihtiyaç yoktur. Basitçe pulse değişimi sisteme verilerek yanıtım ölçülür. Bir sistem pulse etkisi altında iken çıkış değişkeninin zamana göre değişimi pulse şekline benzer. Böylece giriş ve çıkış değişkenleri birinci yatişkin-halden başlarlar ve sonra tekrar aynı yatişkin-hale dönerler. Birinci mertebeden bir sisteme pulse değişiminin etkisine bir örnek aşağıda verilmiştir.

v) Birinci Mertebeden Bir Sisteme Pulse Etkisi  
 $D$  kalma süreli ve  $h$  büyüklüğünde pulse  
girişinin Laplace dönüşümü;

$$\theta_2 = \frac{h (1 - e^{-Ds})}{s} \quad (3.6)$$

$L_1$  zaman sabiti ve  $R$  kazancını içeren birinci mertebeden bir sistemin iletim fonksiyonu;

$$\frac{\theta_1}{\theta_2} = \frac{R}{L_1 s + 1} \quad (3.7)$$

Pulse girişi verilirse;

$$\theta_1(s) = \frac{Rh(1 - e^{-Ds})}{s(L_1 s + 1)} ; \quad (3.8)$$

$$\theta_1(s) = Rh \frac{1}{s(L_1 s + 1)} - Rh \frac{e^{-Ds}}{s(L_1 s + 1)} \quad (3.9)$$

Ters Laplace alınırsa;

$$\theta_1 = Rh \left[ 1 - e^{-t/L_1} \right] - Rh \left[ 1 - e^{-t - D/L_1} \right] \quad (3.10)$$

artıran etki;

$$0 < t < D \quad Rh \left[ 1 - e^{-t/L_1} \right] \quad (3.11)$$

düşüren etki;

$$D < t \quad Rh \left[ e^{-t/L_1} (e^{-D/L_1} - 1) \right] \quad (3.12)$$

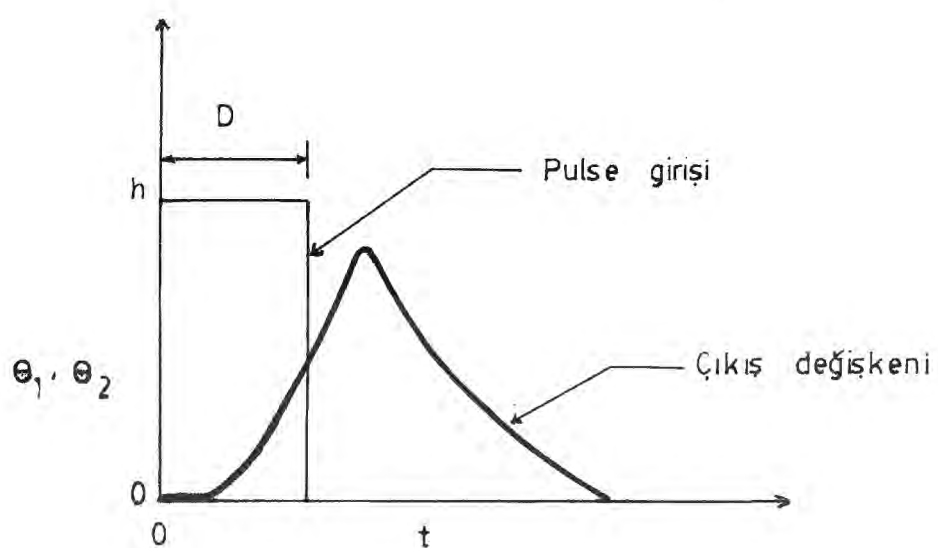
Bu kısımla ilgili giriş ve çıkış değişkenlerinin zamana göre değişimleri Şekil 3.3. de gösterilmiştir.

### 3.2.1. Pulse Test Verilerinden İletim Fonksiyonu

#### $G(iw)$ 'nin Bulunması

Giriş değişimi  $\theta_2(t)$  ve çıkış değişimi  $\theta_1(t)$  olan bir sistemin iletim fonksiyonu;

$$G(s) = \frac{\theta_1(s)}{\theta_2(s)} \quad (3.13)$$



Şekil.5.3.: Bir pulse girişi ve sistemin çıkış değişkenlerinin zamana göre değişimi.

Laplace dönüşümü açık olarak yazılırsa;

$$G(s) = \frac{\int_0^\infty \theta_1(t) e^{-st} dt}{\int_0^\infty \theta_2(t) e^{-st} dt} \quad (3.14)$$

Eğer Laplace temelinden sıklik temeline geçilmek istenirse  $s = iw$  konur.

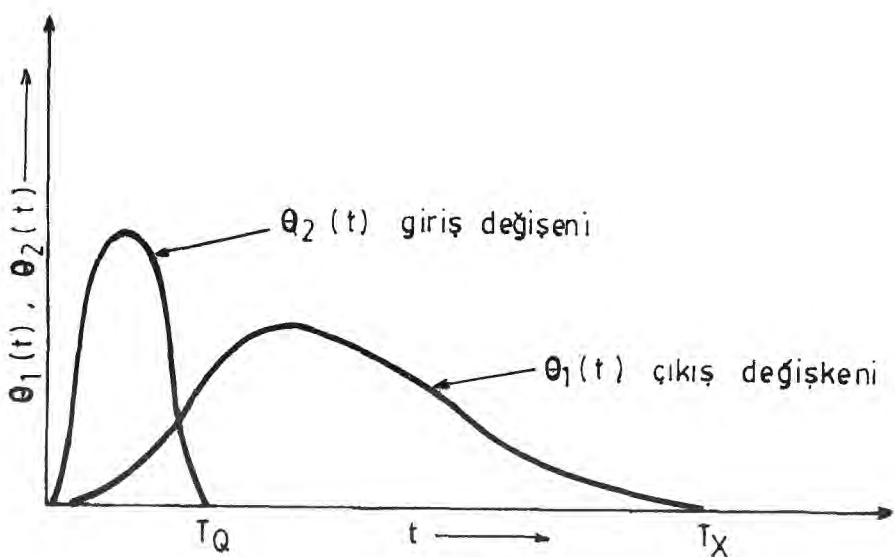
$$G(iw) = \frac{\int_0^\infty \theta_1(t) e^{-iwt} dt}{\int_0^\infty \theta_2(t) e^{-iwt} dt} \quad (3.15)$$

Denklem (3.15)'in pay ve paydası  $\theta_1(t)$  ve  $\theta_2(t)$  nin Fourier dönüşümlerini verir. Böylece  $G(iw)$  nin sıklik yanıtımı pulse test yöntemi ile hesaplanabilir, Şekil 3.4 .

$$G(iw) = \frac{\int_0^\infty \theta_1(t) \cos(wt) dt - i \int_0^\infty \theta_1(t) \sin(wt) dt}{\int_0^\infty \theta_2(t) \cos(wt) dt - i \int_0^\infty \theta_2(t) \sin(wt) dt} \quad (3.16)$$

$$= \frac{A - iB}{C - iD} = \frac{(AC + BD) + i(AD - BC)}{C^2 + D^2} \quad (3.17)$$

$$= \operatorname{Re} G(iw) + i \operatorname{Im} G(iw) \quad (3.18)$$



Sekil 3.4: Pulse test girişinin ve çıkış değişkeninin  
zamana göre değişimleri ve yatkıskın hale  
geliş süreleri.

$$A = \int_0^{T_x} \Theta_1(t) \cos(wt) dt \quad (3.19)$$

$$B = \int_0^{T_x} \Theta_1(t) \sin(wt) dt \quad (3.20)$$

$$C = \int_0^{T_Q} \Theta_2(t) \cos(wt) dt \quad (3.21)$$

$$D = \int_0^{T_Q} \Theta_2(t) \sin(wt) dt \quad (3.22)$$

Göründüğü gibi problem verilen bir pulse yanıtımı için A, B, C ve D katsayılarının hesaplanması indirgenir. Yukarıda verilen katsayıları hesaplamak için ilgili tüm integral işlemlerinde  $t=0$  zamanından  $\Theta_2(t)$  için  $T_Q$  ve  $\Theta_1(t)$  için  $T_x$  zamanlarına kadar yapmak gereklidir.

Bir  $w$  değeri alınır ve aynı zaman aralıklarını için integral işlemi yapılır ve  $G(iw)$  alınan  $w$  değeri için hesaplanır. Daha sonra bu işlem çeşitli  $w$  değerleri için tekrarlanır, ilgili tüm  $w$  değerleri değerleri için  $G(iw)$  ler hesaplanır. Hesaplama sonuçlarından Bode diyagramı çizilir.

Yukarıda belirtilen integral işlemi sayısal bilgisayarda yapılır. Bu araştırmada Fourier dönüşümünün integral çözümleri için dört ayrı yöntem kullanılmıştır ve aynı pulse giriş ve yanıtımları için alınmıştır. Bundan sonraki kısımlarda bu dört ayrı yöntem gösterilmiştir.

### 3.3. Fourier Dönüşümlerinin Sayısal Bilgisayar ile Çözümleri

Yukarıda verilen  $G(iw)$  nin hesaplanabilmesi için Fourier dönüşümlerinin integral işleminin yapılması gerekmektedir. Bu amaçla dört ayrı yöntem uygulanmıştır.

### 3.3.1. Doğrusal Yaklaşım

Bu yaklaşım yöntemi iki ayrı şekilde incelenmiştir.

#### i) Doğrusal Yaklaşım I

İnyben (5), doğrusal yaklaşımla ilgili bir integral çözüm yolu önermiştir. Şekil 3.5. de bir pulse değişiminin etkisinde bir sistemin çıkış değişkeninin zamana göre değişimi gösterilmiştir. Bu değişimi çeşitli  $t$  zamanlarına göre parçaladığımızda  $(x_1, t_1)$ ,  $(x_2, t_2)$ , ...,  $(x_k, t_k)$ , ...,  $(x_N, t_N)$  noktaları elde edilir. Ayrıca  $t_N = T_x$  de  $x_N = 0$  olmaktadır. Bu noktalar için  $\Delta t_k$  nin eşit aralıklarda alınması şart değildir.

Eğer denklem (3.14), çıkış değişkeni  $X(t)$  için Fourier dönüşümü yazılırsa;

$$FIT = \int_0^{T_x} X(t) e^{-i\omega t} dt \quad (3.23)$$

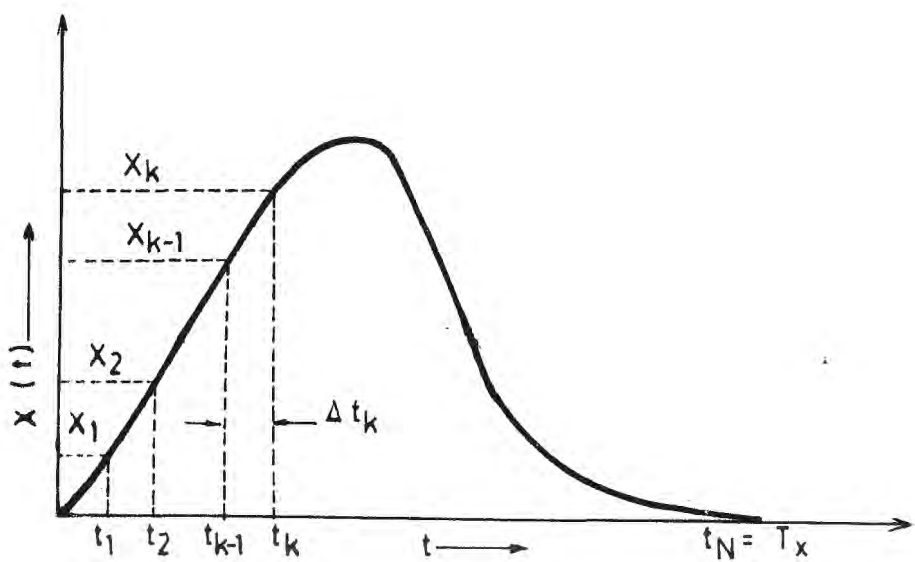
İntegrasyon işlemi için  $(0, T_x)$ ,  $\Delta t_k$  şeklinde eşit olmayan adım aralıklarına bölünürse;

$$FIT = \sum_{k=1}^N \left( \int_{t_{k-1}}^{t_k} X(t) e^{-i\omega t} dt \right) \quad (3.24)$$

$t_{k-1}$  ve  $t_k$  adım aralığında  $x_k$  yi  $\phi_k(t)$  doğrusal polinom ile ifade edilirse;

$$X(t) \approx \phi_k(t) \text{ için } t_{k-1} < t < t_k \quad (3.25)$$

$$\phi_k(t) = \alpha_{0k} + \alpha_{1k} (t - t_{k-1}) \quad (3.26)$$



Şekil 3.5: Pulse etkisinde bir sistemin çıkış değişkeninin zamanla göre değişim grafiğinde Fourier döşümüllerinin integral işlemi için gerekli noktaların  $\Delta t_k$  adım aralıklarının belirtonması.

Bu serilerdeki hesaplama şekli doğrusal yaklaşım yöntemi olarak bilinmektedir.

$$\alpha_{lk} = \frac{x_k - x_{k-1}}{\Delta t_k} \quad (3.27)$$

$\alpha_{lk}$ , k noktasındaki doğrunun eğimidir.

$$\Delta t_k = t_k - t_{k-1} \quad (3.28)$$

$\alpha_{ok}$ , k, aralığının başındaki  $\phi_k$  nin değeridir.

$$\alpha_{ok} = x_{k-1} \quad (3.29)$$

$\alpha_{ok}$  ve  $\alpha_{lk}$  her analiz için değişmektedir.

Denklem (3.24) tekrar yazılırsa;

$$FIT = \sum_{k=1}^N \left[ \int_{t_{k-1}}^{t_k} [\alpha_{ok} + \alpha_{lk} (t - t_{k-1})] \bar{e}^{i\omega t} dt \right] \quad (3.30)$$

Her  $I_k$  analitik olarak geliştirilirse;

$$FIT = \sum_{k=1}^N I_k \quad (3.31)$$

$$I_k = \int_{t_{k-1}}^{t_k} [\alpha_{ok} + \alpha_{lk} (t - t_{k-1})] \bar{e}^{i\omega t} dt \quad (3.32)$$

$$= \frac{-\alpha_{ok}}{i\omega} \bar{e}^{i\omega t} \Big|_{t_{k-1}}^{t_k} + \alpha_{lk} \int_{t_{k-1}}^{t_k} (t - t_{k-1}) \bar{e}^{i\omega t} dt \quad (3.33)$$

integral işlemi yapılırsa;

$$U = t - t_{k-1} \quad dV = \bar{e}^{i\omega t} dt$$

$$dU = dt \quad V = - \frac{\bar{e}^{i\omega t}}{i\omega}$$

$$I_k = \frac{\alpha_{ok}}{iw} (e^{-iwt_{k-1}} - e^{-iwt_k}) - \left[ \alpha_{lk}(t-t_{k-1}) \frac{e^{-iwt}}{iw} \right]_{t_{k-1}}^{t_k} + \frac{\alpha_{lk}}{iw} \int_{t_{k-1}}^{t_k} e^{-iwt} dt \quad (3.34)$$

$$= \frac{\alpha_{ok}}{iw} (e^{-iwt_{k-1}} - e^{-iwt_k}) - \frac{\alpha_{lk}}{iw} (t_k - t_{k-1}) e^{-iwt_k} + \frac{\alpha_{lk}}{w^2} (e^{-iwt_k} - e^{-iwt_{k-1}}) \quad (3.35)$$

Denklem (3.27) ve (3.29)'dan  $\alpha_{ok}$  ve  $\alpha_{lk}$  yerine konursa;

$$I_k = \frac{x_{k-1}}{iw} (e^{-iwt_{k-1}} - e^{-iwt_k}) - \frac{x_k - x_{k-1}}{\Delta t_k} \frac{\Delta t_k}{iw} e^{-iwt_k} \quad (3.36)$$

$$+ \frac{x_k - x_{k-1}}{\Delta t_k} \frac{1}{w^2} (e^{-iwt_k} - e^{-iwt_{k-1}}) \quad (3.37)$$

$$= (x_{k-1} e^{-iwt_{k-1}} - x_{k-1} e^{-iwt_k} - x_k e^{-iwt_k} + x_{k-1} e^{-iwt_k}) \frac{1}{iw} \quad (3.38)$$

$$+ \frac{x_k - x_{k-1}}{w^2 \Delta t_k} (e^{-iwt_k} - e^{-iwt_{k-1}}) \\ = x_k \left( \frac{-e^{-iwt_k}}{iw} + \frac{e^{-iwt_k} - e^{-iwt_{k-1}}}{w^2 \Delta t_k} \right) \quad (3.39)$$

$$+ x_{k-1} \left( \frac{-iwt_{k-1}}{iw} - \frac{-iwt_k - iwt_{k-1}}{w^2 \Delta t_k} \right)$$

$$I_k = e^{-i\omega t_{k-1}} \left[ X_k \left( \frac{e^{-i\omega \Delta t_k} - 1}{\omega^2 \Delta t_k} - \frac{e^{-i\omega \Delta t_k}}{i\omega} \right) - X_{k-1} \left( \frac{e^{-i\omega \Delta t_{k-1}} - 1}{\omega^2 \Delta t_k} - \frac{1}{i\omega} \right) \right] \quad (3.40)$$

$X(t)$  nin Fourier dönüşümü;

$$\int_0^\infty X(t) e^{-i\omega t} dt \approx \sum_{k=1}^N e^{-i\omega t_{k-1}} \left[ X_k \left( \frac{e^{-i\omega \Delta t_k} - 1}{\omega^2 \Delta t_k} - \frac{e^{-i\omega \Delta t_k}}{i\omega} \right) - X_{k-1} \left( \frac{e^{-i\omega \Delta t_{k-1}} - 1}{\omega^2 \Delta t_k} - \frac{1}{i\omega} \right) \right] \quad (3.41)$$

Denklem (3.41) sayısal bilgisayarda çözülebilir. Çözümde bilgisayar programına giriş ve çıkış değişkenlerinin verileri okutularak aynı değişkenlerin Fourier dönüşümleri hesaplanır.  $G(i\omega)$  bulunur sonra gerçek ve sanal kısımlardan faz gecikimi ( $\varphi$ ) ve genlik oranı  $|G|$  hesaplanır Bode diyagramı çizilir.

Yatışkin-hal için iletim fonksiyonu  $G(\omega)$  aşağıda verilmiştir.

$$K_p = G(\omega) \int_0^{T_x} \frac{X(t) dt}{Q(t)} \quad (3.42)$$

Eğer giriş pulse değişkeni dikdörtgen şeklinde ise,  $Q(t)$ , Fourier dönüşümü;

$$\begin{aligned} \int_0^\infty Q(t) e^{-i\omega t} dt &= h \int_0^D e^{-i\omega t} dt \\ &= -\frac{h}{i\omega} e^{-i\omega t} \Big|_0^D \\ &= \frac{h}{i\omega} (1 - e^{-i\omega D}) \end{aligned} \quad (3.43)$$

Sayısal bilgisayarda dikdörtgen şeklindeki bir pulse girişi ve çıkış değişkenleri için hesaplama yöntemi verilmiştir. Bu yöntem için bilgisayar çözümleri ve listesi Ek 3. de verilmiştir.

### ii) Doğrusal Yaklaşım II

Watanabe ve Matsubara (6), aşağıdaki yöntemi önermişlerdir.

$w > 0$  olduğunda ilgili Fourier dönüşümü ve integral çözümü;

$$F(iw) = \Delta t \sum_{n=0}^N P_n f(n \Delta t) e^{-iw n \Delta t} \quad (3.44)$$

İlgili katsayılar aşağıda verildiği gibi hesaplanır.

$$P_n = \begin{cases} 1/2 & n = 0, N \\ 1 & n = 1, 2, \dots, N-1 \end{cases} \quad (3.45)$$

$w = 0$  iken Fourier dönüşümü;

$$F(0) = \Delta t \sum_{n=0}^N R_n f(n \Delta t) \quad (3.46)$$

İlgili katsayılar

$$R_n = \begin{cases} 1/2 & n = 0, N \\ 1 & n = 1, 2, \dots, N-1 \end{cases} \quad (3.47)$$

Doğrusal yaklaşım II ile ilgili tüm sayısal bilgisayar çözüm ve listesi Ek 4. de gösterilmiştir.

### 3.3.2 Trapezoidal Yaklaşım

Watanabe ve Matsubara (6), tarafından Fourier dönüşümlerinin integral çözümü için ikinci bir yöntem olarak verilmiştir. Benzer şekilde

$w > 0$  iken Fourier dönüşümü ve integral çözümü;

$$F(iw) = \Delta t \sum_{n=0}^N P_n f(n\Delta t) e^{-iwn\Delta t} \quad (3.48)$$

ilgili katsayılar;

$$P_0 = [1 - \cos w\Delta t - i(w\Delta t - \sin w\Delta t)] / (w\Delta t)^2 \quad (3.49)$$

$$P_n = (\sin \frac{1}{2} w\Delta t / \frac{1}{2} w\Delta t)^2 \quad (3.50)$$

$$n = 1, 2, \dots, N-1$$

$$P_N = [1 - \cos w\Delta t + i(w\Delta t - \sin w\Delta t)] / (w\Delta t)^2 \quad (3.51)$$

$w = 0$  iken Fourier dönüşümü;

$$F(0) = \Delta t \sum_{n=0}^N P_n f(n\Delta t) \quad (3.52)$$

ilgili katsayılar;

$$\begin{aligned} \lim_{w\Delta t \rightarrow 0} P_0 &= \lim_{w\Delta t \rightarrow 0} \frac{1 - \cos w\Delta t}{(w\Delta t)^2} \\ &= \lim_{w\Delta t \rightarrow 0} \frac{\sin w\Delta t}{2w\Delta t} \\ &= \lim_{w\Delta t \rightarrow 0} \frac{\cos w\Delta t}{2} \end{aligned} \quad (3.53)$$

$$\lim_{w\Delta t \rightarrow 0} P_0 = \lim_{w\Delta t \rightarrow 0} P_N = \frac{1}{2} \quad (3.54)$$

$$\lim_{w\Delta t \rightarrow 0} P_n = \lim_{w\Delta t \rightarrow 0} \frac{\sin \frac{1}{2} w\Delta t}{\frac{1}{2} w\Delta t}$$

$$= \lim_{w\Delta t \rightarrow 0} \frac{\frac{1}{2} \cos w t}{\frac{1}{2}} \quad (3.55)$$

$$\lim_{w\Delta t \rightarrow 0} P_n = 1 \quad (3.56)$$

Bu yaklaşımla ilgili tüm sayısal bilgisayar çözüm ve listesi Ek 5. de gösterilmiştir.

### 3.3.3 Parabolik Yaklaşım

Watanabe ve Matsubara (6), tarafından önerilmiştir. Filon's formülü olarak bilinir.

$w=0$  iken Fourier dönüşümü ve integral çözümü;

$$F(iw) = \frac{\Delta t}{2} \sum_{n=0}^{2N} P_n f(n \frac{\Delta t}{2}) e^{-iwn(\Delta t/2)} \quad (3.57)$$

İlgili katsayılar;

$$P_0 = \frac{2}{(w\Delta t)^2} \left[ (3 + \cos w\Delta t - \frac{4 \sin w\Delta t}{w\Delta t}) - i(w\Delta t - \frac{4}{w\Delta t} - \frac{4 \cos w\Delta t}{w\Delta t} + \sin w\Delta t) \right] \quad (3.58)$$

$$P_{2n-1} = \frac{16}{(w\Delta t)^2} (-\cos \frac{w\Delta t}{2} + \frac{2}{w\Delta t} \sin \frac{w\Delta t}{2}) \quad (3.59)$$

$n = 1, 2, \dots, N$

$$P_{2n} = \frac{4}{(w\Delta t)^2} (3 + \cos w\Delta t - \frac{4 \sin w\Delta t}{w\Delta t}) \quad (3.60)$$

$n = 1, 2, \dots, N-1$

$$P_{2n} = \frac{2}{(w\Delta t)^2} \left[ \left( 3 + \cos w\Delta t - \frac{4 \sin w\Delta t}{w\Delta t} \right) i \left( w\Delta t - \frac{4}{w\Delta t} - \frac{4 \cos w\Delta t}{w\Delta t} + \sin w\Delta t \right) \right] \quad (3.61)$$

$w = 0$  iken Fourier dönüşümü ve integral işlemi Simpson kuralına göre yapılır.

$$F(o) = \frac{\Delta t}{2} \sum_{n=0}^{2N} P_n f \left( n \frac{\Delta t}{2} \right) \quad (3.62)$$

İlgili katsayılar;

$$\lim_{w\Delta t \rightarrow 0} P_0 = \lim_{w\Delta t \rightarrow 0} \frac{6w\Delta t + 2w\Delta t \cos w\Delta t - 8 \sin w\Delta t}{(w\Delta t)^3} \quad (3.63)$$

$$= \lim_{\Delta t \rightarrow 0} \frac{6 - 2w\Delta t \sin w\Delta t - 6 \cos w\Delta t}{3(w\Delta t)^2}$$

$$= \lim_{\Delta t \rightarrow 0} \frac{-2w\Delta t \cos w\Delta t + 4 \sin w\Delta t}{6(w\Delta t)}$$

$$= \lim_{w\Delta t \rightarrow 0} \frac{2w\Delta t \sin w\Delta t + 2 \cos w\Delta t}{6}$$

$$= \frac{1}{3} \quad (3.64)$$

$$\lim_{w\Delta t \rightarrow 0} P_0 = \lim_{w\Delta t \rightarrow 0} P_{2N} = \frac{1}{3} \quad (3.65)$$

$$\lim_{w\Delta t \rightarrow 0} P_{2n} = \lim_{w\Delta t \rightarrow 0} \frac{2}{3} P_0 = \frac{2}{3} \quad (3.66)$$

$$\lim_{w\Delta t \rightarrow 0} P_{2n-1} = \lim_{w\Delta t \rightarrow 0} \frac{-16w\Delta t \cos \frac{w\Delta t}{2} + 32 \sin \frac{w\Delta t}{2}}{(w\Delta t)^3}. \quad (3.67)$$

$$\lim_{w\Delta t \rightarrow 0} \frac{8w\Delta t \sin \frac{w\Delta t}{2}}{3(w\Delta t)^2} \quad (3.68)$$

$$= \lim_{w\Delta t \rightarrow 0} \frac{4w\Delta t \cos \frac{w\Delta t}{2} + 8 \sin \frac{w\Delta t}{2}}{6(w\Delta t)} \quad (3.69)$$

$$= \lim_{w\Delta t \rightarrow 0} \frac{-2w\Delta t \sin \frac{w\Delta t}{2} + 12 \cos \frac{w\Delta t}{2}}{6} \quad (3.70)$$

$$= \lim_{w\Delta t \rightarrow 0} P_{2n-1} = -\frac{4}{3} \quad (3.71)$$

Parabolik yaklaşım ile ilgili tüm sayısal bilgisayar çözüm ve listesi Ek 6. da gösterilmiştir.

Tüm bilgisayar çalışmalarında pulse giriş değişkeni için I ve II doğrusal yaklaşım yöntemleri kullanılmıştır. Yukarıda verilen dört çözüm yönteminde önemli bir nokta integral adım aralığı  $\Delta t$ 'nin seçimidir. Bode diyagramının çizilebilmesi için yerince nokta seçiminin yapılması gereklidir. Ayrıca bir sisteme pulse değişimi verildiğinde  $h$ 'ın değerinin sistemi etkileyebilecek derecede büyük olması istenir. Bu sayede çıkış değişkenlerinin zamana göre değişimi gözlenebilir. Dört integral yönteminde de yüksek sıkılık değerleri Bode diyagramlarında salınılmıştır.

## BÖLÜM 4

### SAYISAL BİLGİSAYARDAN ELDE EDİLEN KURAMSAL SONUÇLAR

Bu bölümde beş tam karıştırmalı akım reaktörlerinin akış hızına verilen pulse değişiminde çıkış değişkenlerinin zamana göre değişimleri incelenmiştir.

#### 4.1. Sayısal Bilgisayar Çözümlerinde Kullanılan Parametrelerin Değerleri

Sayısal bilgisayar çözümlerinde kullanılan parametrelerin değerleri aşağıda verilmiştir.

1. Reaksiyon hız sabiti;

$$k = \exp(36.49 - 12160/T) \quad (4.1)$$

2. Reaksiyon ısısı;

$$\Delta H = -18600 \text{ cal/mol} \quad (\text{Ekzotermik})$$

3. Çalışma şartları;

$$\begin{aligned} T_0 &= 23^{\circ}\text{C} & c_0 &= 0.5 \text{ mol/lt} & \theta_0 &= 5^{\circ}\text{C} \\ V_1 &= 1 \text{ ve } 2 \text{ lt/dak} & V_2 &= 6 \text{ lt/dak} \\ V &= 3200 \text{ cm}^3 \end{aligned}$$

Isı iletimi katsayısı U'nun soğutma suyu akış hızı ile değişimi Şekil 4.1. de verilmiştir. Kullanılan akışkanın ve soğutma suyunun özellikleri aşağıdaki gibidir.

$$\text{Özgül ısı , } c_p = 1.0 \text{ cal/g}^{\circ}\text{C}$$

$$\text{Yoğunluk , } \rho = 1.0 \text{ g/cm}^3$$

#### 4.2. Sayısal Bilgisayar ile Elde Edilen Çözüm Sonuçları

Bu kısımda beş tam karıştırmalı akım reaktörlerinin besleme akış hızına verilen pulse etkisinde çıkış değişkenlerinin zamana göre değişimleri sayısal bilgisayarda hesaplanmıştır. Ayrıca aynı değişkenler için sıklık temeline göre gerekli iletim fonksiyonları hesaplanarak ilgili Bode diyagramları çizilmiştir.

##### 4.2.1. Yatışkin-Hal Sonuçları

Tablo 4.1 de verilen giriş şartlarında, beş tam karıştırmalı akım reaktörlerinin yatışkin-hal denklemleri sayısal bilgisayarda çözülmüştür, (1,2,3,4). İlgili ilk ve son yatışkin hal şartları Tablo 4.1 ve sayısal bilgisayar çözüm sonuçları Şekil 4.2 - 4.5 de gösterilmiştir.

##### 4.2.2. Yatışkin Olmayan-Hal Sonuçları

Beş tam karıştırmalı akım reaktörleri Tablo 4.1. de verilen çalışma şartlarında yatışkin-halde iken besleme akış hızına kademe değişimi ( $V_1=1$  lt/dak,  $V_1=2$  lt/dak) verilerek çıkış değişkenlerinin zamana göre değişimleri sayısal bilgisayarda hesaplanmıştır, (1,2,3,4). İlgili diyagramlar Şekil 4.6 , 4.7 de gösterilmiştir. Görüleceği gibi reaktörler dizisi iki yatışkin-hal arasında kararlılık göstermektedir.

##### 4.2.3.1. Pulse Etkisi

Bu kısımda besleme akış hızına çeşitli büyük-lüklerde pulse etkileri verilerek çıkış sıcaklık ve derişimlerinin zamana göre değişimleri incelenmiştir.

Kısım 4.2.1. de verilen birinci yatiskin-hal şartlarında, beş tam karıştırmalı akım reaktörlerinin besleme akış hızına verilen pulse etkilerinin özellikleri Tablo 4.2. de verilmiştir. Sistemi etkileyen pulse değişimleri ve çıkış değişkenlerinin zamana göre değişimleri Şekil 4.8-4.21 . de gösterilmiştir.

#### 4.2.3.2. Bode Diyagramları

Kısım 3.3. de pulse değişiminin etkisinde olan bir sistemin çıkış değişkenlerinin zamana göre değişim verilerinden Bode diyagramlarının nasıl çizileceği anlatılmıştır. Kisaca özetlenirse önce sistemin çıkış değişkeninin zamana göre değişim verileri  $\Delta t_k$  adım aralıklarına bölünerek her  $t$  ye karşı gelen  $X$  ler belirlenir. Sonra bu noktalar yardımıyla dört ayrı integral çözüm yöntemi kullanılarak Bode diyagramları için gerekli noktalar hesaplanır. Bu işlem bir örnekle aşağıda açıklanmıştır.

Tablo 4.1. de gösterilen şartlarda giriş akış hızına özellikleri Tablo 4.2. de verilen pulse değişim ( $V_1 = 1 \text{ lt/dak}$  ,  $h = 1 \text{ lt/dak}$  ve  $D = 1.666 \text{ dak}$ ) Şekil 4.18. de gösterilmiştir. Beş tam karıştırmalı akım reaktörünün verilen pulse etkisi altında birinci tank çıkışının,  $c_1$  zamana göre değişimini Şekil 4.18. de ve hesaplama için daha detaylı olarak Şekil 4.22. de gösterilmiştir. Fourier dönüşümlerinin integral çözümlerinin yapılabilmesi için pulse değişimini ve çıkış değişkeninin zamana göre değişimini  $\Delta t_k$  adım aralıklarına bölünmüştür. Adım aralığı pulse değişkeni için DLT 1 ve çıkış değişkeni için DLT 3 olarak belirlenmiştir.

Bu çalışmada pulse süresi  $D$  dokuz adım aralığına bölünerek ( $DLT1 = 0.1851$ ) elde edilmiştir. Benzer şekilde çıkış değişkeni  $c_1$ 'in pulse değişiminin etkisiyle ilk yatişkin halden çıkışın tekrar aynı yatişkin hale geliş süresi  $T_x = 3$  dak. yi onsekiz parçaya bölerek  $DLT3 = 0.1667$  dak bulunur, ve ondokuz nokta elde edilir. Diğer çalışmalardan elde edilen verilerde  $T_x$  süresi farklı değerlerde alınmıştır. Bu farklılığın Bode diyagramları üzerinde etkisi görülmüştür.

Luyben (5), in önerdiği doğrusal yaklaşım I de pulse girişinin Fourier dönüşümü Bölüm 3'de verilen denklem (3.43)'e göre hesaplanır. Bu hesaplama yönteminde, pulse girişini  $\Delta t_k$  adım aralıklarına bölmenden yalnızca  $h$  ve  $D$  değerleri bilgisayar programına verilir.

$$\int_0^{\infty} Q(t) e^{-iwt} dt = \frac{h}{iw} (1 - e^{-iWD}) \quad (3.43.)$$

Bu programda giriş pulse'nin Fourier dönüşümünün integrali GDENOM indisi ile hesaplatılmıştır.

Watanabe ve Matsubara (6), nın önerdikleri doğrusal yaklaşım II ye göre giriş pulse etkisi yukarıda verilen örneğe göre dokuz parçaya bölünerek on nokta elde edilmiştir, ( $t=0$  da noktalar 1 den başlar) buna göre sayısal bilgisayar programında  $(-W \times (I - 1) \times DLT1)$  teriminde  $W$  sıklığı gösterirken  $I = 10$  ve  $DLT1 = 0.1851$  olarak alınır ve  $(I-1) \times DLT1$  çarpımı 1.666 dak bulunarak  $D$ 'ye eşit olur. Bu programda pulse girişinin Fourier transformasyonunun integral çözümü GD indisi ile hesaplatılmıştır. Bu çalışmada pulse girişleri için doğrusal I ve II kullanılmıştır.

Pulse etkisinde çıkış değişkenlerinin zamana göre değişiminden elde edilen veriler ile Fourier dönüşümlerinin integral işlemi Luyben (5), in bir ve Watanabe ile Matsubara (6),ının önerdiği üç ayrı yöntemle yapılmıştır. Luybenin önerdiği yöntem için çıkış değişkenlerinden elde edilen adım aralıkları ve ilgili noktalar bilgisayar programlarına doğrudan veri olarak verilir. Bu yöntemlerin hepsinde  $(-W \times (K - 1) \times DLT3)$  çarpımı değişmemektedir. Gösterilen örnekte  $K=19$  nokta alınarak onsekiz eşit parçaya bölünmüştür.  $DLT3 = 0.1667$  için  $(K-1) \times DLT3$  çarpımı pulse çıkış süresi  $T_x = 3$  dak ya eşit olmaktadır. Bu yöntemlerle ilgili programlarda ise çıkış değişkeninin Fourier dönüşümlerinin integral çözümü GN ve Luyben (5), in önerdiği doğrusal programda ise GNUM indisleriyle yapılır.

Giriş ve çıkış pulse'lerinin integral işlemi eğer doğrusal yaklaşım I kullanılırsa ilgili iletişim fonksiyonu sıklık bazına göre aşağıdaki gibi bulunur.

$$G = \frac{G_{NUM}}{G_{DENOM}} \quad (4.2)$$

Eğer giriş pulse için doğrusal yaklaşım II ve çıkış değişkeni için doğrusal II, trapezoidal ve parabolik (Filon) yaklaşımlarından biri kullanılırsa ilgili iletişim fonksiyonu;

$$G = \frac{GN}{GD} \quad (4.3)$$

şeklinde olur.

Yukarıda verilen denklemler (4.2, 4.3) yardımıyla elde edilen kompleks sayıların gerçek ve sanal kısımlarından genlik oranı  $|G|$  ve faz gecikimi ( $\Psi$ ) hesaplanarak, ilgili Bode diyagramlarının noktaları bulunur.

Bu araştırmada giriş akış hızına çeşitli büyüklükte pulse etkileri verilerek beş tam karıştırmalı akım reaktörlerinin birinci ve beşinci tanklarının çıkış sıcaklık ve derişim verilerinden Fourier dönüşümlerinin integral çözümü yardımıyla ilgili Bode diyagramları hesaplanmıştır. Yapılan çalışmalarda integral adım aralıklarının DLT3 hesaplama sonuçlarına etkisi araştırılmıştır. Sistemin ayrıca yatışkin olmayan-hal sonuçlarında çıkış değişkenleri birinci yatışkin-halden ayrılip tekrar aynı yatışkin hale geliş süreleri farklı olmaktadır. Bazı hallerde yatışkin-hale gelişler uzun sürmekte ve Fourier dönüşümleri için alınan yatışkin-hale gelme süresi  $T_x$  hesap sonuçlarını etkilemektedir. Bu araştırmada yapılan tüm giriş pulse değişimleri integral adım aralıkları ve yatışkin-hale gelme süreleri Tablo 4.3 - 4.6 da ve ilgili Bode diyagramları Şekil 4.23 - 4.43. de gösterilmiştir.

Yapılan bilgisayar çözümlerinden elde edilen sonuçlar aşağıda sırasıyla verilmiştir.

Bode diyagramlarının salınımları pulse kalma süresi büyükçe artar.

İntegrasyon adım aralıklarının değişiminin Bode diyagramlarının şecline fazlaca etkisi yoktur. Yalnız dört yaklaşım sonuçları arasında çok ufak farklar görülmektedir.

Yatışkin-hale gelme süresi  $T_x$ 'in farklı değerlerde alınması Bode diyagramının şekilleri üzerinde değişimlere neden olmaktadır. Örnek olarak Şekil 4.24, 4.26 alındığında,  $T_x=3.0$  dak Bode diyagramı  $\log w=0.35$  de salınımlı hale geçerken aynı şartlarda  $T_x=4.5$  dak için Bode diyagramı  $\log w=0.15$  değerinde salınım gösterir.

Yapılan çalışmalarda yatışkin-hale gelme süresi için alınan değerler çıkış değişkenlerinin zamana göre değişimlerinin durumuna göre çeşitli farklılıklar göstermiştir. Bu farklılıklar aşağıda sırasıyla verilmiştir.

Çıkış değişkeni birinci yatışkin-halden dinamik hale geçerek ikinci yatışkin-hale çok uzun sürede gelmektedir. Şekil 4.16. da verilen  $T_1$  sıcaklığı bu şekle uymaktadır.

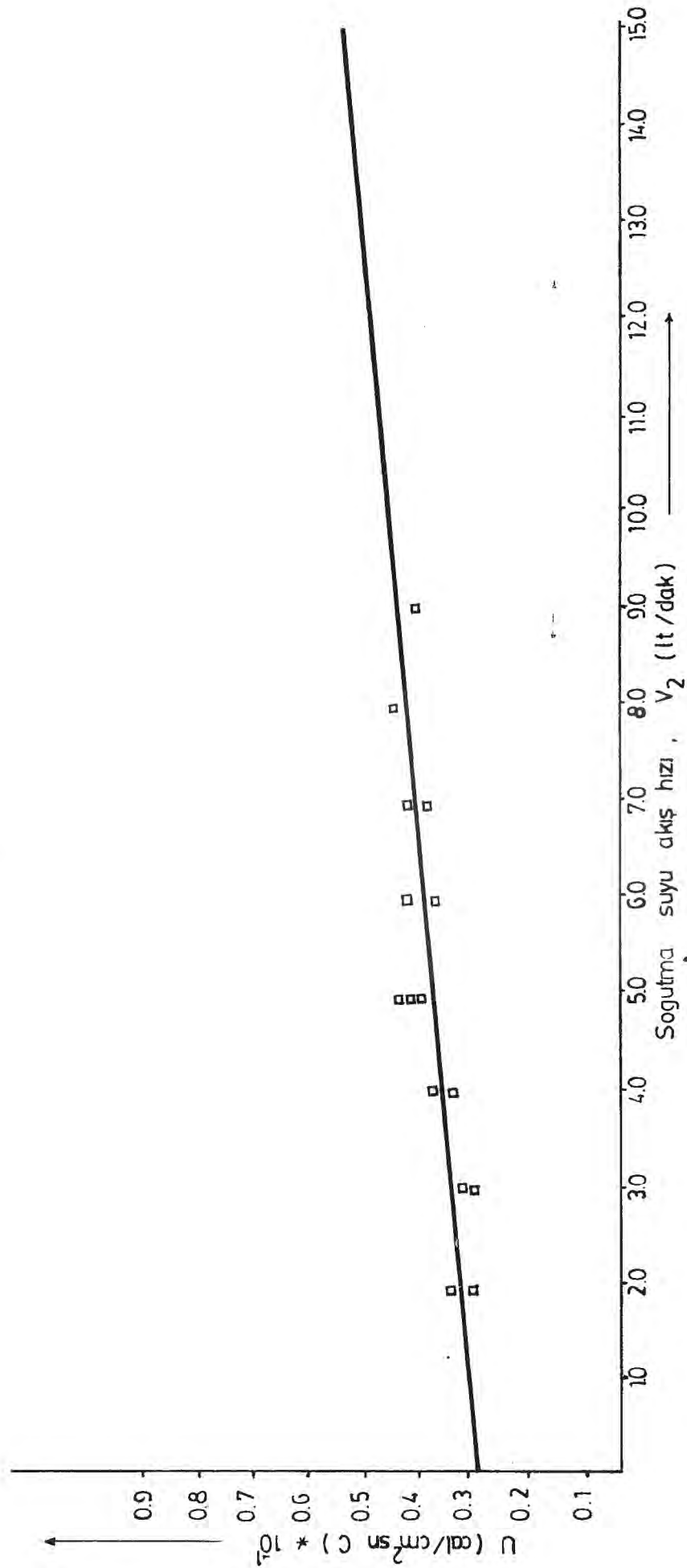
Bu gibi hallerde çıkış değişkenlerinin ikinci yatışkin hale uygun bir değerde yaklaşığı süre yatışkin-hale gelme süresi olarak alınabilir.

Bazı hallerde çıkış değişkeni birinci yatışkin halden dinamik hale geçtikten sonra aynı yatışkin hali bir defa geçerek ikinci kez ve daha uzun sürede birinci yatışkin hale gelir, Şekil 4.16. Bu gibi hallerde yatışkin hale gelme süresi çıkış değişkeninin birinci yatışkin hali ilk çıkış süresi olarak alınır.

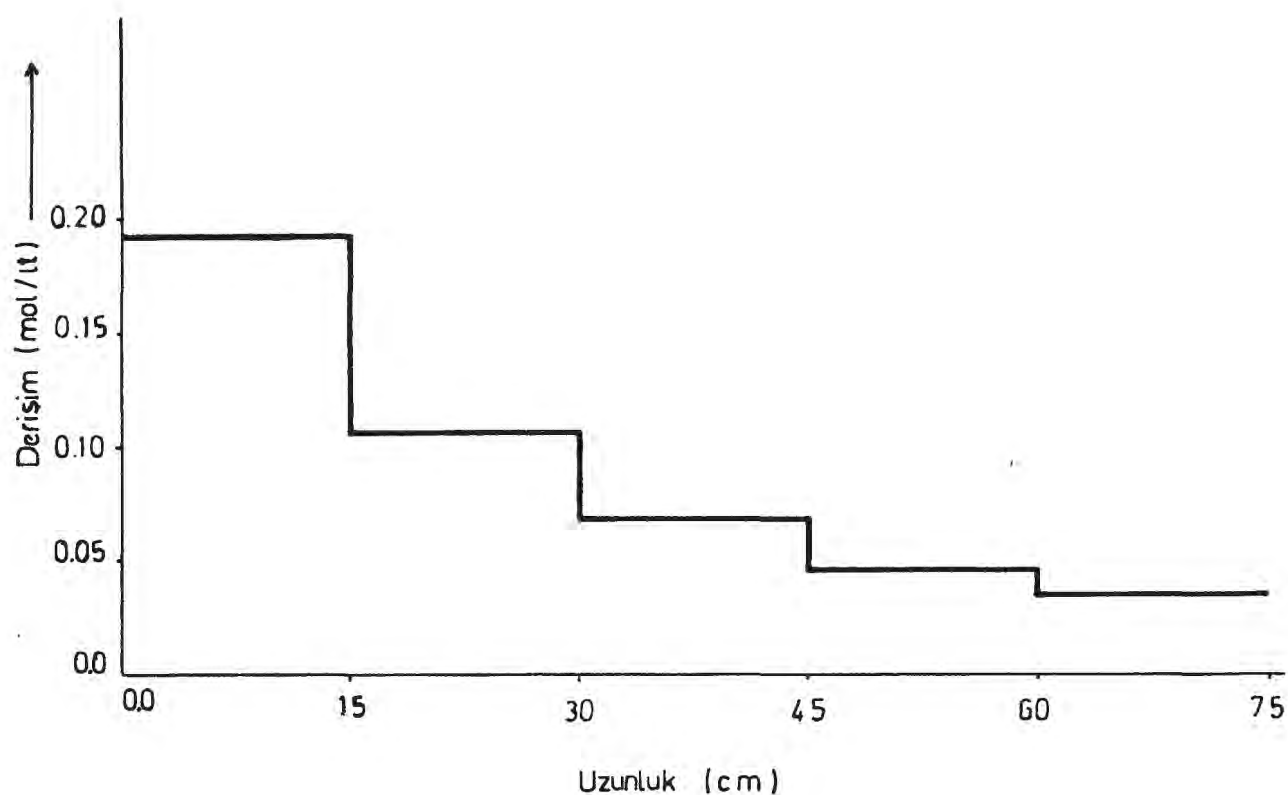
Çıkış değişkenleri için farklı kalma sürelerindeki pulse girişinin, zaman aralığı  $T_x$  ve adım aralığı  $DLT_3'$  ün hesaplanan Bode diyagramlarına etkisi Şekil 4.44 - 4.47. de gösterilmiştir. Görüleceği gibi Bode diyagramları birbirine yaklaşık olarak çıkmıştır.

Çalışma n <sub>C</sub>	V <sub>1</sub> lt/dak	V <sub>2</sub> lt/dak	C <sub>C</sub> mol/lt	θ <sub>C</sub> °C	T <sub>O</sub> °C
1	1.0	0.0	0.5	5.0	23.0
2	2.0	6.0	0.5	5.0	23.0

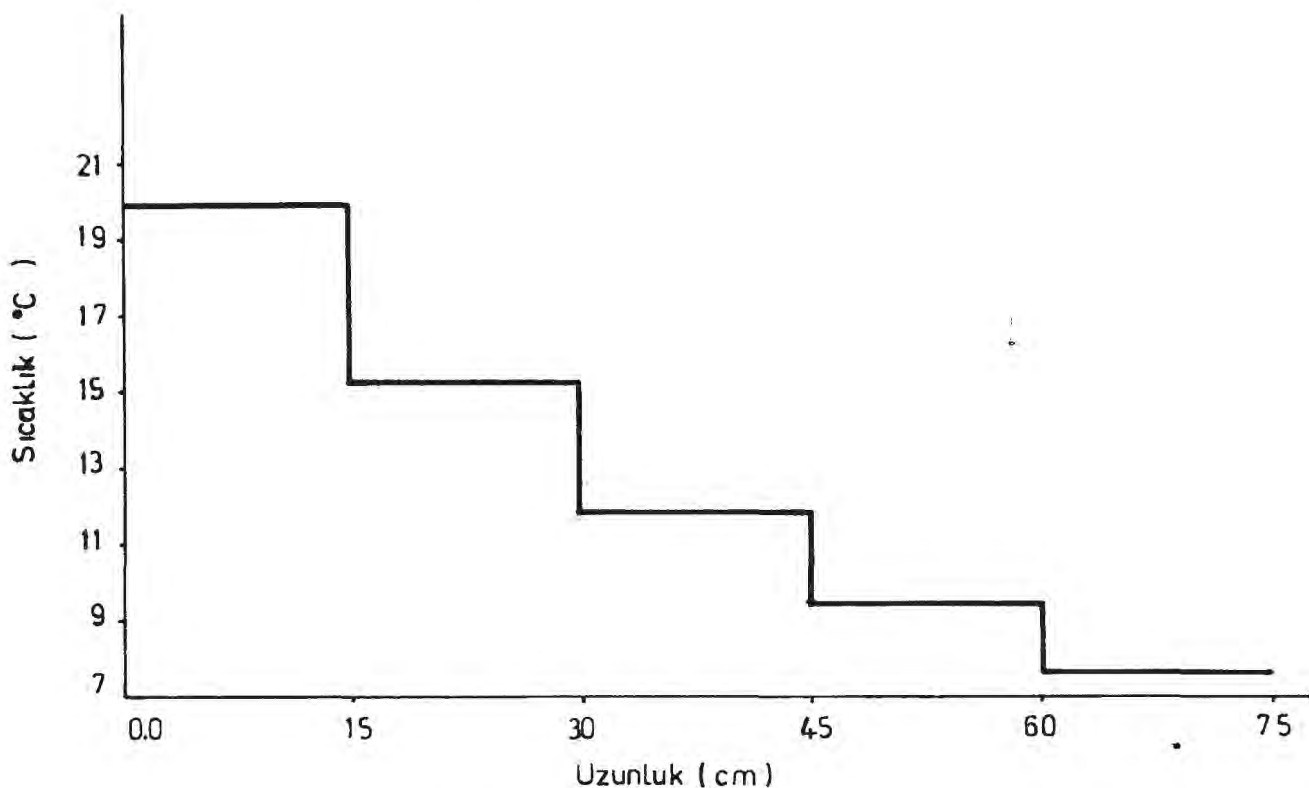
Tablo 4.1 : Yatışının-halde şeş tam karıştırılmış akım reaktörlerinin çalışma şartları.



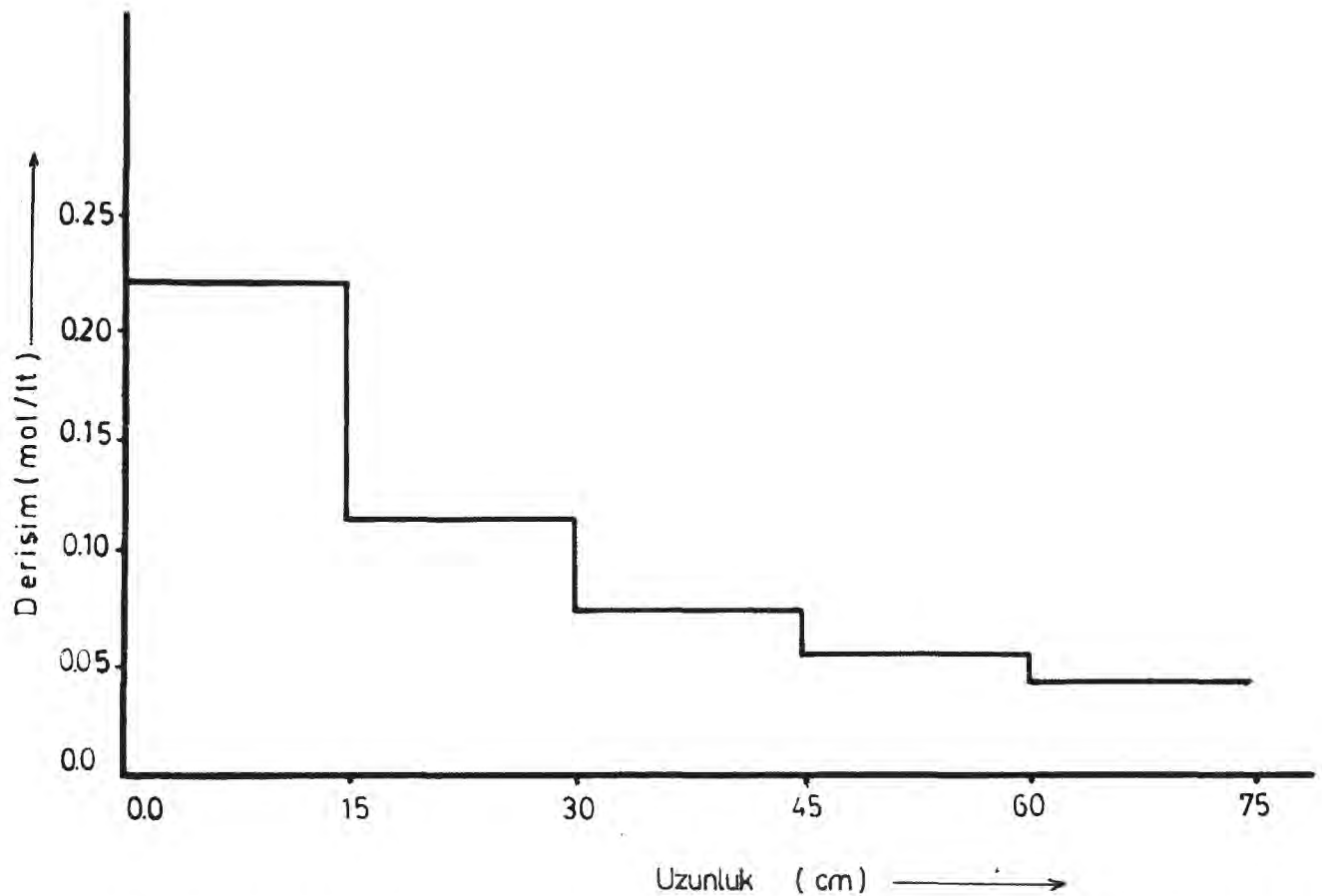
**Şekil 4.1. : İletim katsayısının soğutma suyu akış hızı ile değişimini.**



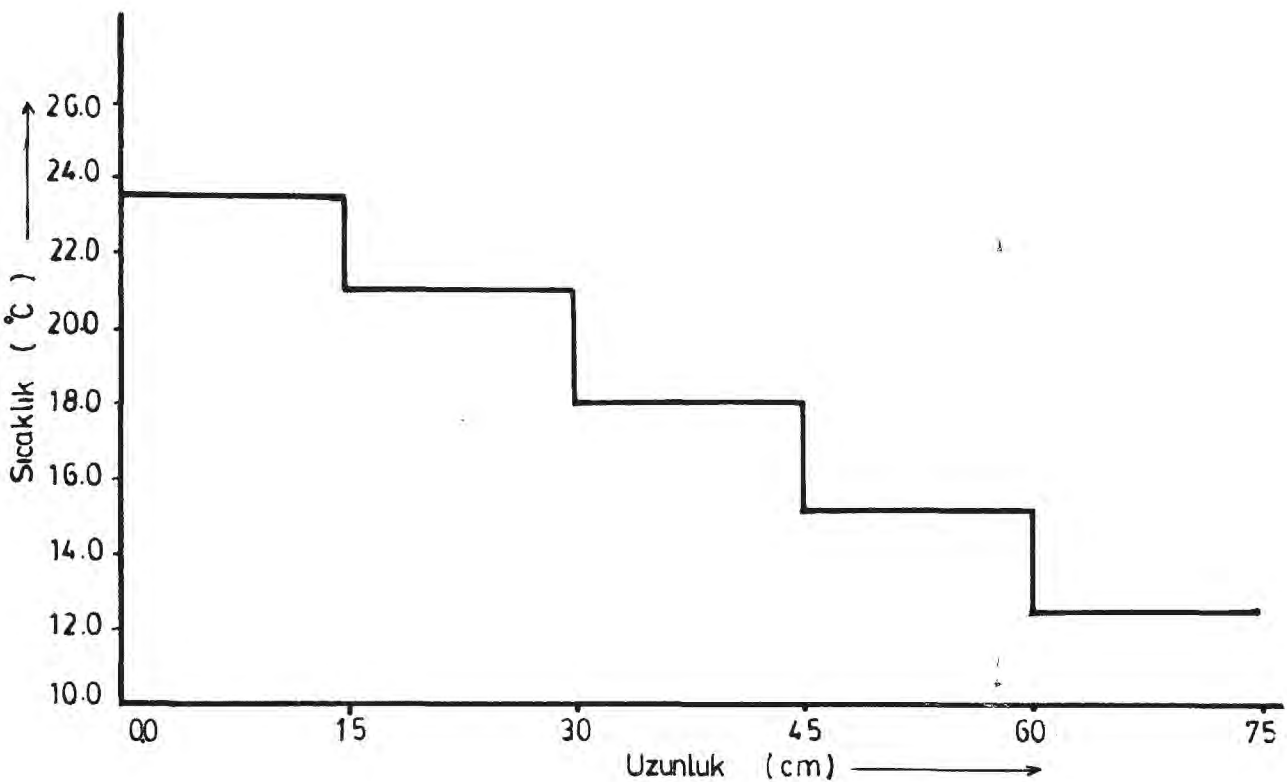
Şekil 4.2: Yatışkin-halde beş tam karıştırılmış akım reaktörünün dericim profili.



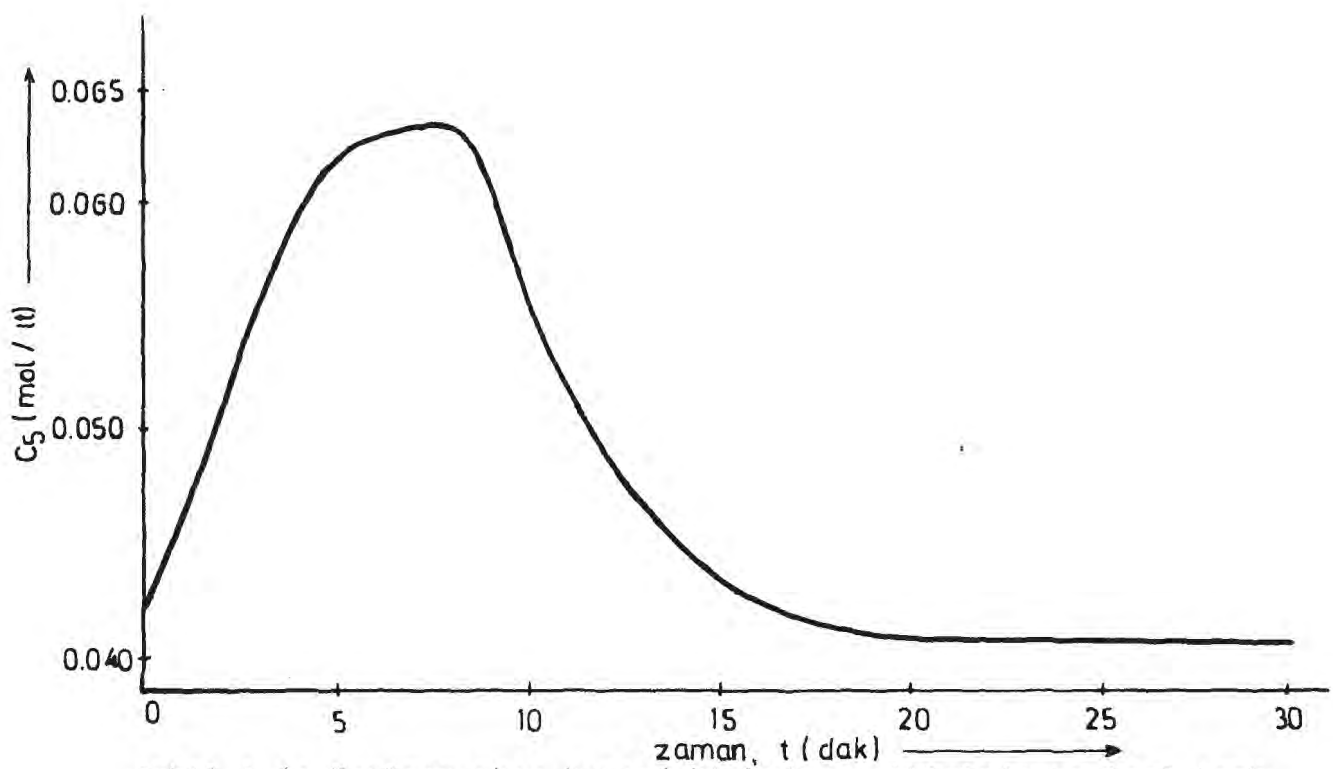
Şekil 4.3: Yatışkin-halde beş tam karıştırılmış akım reaktörünün sıcaklık profili.



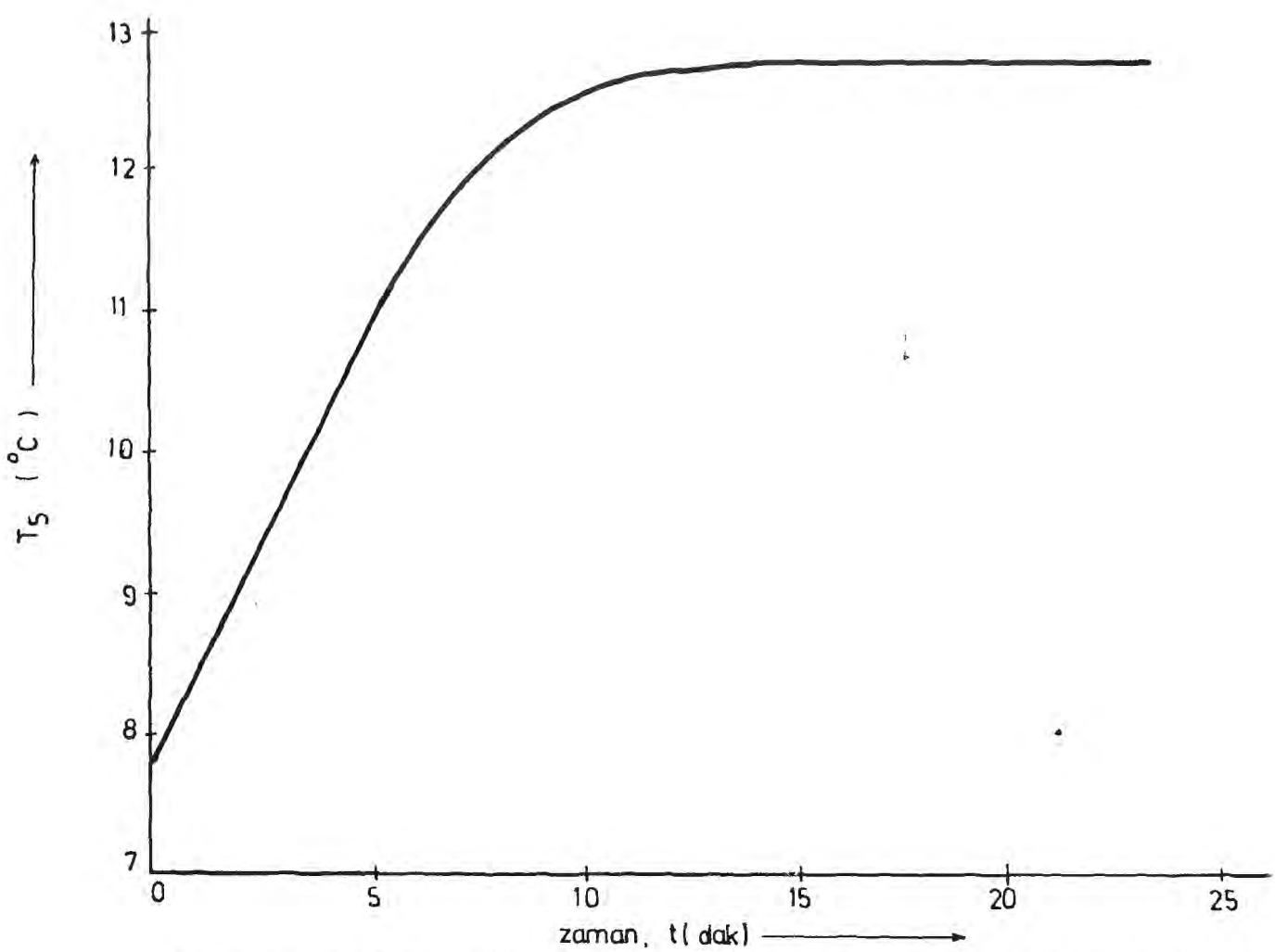
Şekil 4.4: İkinci yataşın-halde beş tam karıştırılmış akım reaktörünün derişim profili



Şekil 4.5: İkinci yataşın-halde beş tam karıştırılmış akım reaktörünün sıcaklık profili.



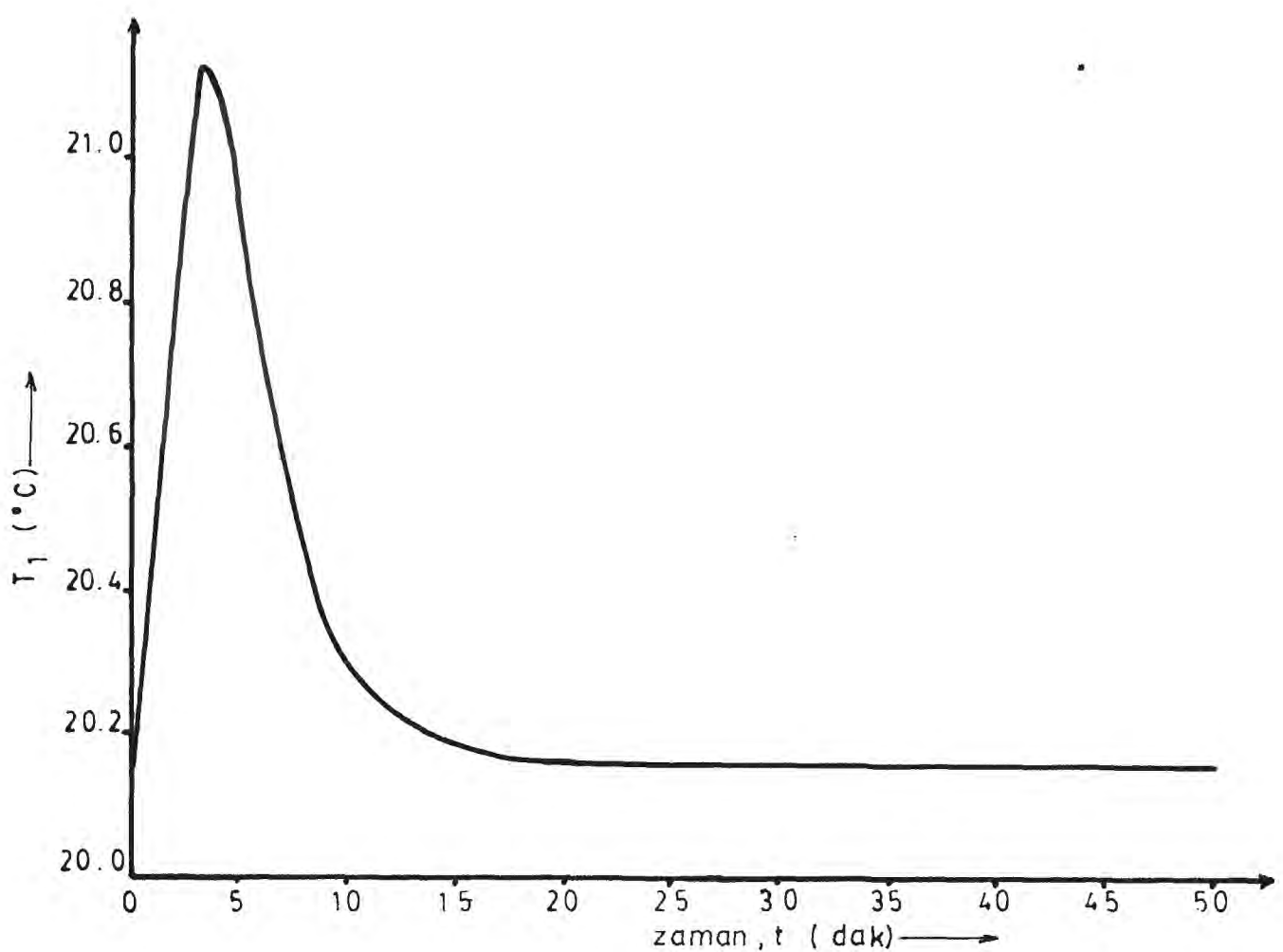
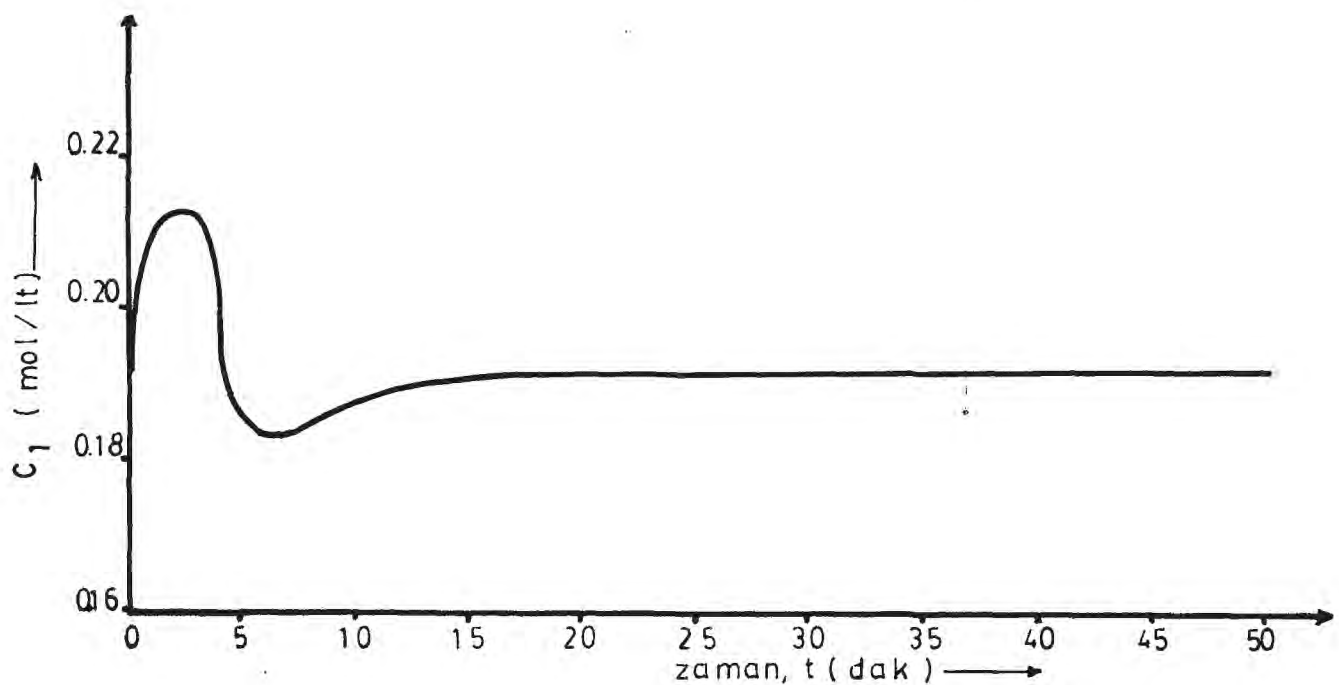
Şekil 4.6: Besleme akış hızındaki kademe etkisinde, beşinci tank çıkış derişiminin zamana göre değişimi.



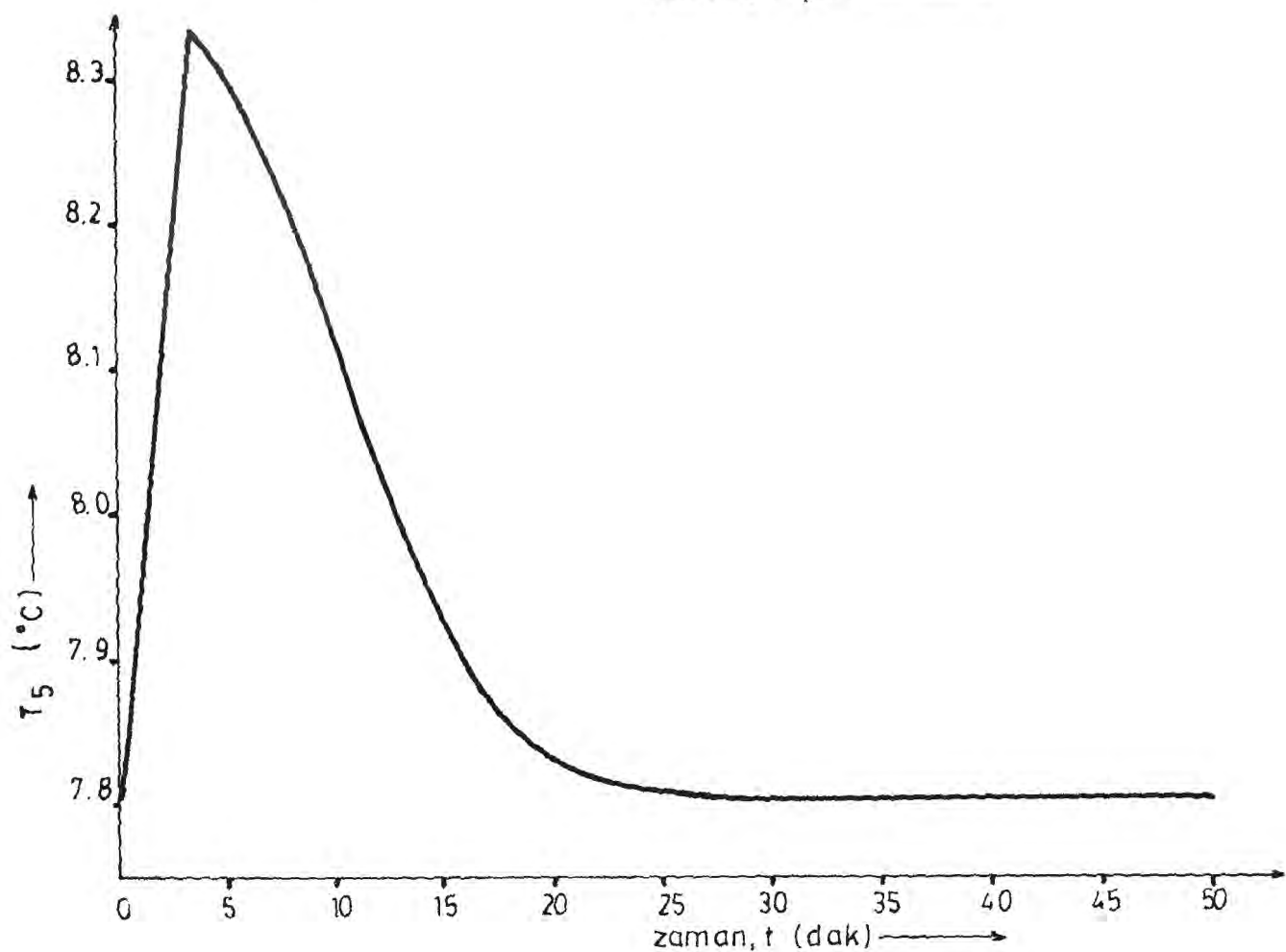
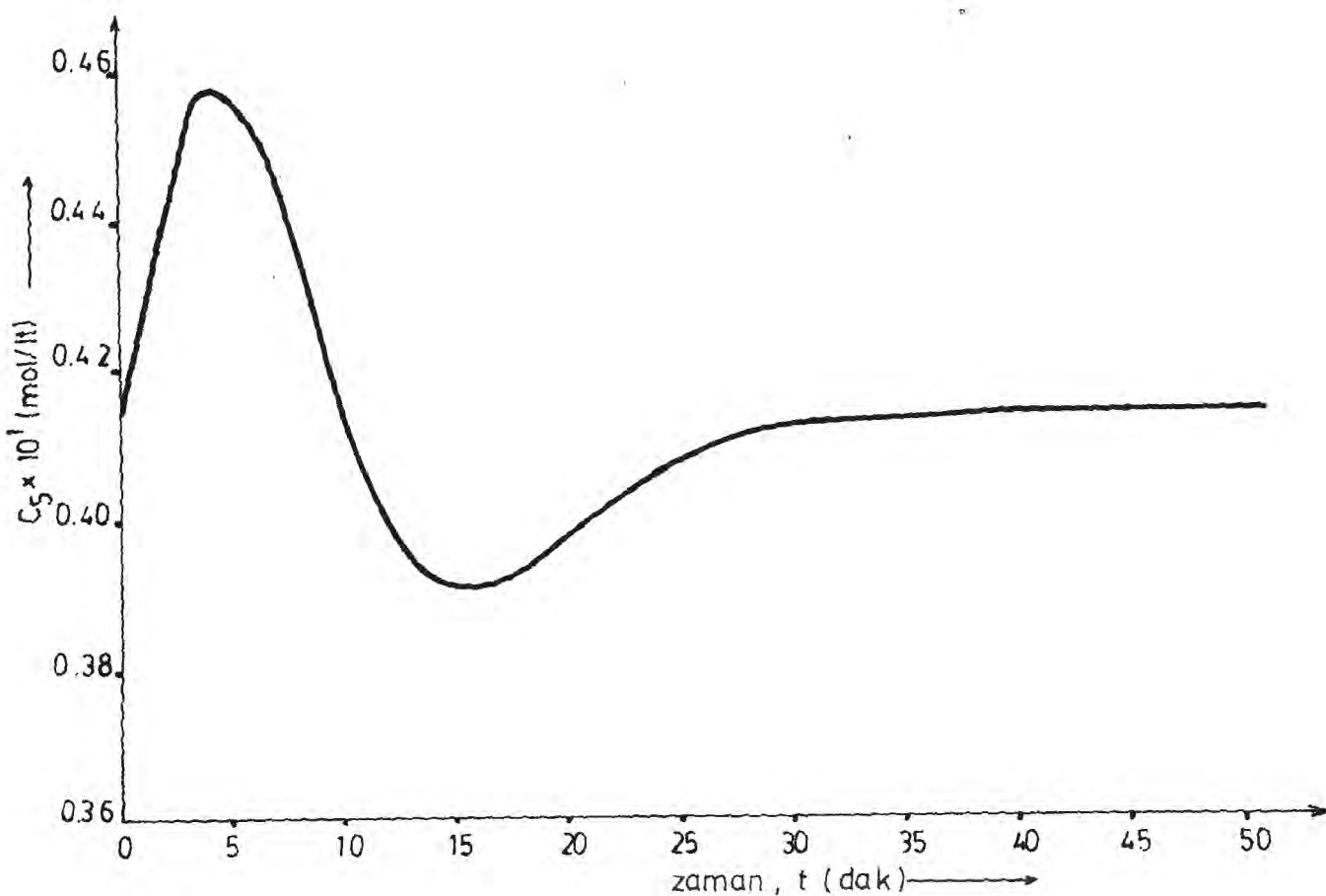
Şekil 4.7: Besleme akış hızındaki kademe etkisinde, beşinci tank çıkış sıcaklığının zamana göre değişimi.

$V_i$ (1t/đak)	1.0	1.0	1.0	1.0	1.0	1.0
$h$ (1t/đak)	0.3	0.5	4.0	4.0	1.0	1.0
$D$ (đak)	4.1666	1.666	1.666	4.1666	0.5	1.666
Sekil	4.8 4.9	4.10 4.11	4.12 4.13	4.14 4.15	4.16 4.17	4.18 4.19 4.20 4.21

Tablo 4.2 : Beş tam karıştırılmış akım reaktörler dizisinin  
besleme akış hızına verilen çeşitli pulse değişimleri.

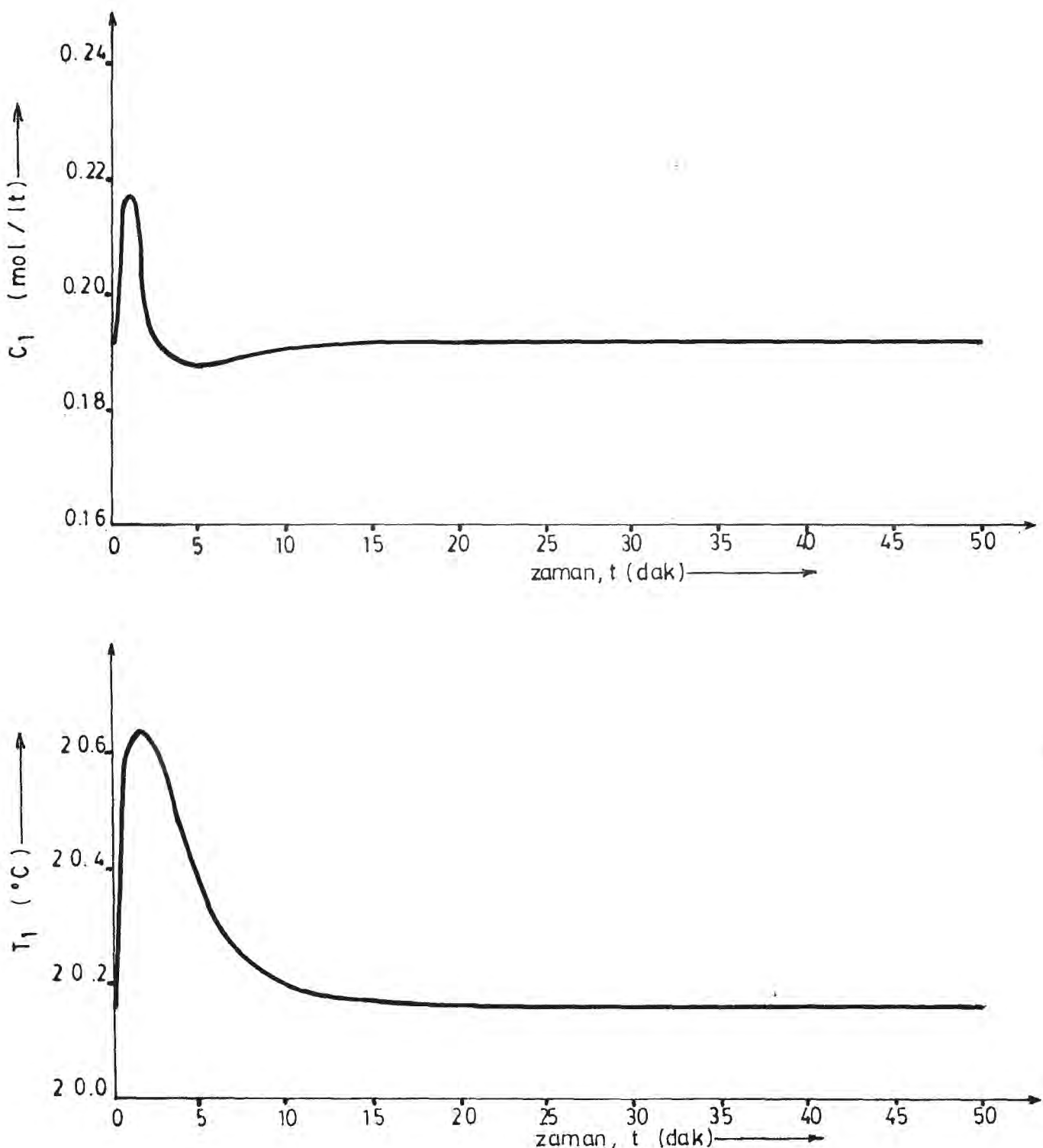


**Şekil 4.8:** Beslenme altı sıradağı pulse etkisinde, birinci tank çıkış derisi ve sıcaklığın zamanla göre değişimi.  
 $(v_F=1.0 \text{ lit/dak}, h=0.3 \text{ lit/dak}, D=4.1666 \text{ dak})$



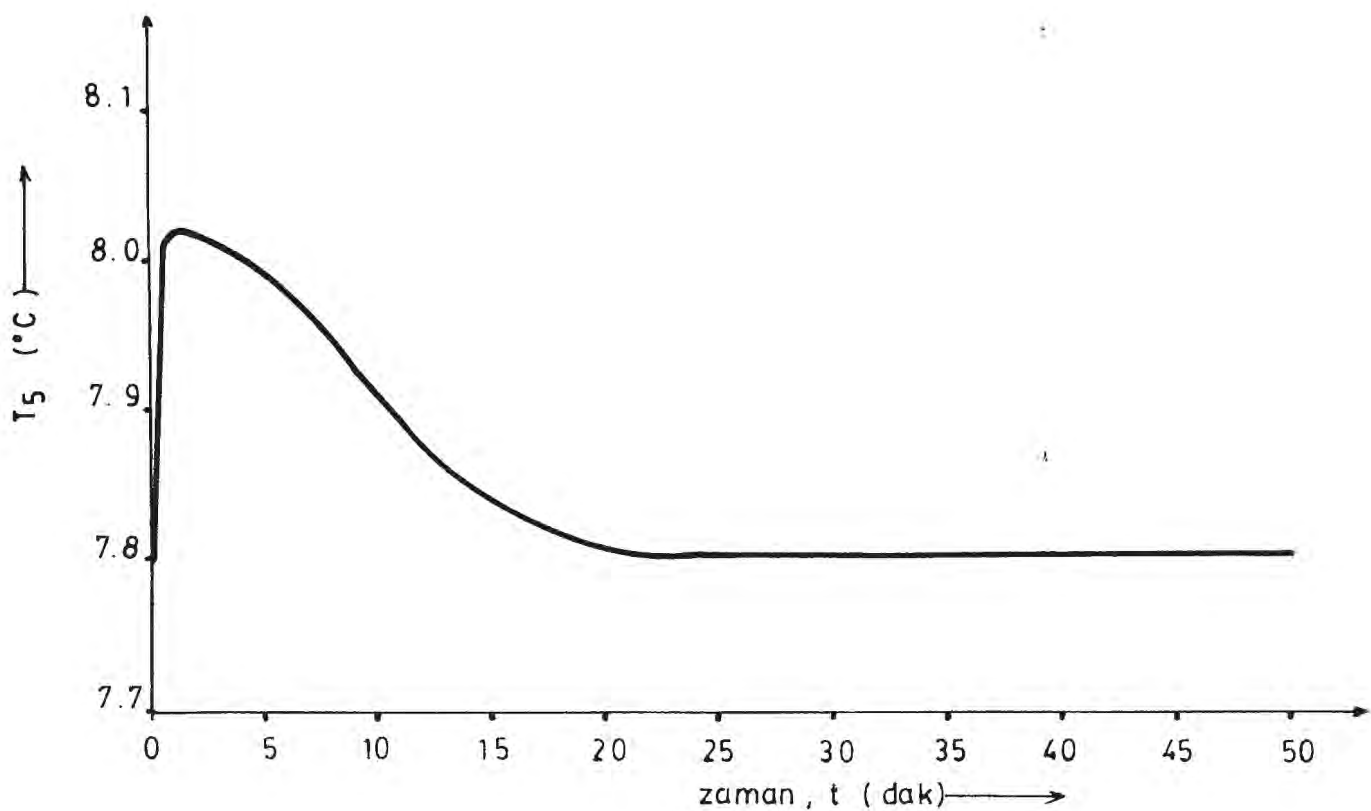
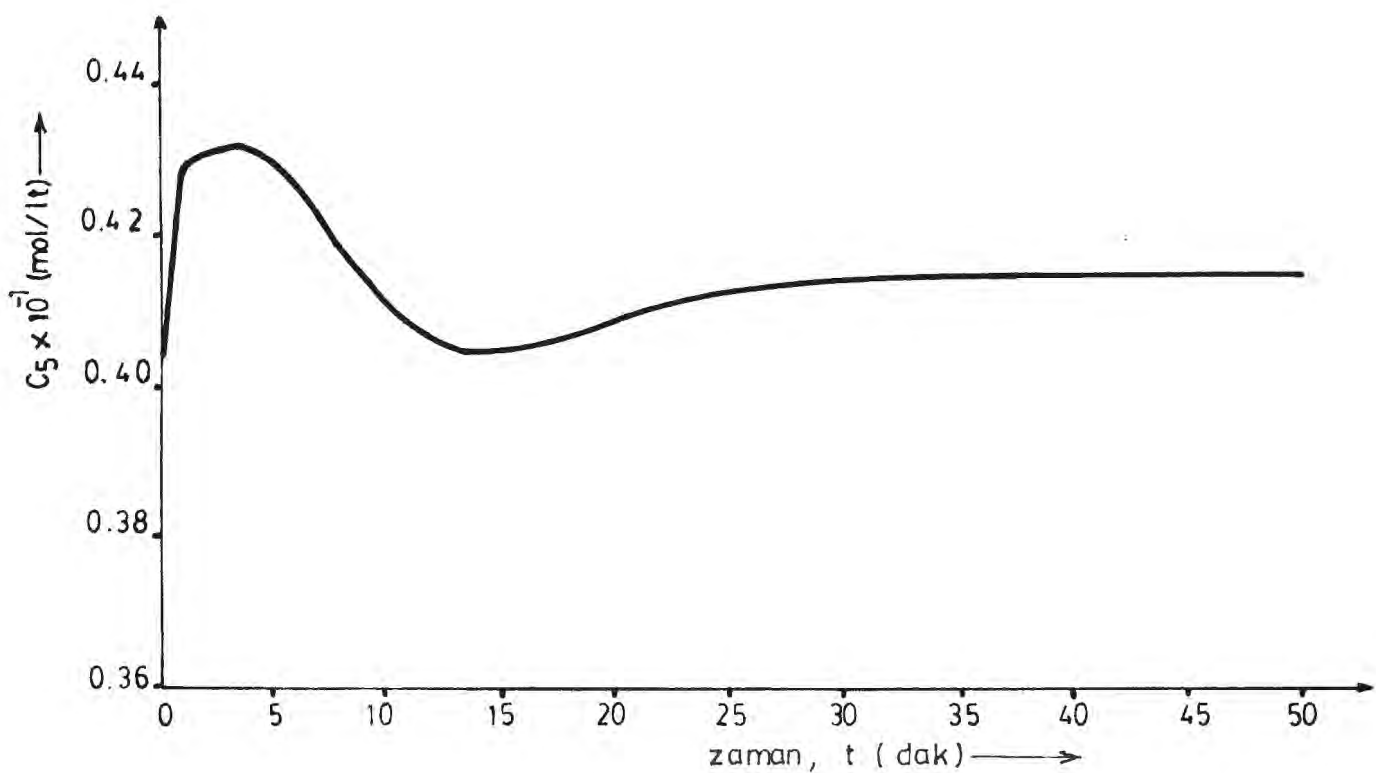
Şekil 4.2: Besinci akılı rezindaki pulse etkisinde, beşinci tank çıkış derişimi ve sıcaklığın zamanla göre değişimi.

(  $v_p = 1.0 \text{ lt/dak}$  ,  $n = 0.3 \text{ lt/dak}$  ,  $t = 4.1666 \text{ dak}$  )

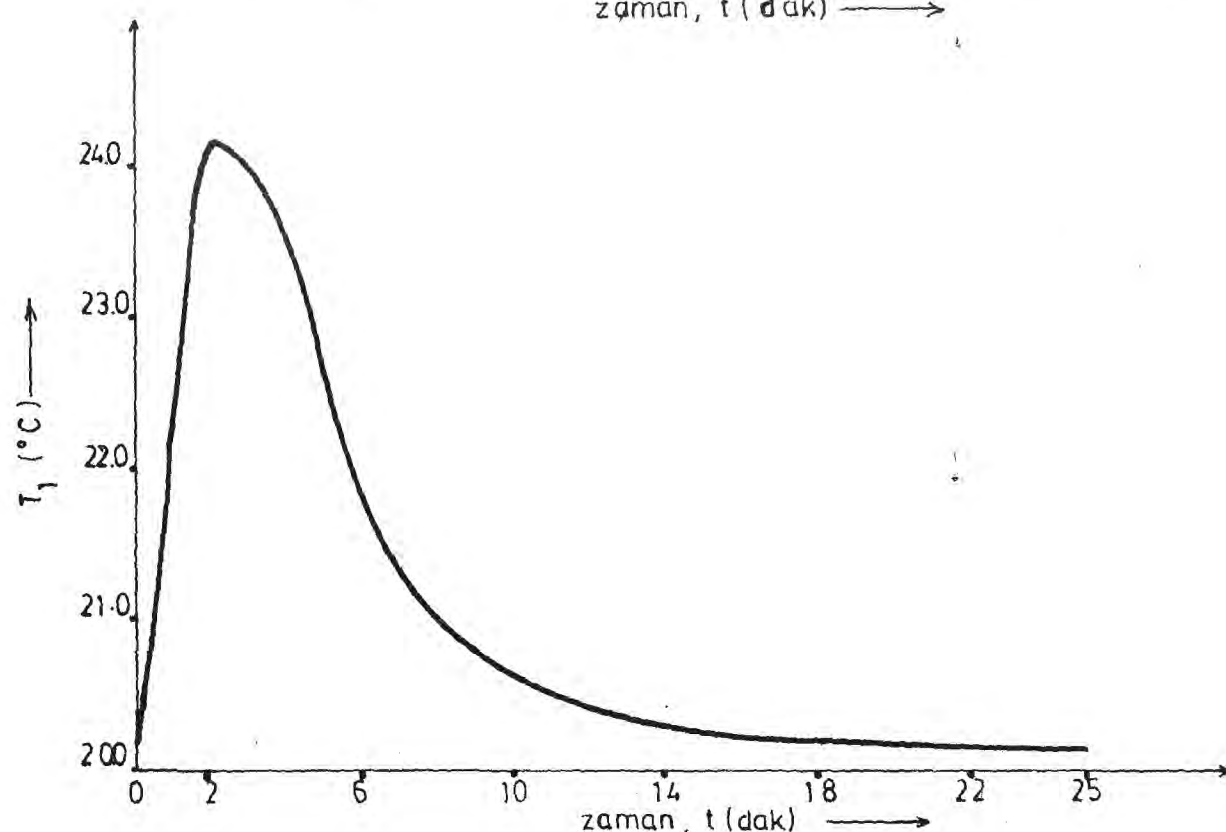
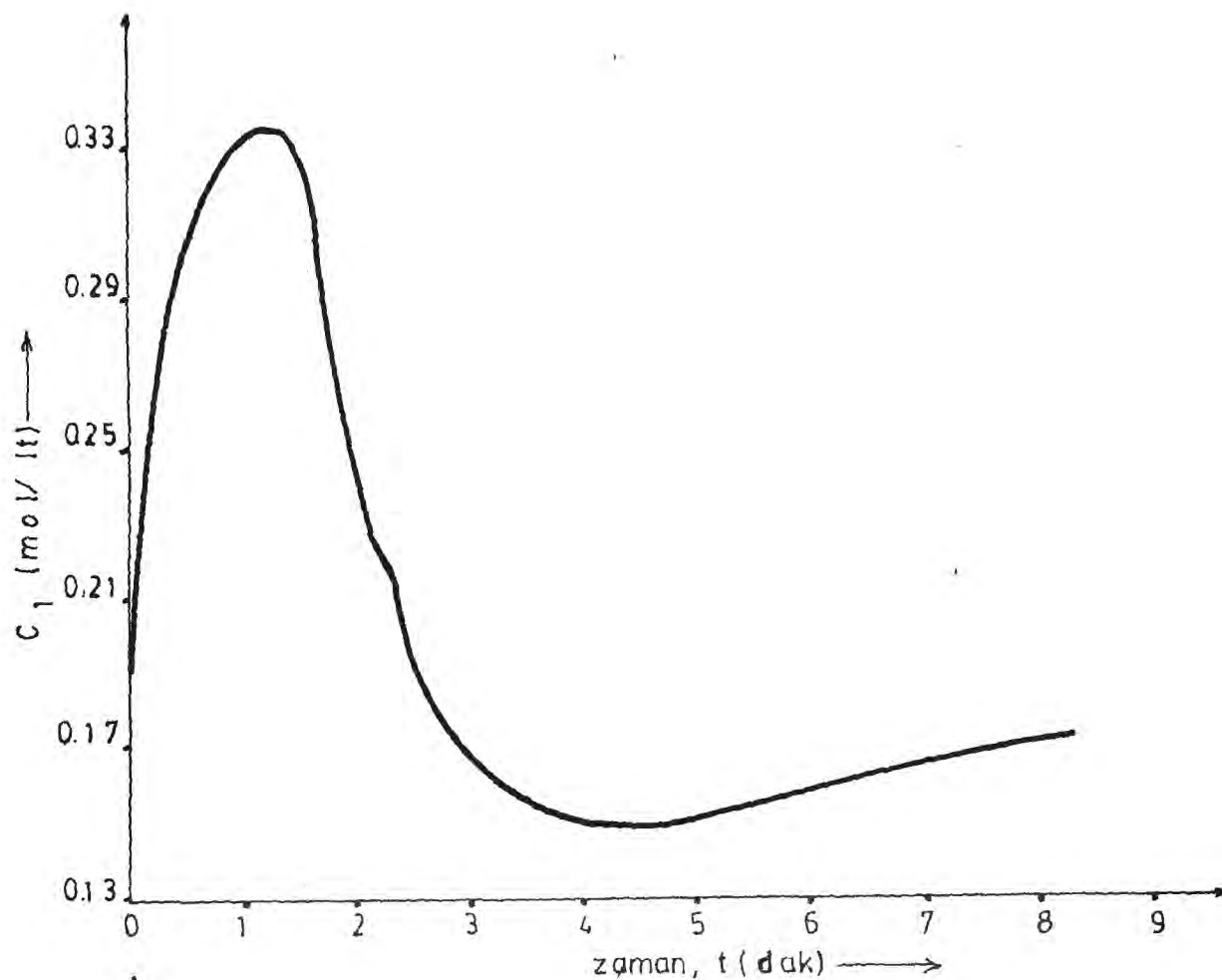


Sekil 4.10: Besleme akis hızındaki pulse etkisinde, birinci tank çıkış dorisim ve sıcaklığının zamanla före deorisimi.

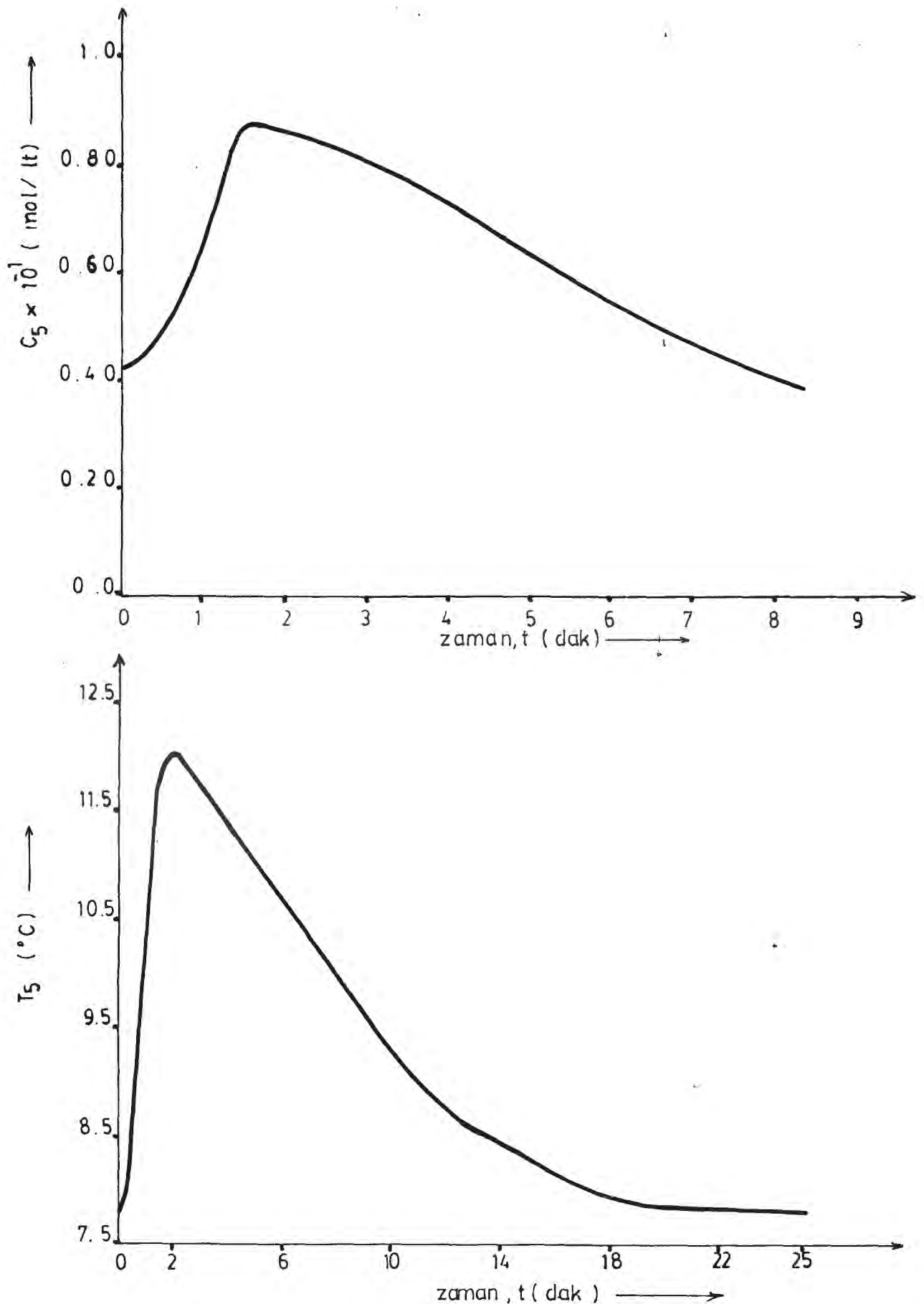
(  $v_1 = 1.0 \text{ lt/dak}$  ,  $h = 0.5 \text{ lt/dak}$  ,  $D = 1.666 \text{ dak}$  )



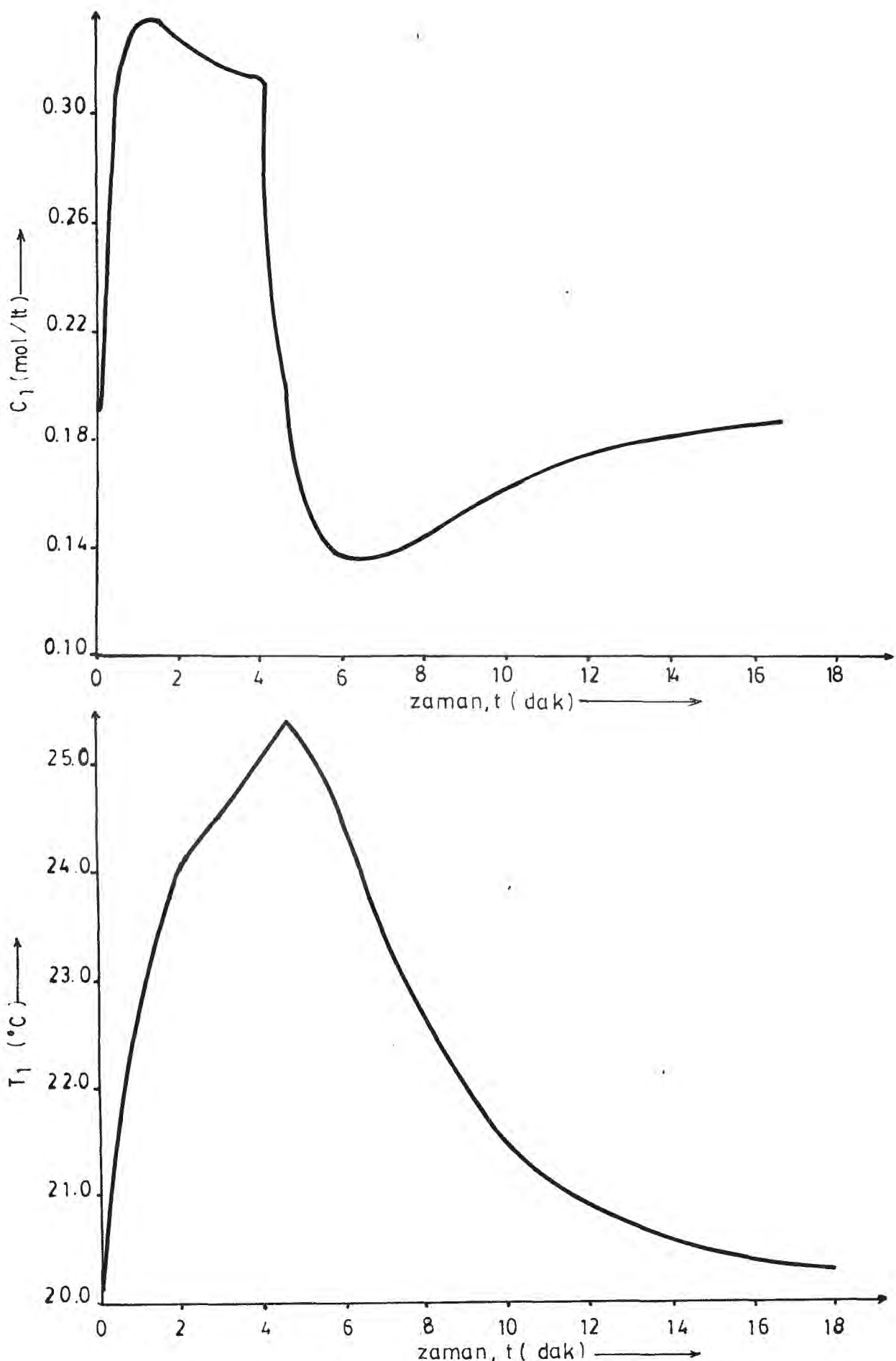
Sekil 4.11: Besleme akış hızındaki pulse etkisinde, beşinci tank çıkış derişim ve sıcaklığının zamanına göre değişimi.  
 $(v_1 = 1.0 \text{ lt/dak}, h = 0.5 \text{ lt/dak}, D = 1.666 \text{ dak})$



Şekil 4.12: Besleme akış hızındaki pulse etkisinde, birinci tank çıkış derisim ve sıcaklığının zamana göre değişimi.  
 $(v_p = 1.0 \text{ lt/dak} , n = 4.0 \text{ lt/dak} , D = 1.666 \text{ dak})$

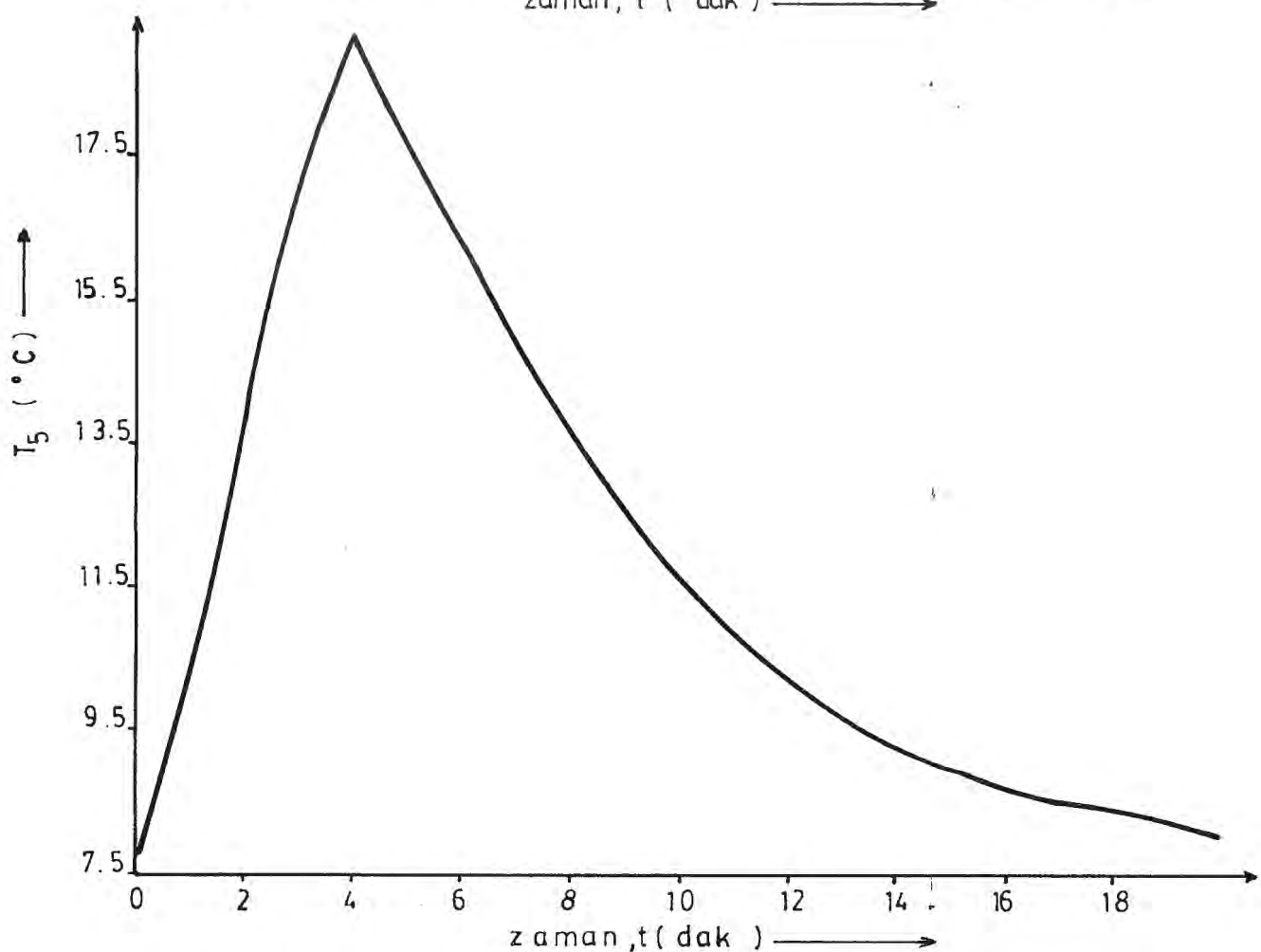
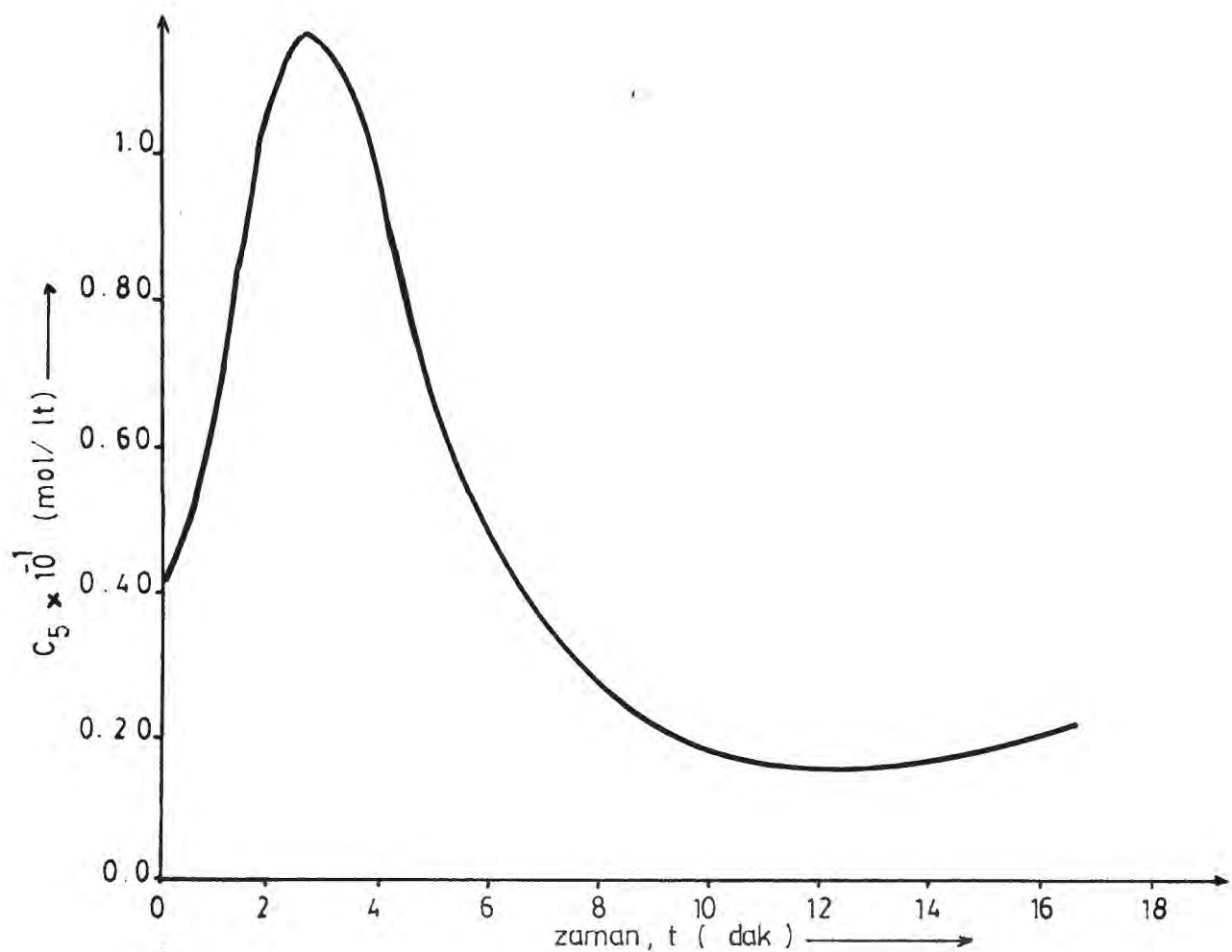


Şekil 4.13: Besteme akış hızındaki pulse etkisinde, beşinci tank çıkış derinim ve sıcaklığının zamana göre değişimi.  
 $(v_L = 1.0 \text{ lt/dak}, h = 1.0 \text{ lt/dak}, D = 1.600 \text{ dak})$

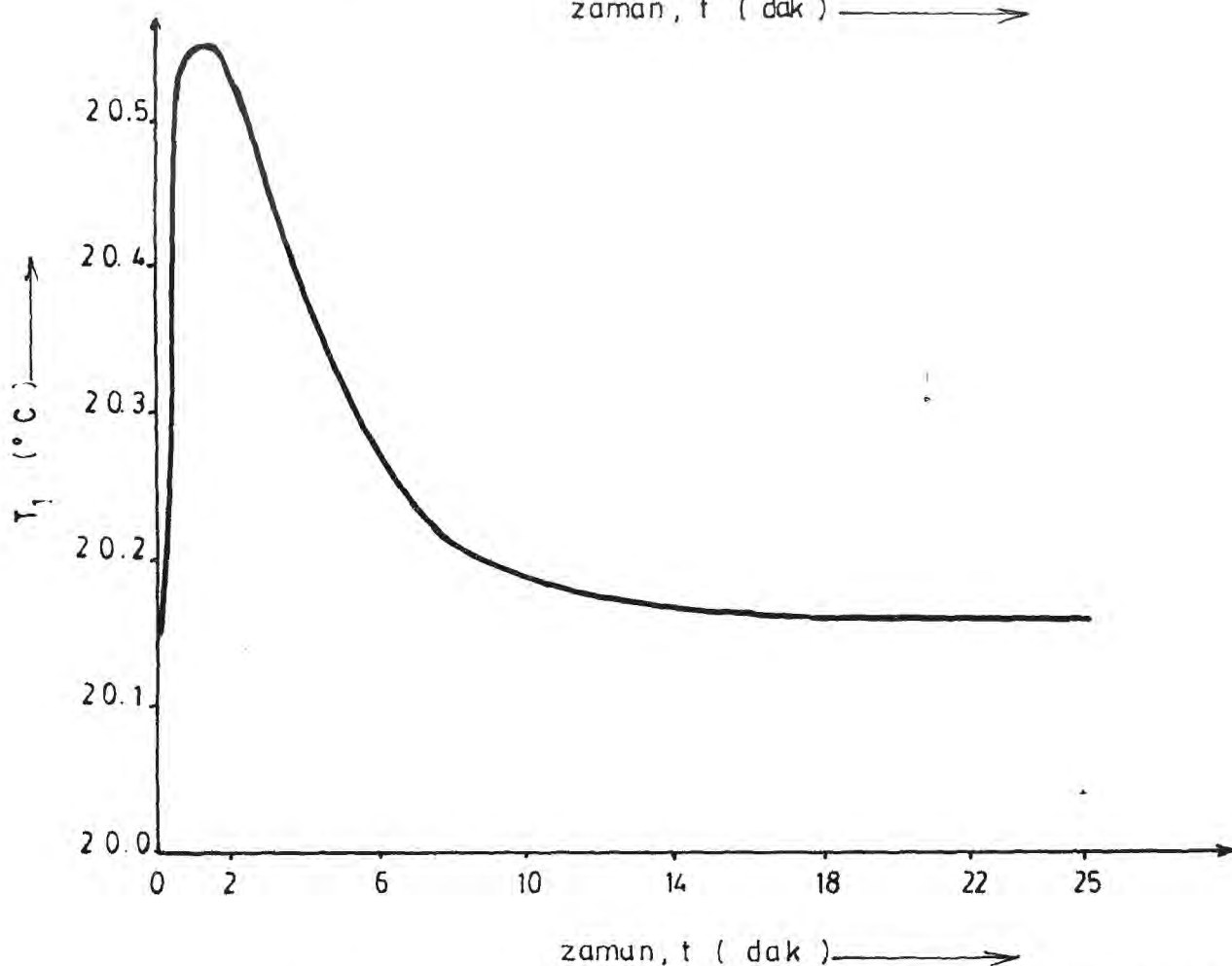
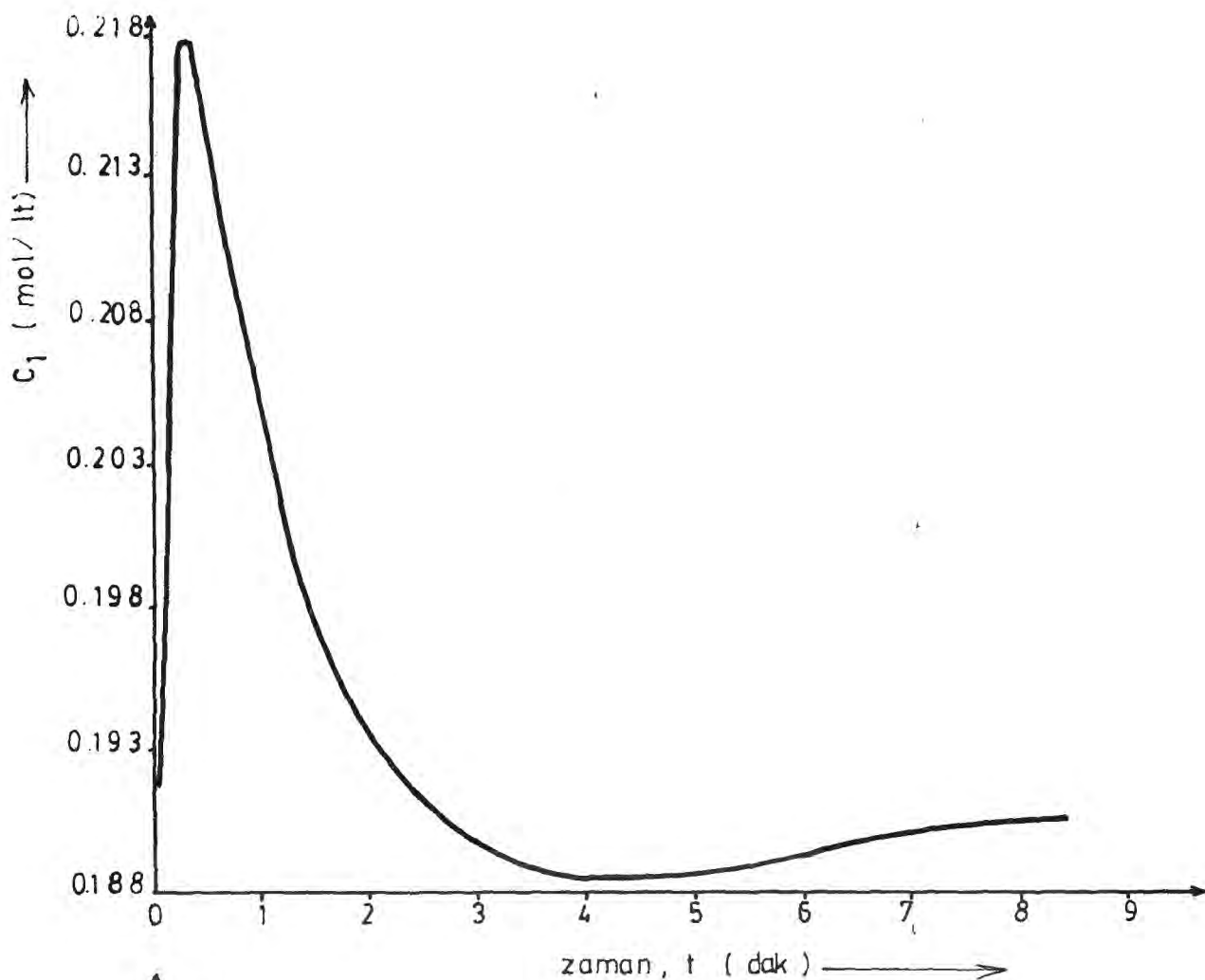


Şekil 4.14: Besleme akış hızındaki pulse etkisinde, birinci tank çıkış derişim ve sıcaklığının zamana göre değişimi.

(  $v_L = 1.0$  lt/dak ,  $h = 4.0$  lt/dak ,  $D = 4.1666$  dak )

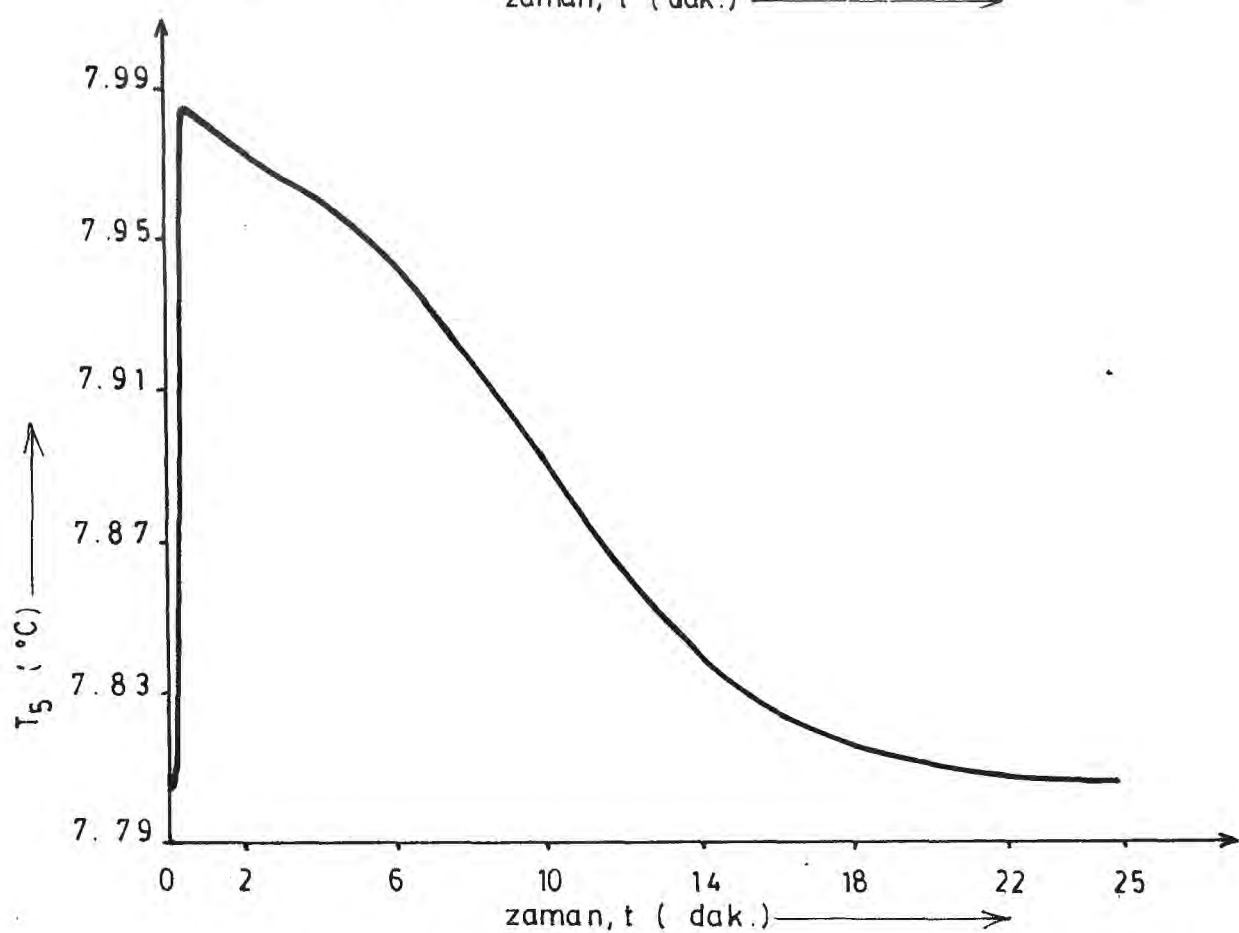
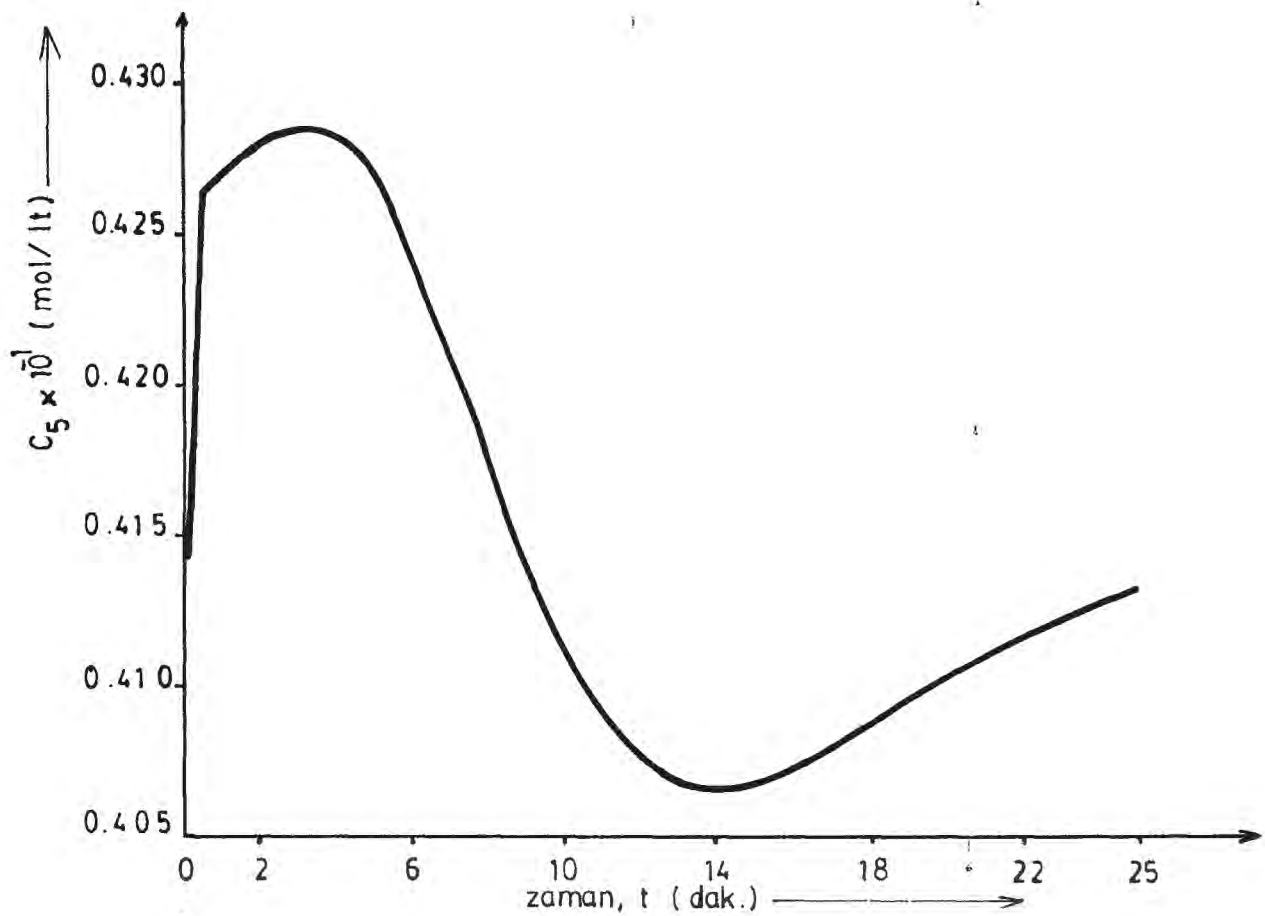


Sekil 4.15: Besleme akış hızındaki pulse etkisinde, beşinci tank çıkış ve derişim sıcaklığının zamana göre değişimi.  
 $( v_1 = 1.0 \text{ lt/dak} , h = 4.0 \text{ lt/dak} , D = 4.16666 \text{ dak} )$

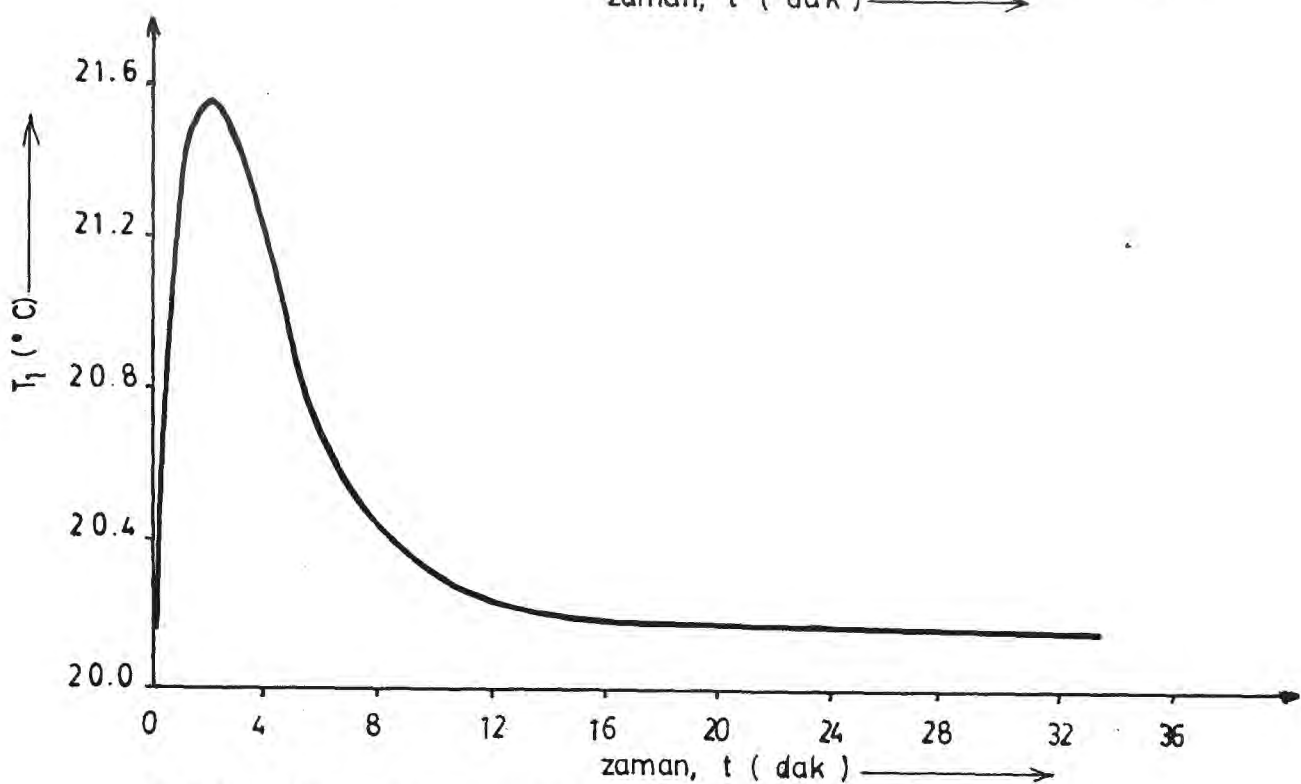
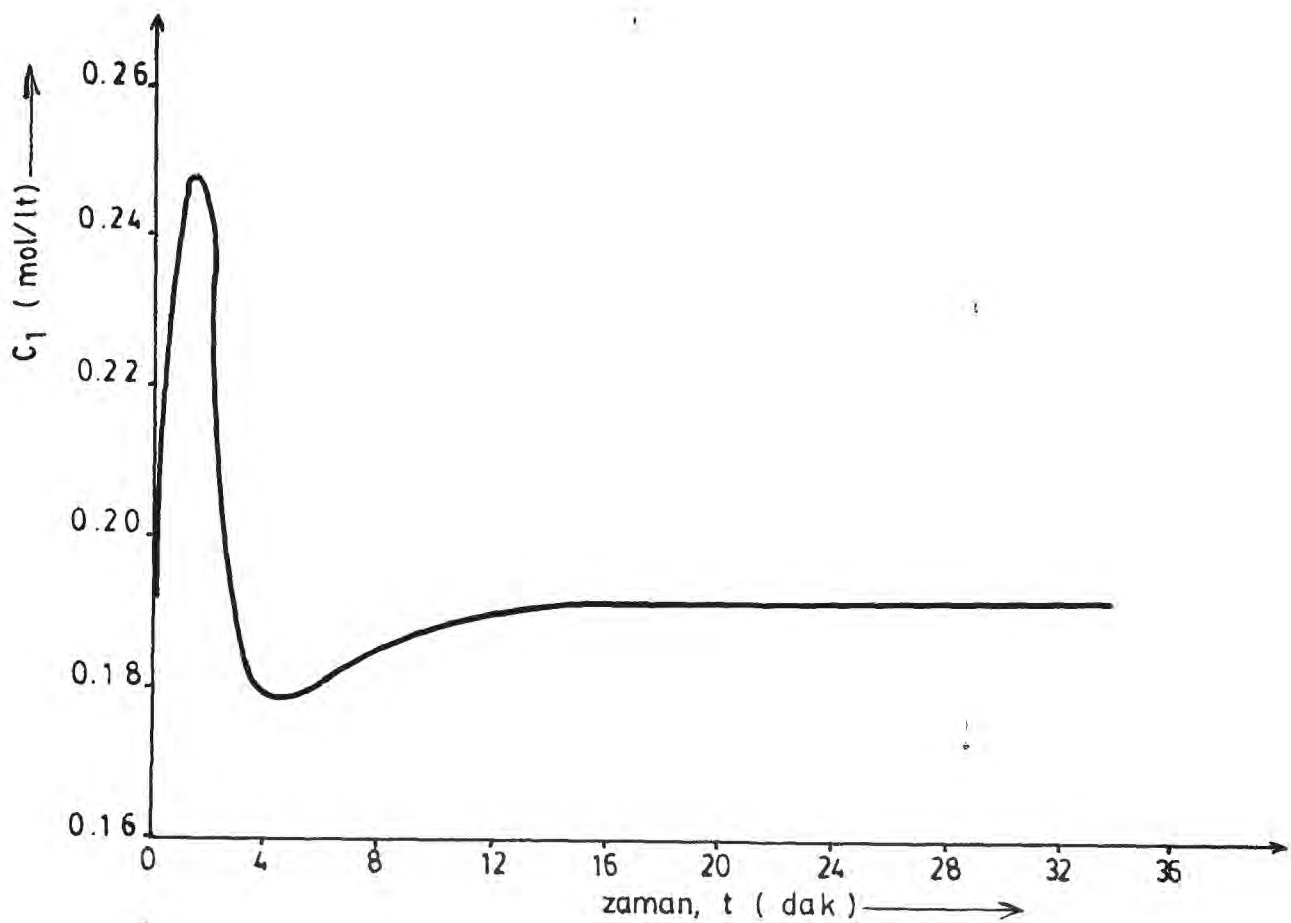


Şekil 4.16: Besleme akış hızındaki pulse etkisinde, birinci tank çıkış derisim ve sıcaklığının zamana göre değişimi.

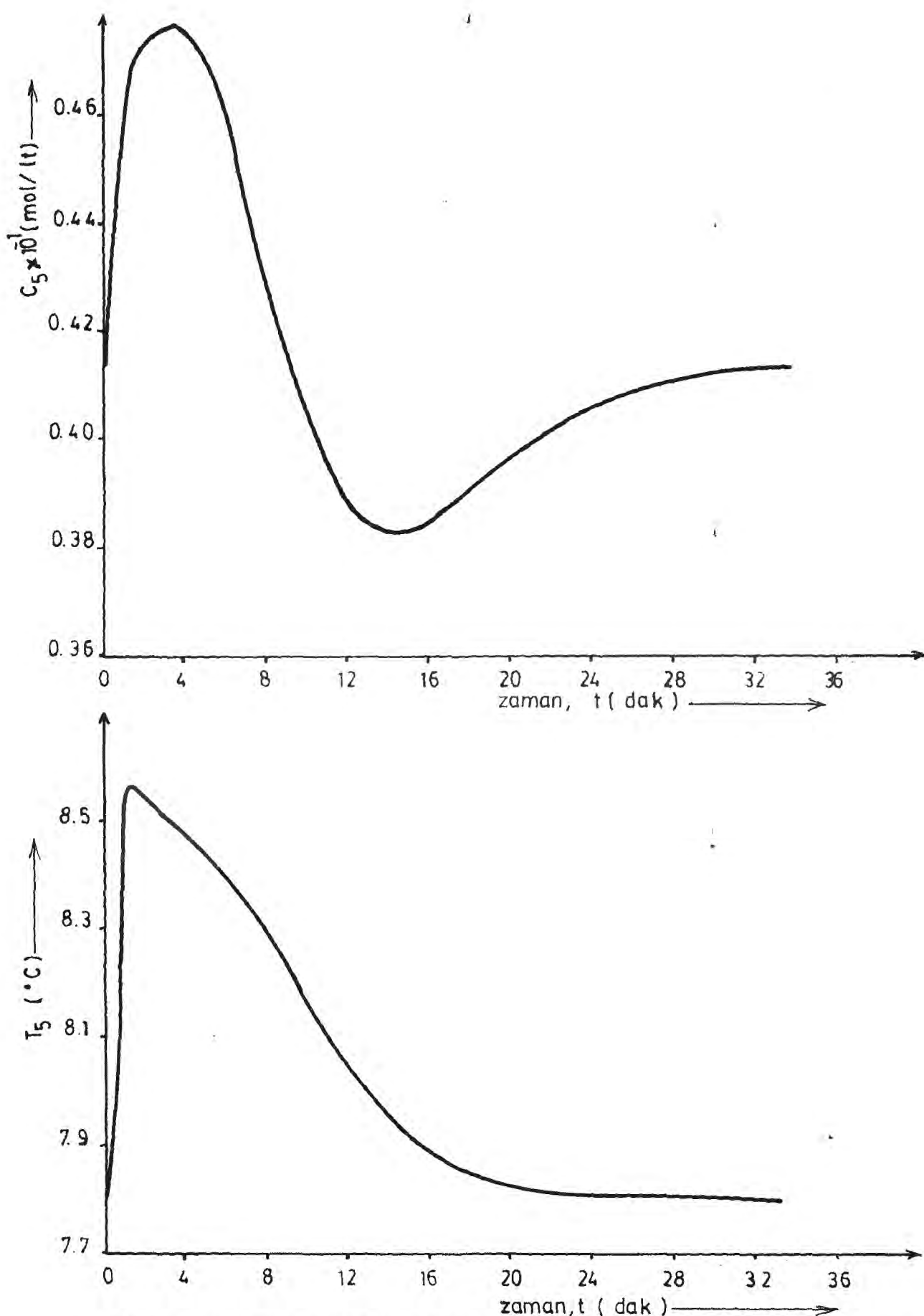
(  $v_1 = 1.0 \text{ lt/dak}$  ,  $h = 1.0 \text{ lt/dak}$  ,  $D = 0.5 \text{ dak}$  )



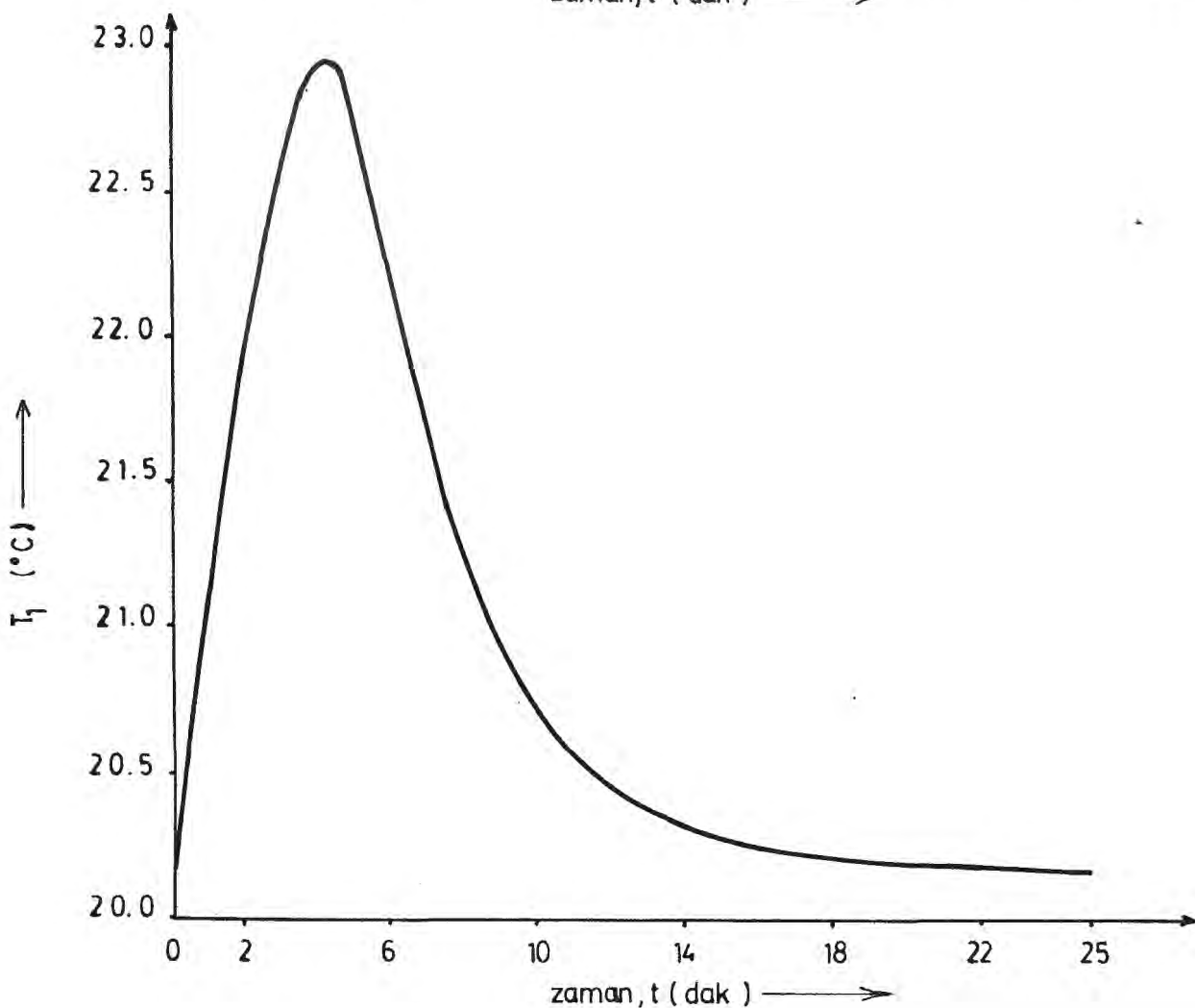
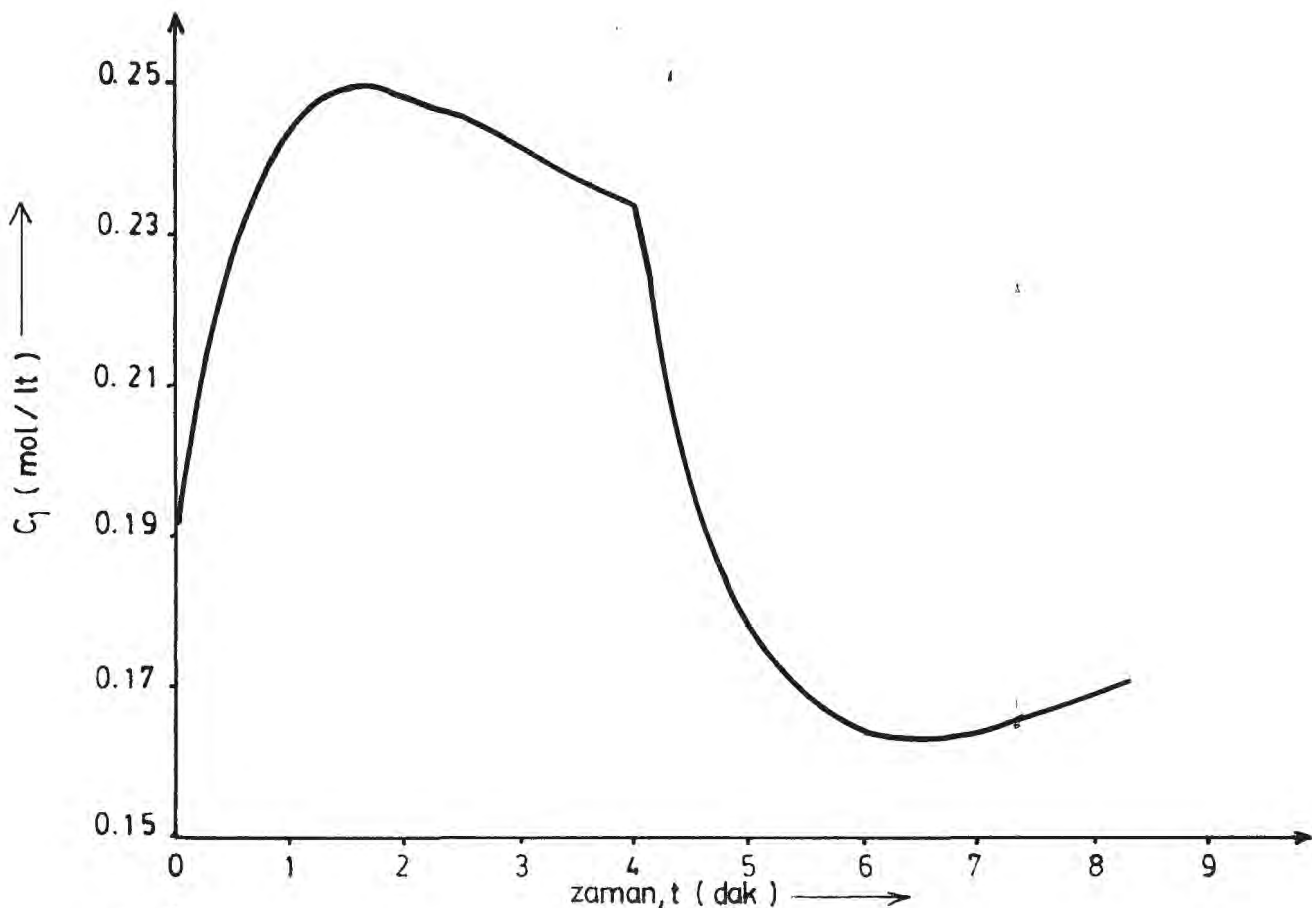
Sekil 4.17: Besleme akis hızındaki pulse etkisinde, besinci tank çıkış derişimi ve sıcaklığının zamana göre değişimi.  
 $(v_1 = 1.0 \text{ lt/dak} , h = 1.0 \text{ lt/dak} , D = 0.5 \text{ dak})$



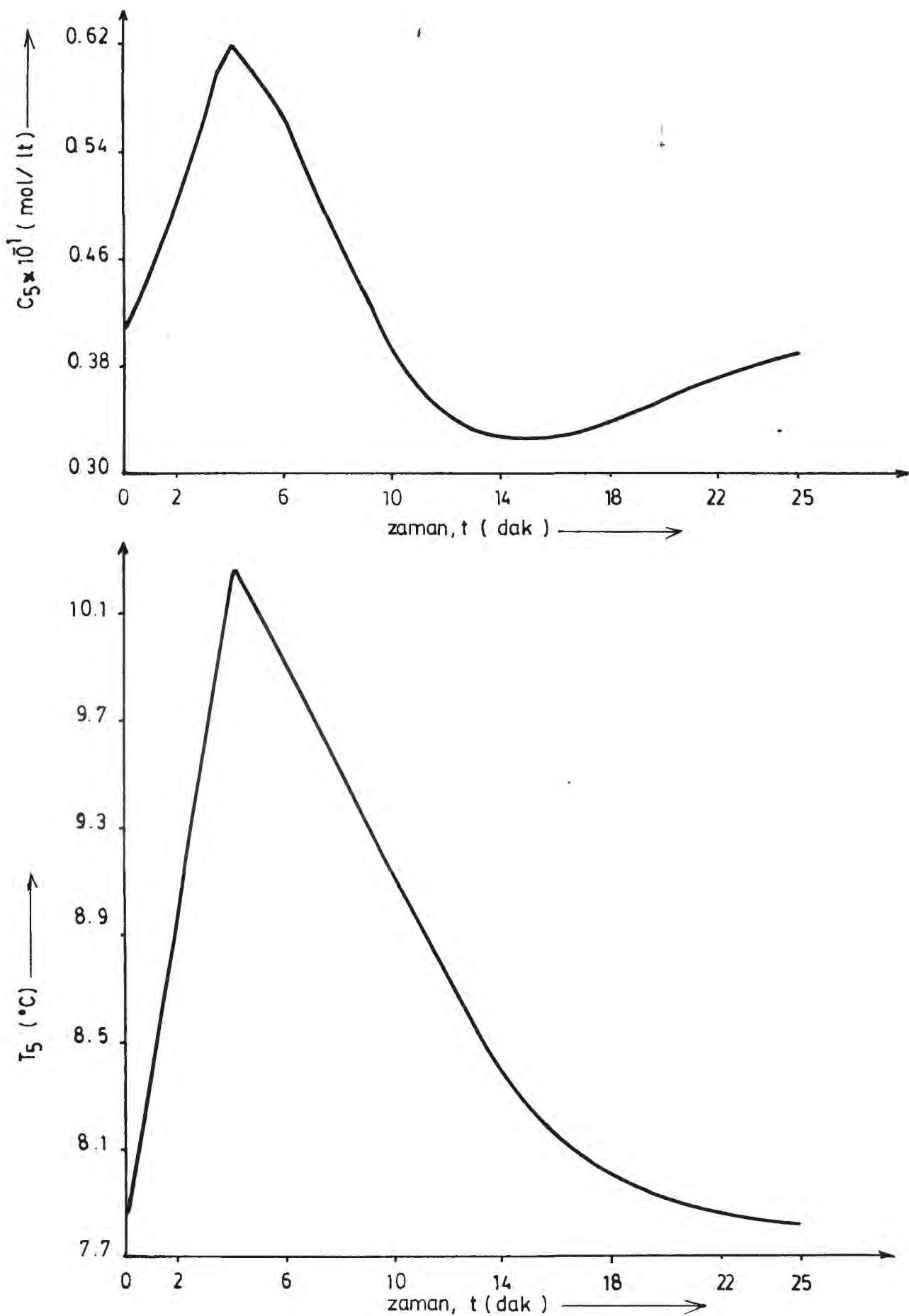
**Şekil 4.18:** Besleme akış hızındaki pulse etkisinde, birinci tank çıkış derişim ve sıcaklığının zamana göre değişimi.  
 $(v_1=1.0 \text{ lit/dak}, h=1.0 \text{ lit/dak}, D=1.666 \text{ dak})$



Şekil 4.19: Besleme akış hızındaki pulse etkisinde, beşinci tank çıkış derişim ve sıcaklığının zamana göre değişimi.  
 $(v_1=1.0 \text{ lt/dak}, h=1.0 \text{ lt/dak}, D=1.666 \text{ dak})$

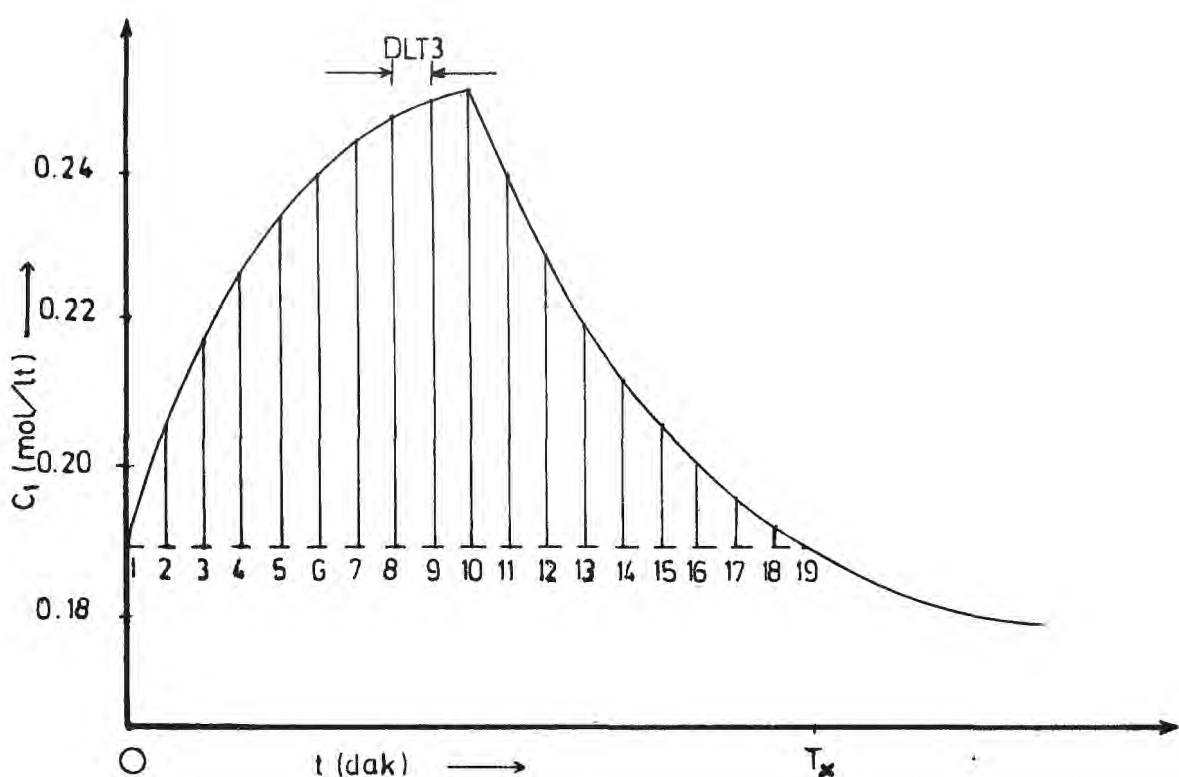
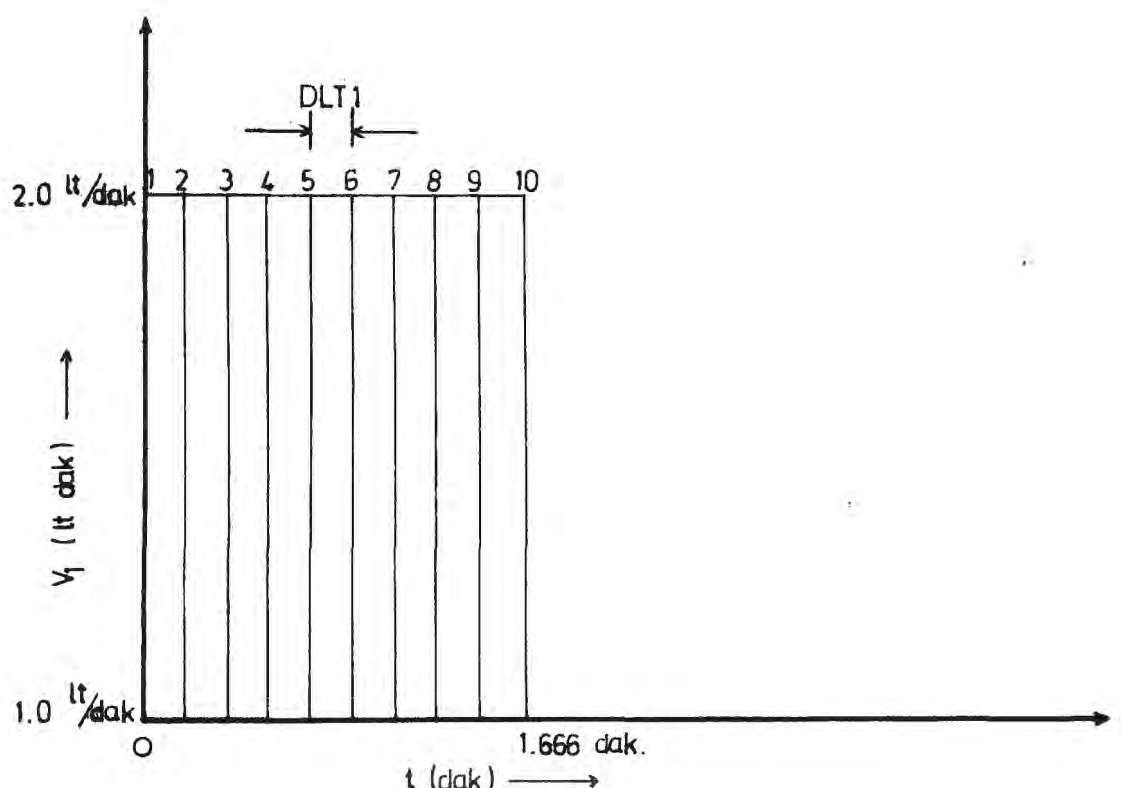


Sekil 4.20: Besleme akış hızındaki pulse etkisinde, birinci tank çıkış derişim ve sıcaklığın zamana göre değişimi.  
 $(v_1=1.0 \text{ lt/dak}, h=1.0 \text{ lt/dak}, D=4.1666 \text{ dak})$



Şekil 4.21: Besleme akış hızındaki pulse etkisinde, beşinci tank çıkış derişim ve sıcaklığının zamana göre değişimi.

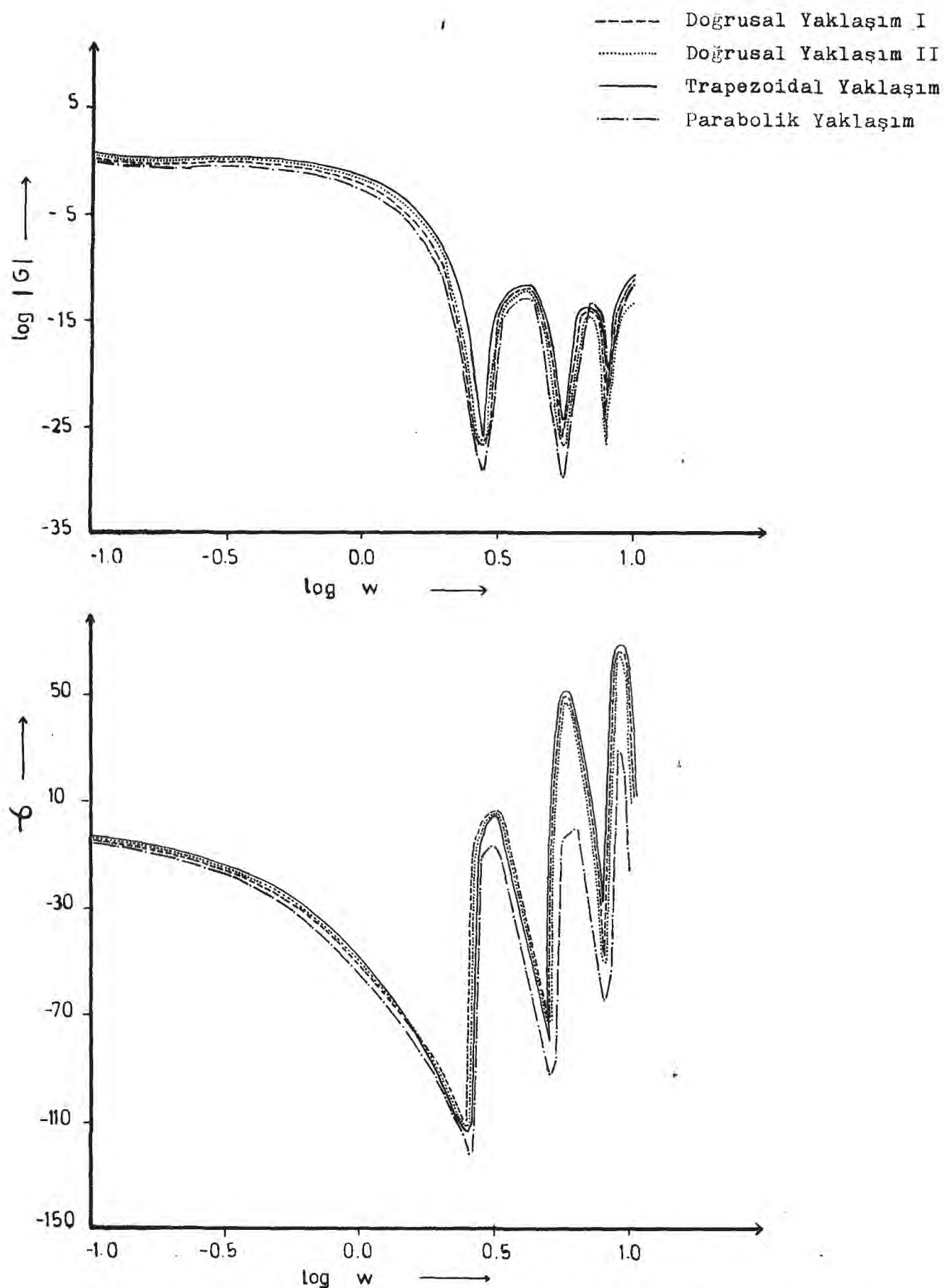
(  $v_1=1.0$  lt/dak ,  $h=1.0$  lt/dak ,  $D=4.1666$  dak )



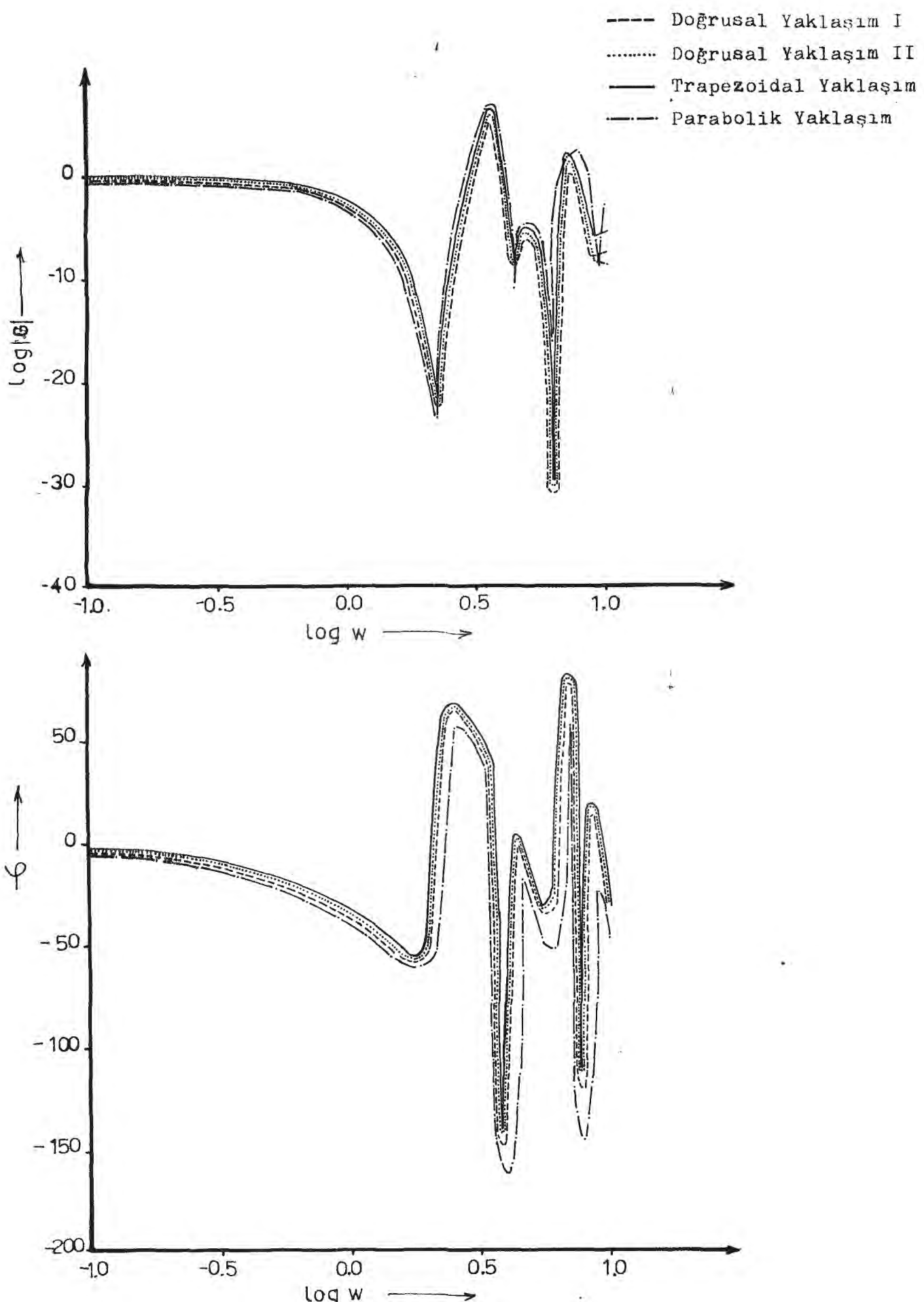
Şekil 4.22 : Giriş akış hızına verilen pulse değişimi ve  $C_f$  derişiminin zamanla göre değişiminden Fourier dönüşümlerinin integral işlemleri için gerekli adım aralıkların ve noktaların belirlenmesi.

D(dak)	0.5		1.666		4.1666
DIT1(dak)	0.0556	0.1851	0.1851	0.1851	0.46296
DIT3 (dak)	0.1667	0.1667	0.532	0.1667	0.1667
Nokta Sayısı	15	19	10	26	29
T <sub>x</sub> (dak)	2.3338	3.0	3.0	4.1675	4.0676
Sekil No	4.23	4.24	4.25	4.26	4.27

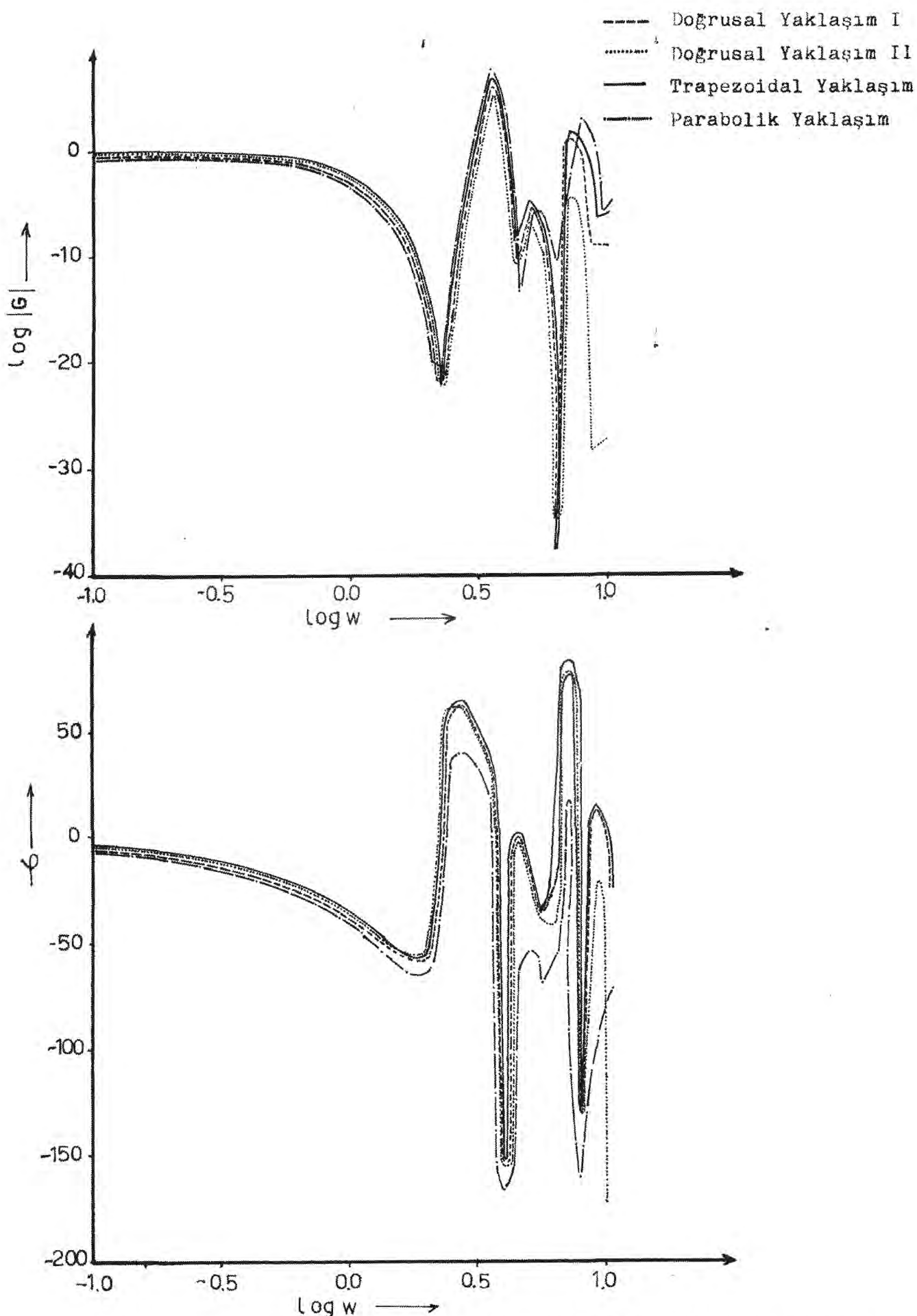
Tablo 4.3 : Birinci tank çukus derisini ile ilgili Bode diagramlarının hesaplanması için bilgisayara verilen gerekli veriler.  
 $(V_1 = 1.0 \text{ lt/dak})$ ,  $(h = 1.0 \text{ lt/dak})$ .



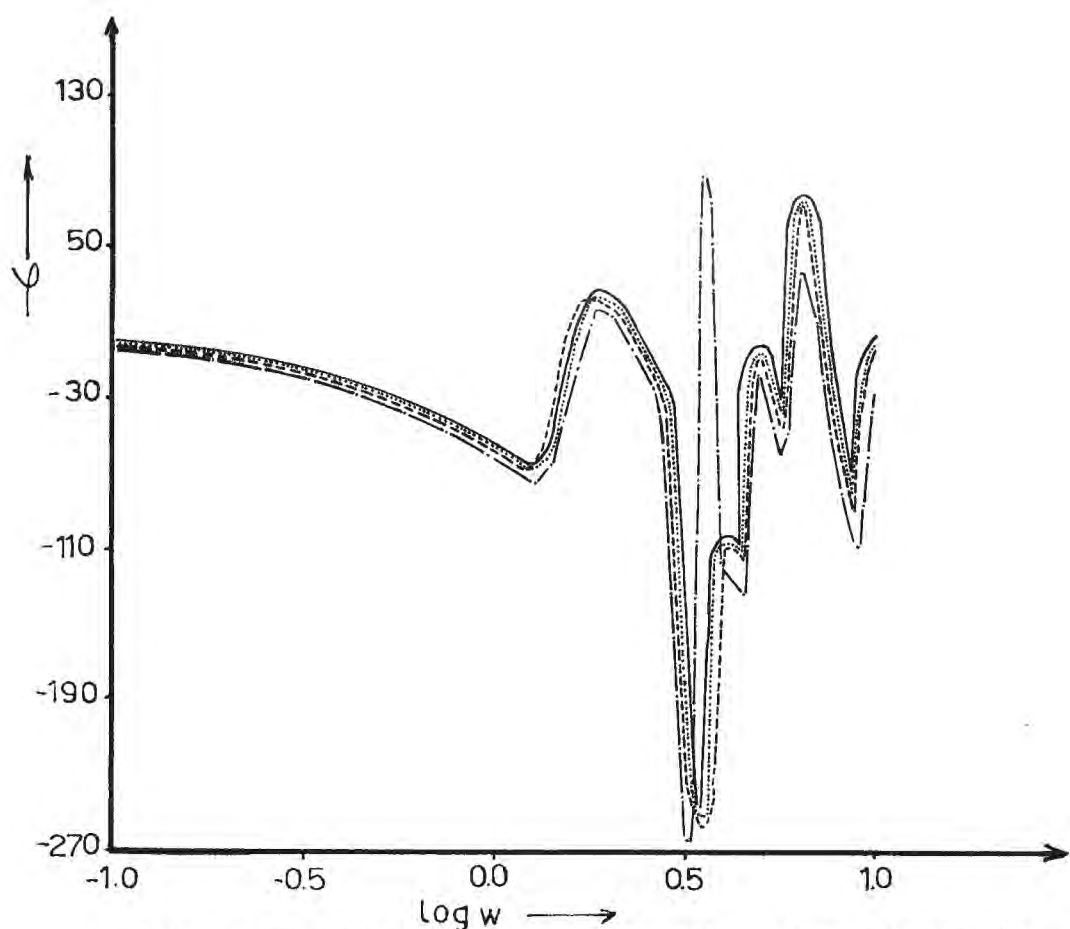
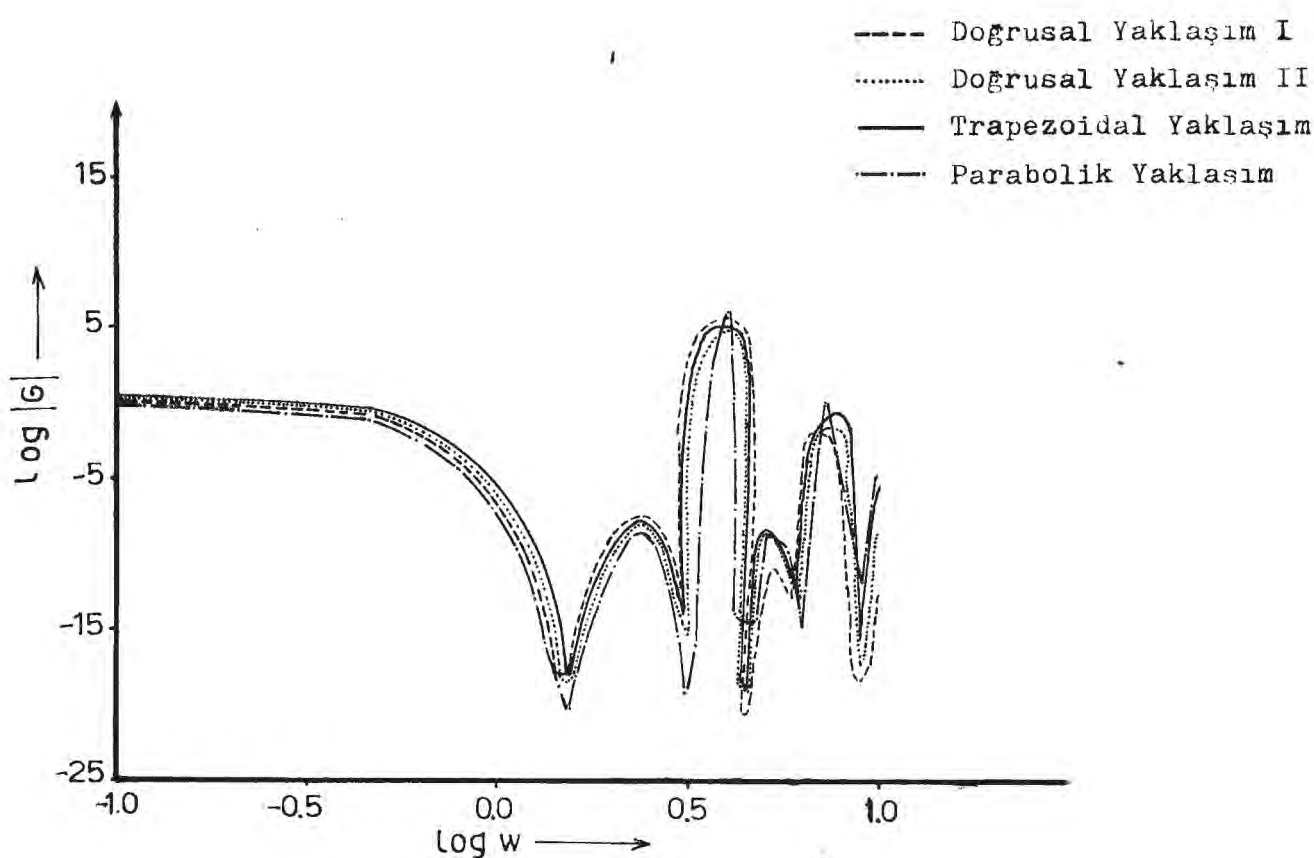
Şekil 4.25.: Besleme akış hızındaki pulse etkisinde, birinci tank çıkış derişimi için Bode diyagramı. ( $D=0.5$  dak ,  
 $DLT1=0.0556$  dak ,  $DLT3=0.1667$  dak ,  $T_x=2.5338$  dak )



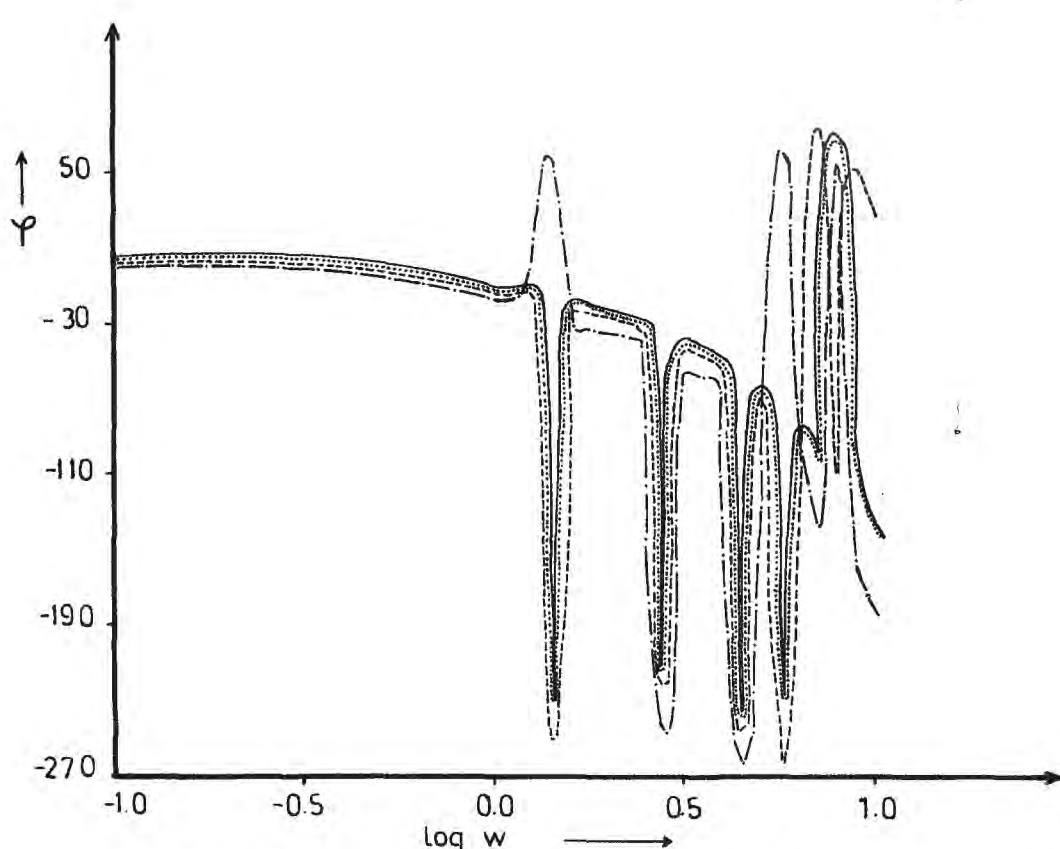
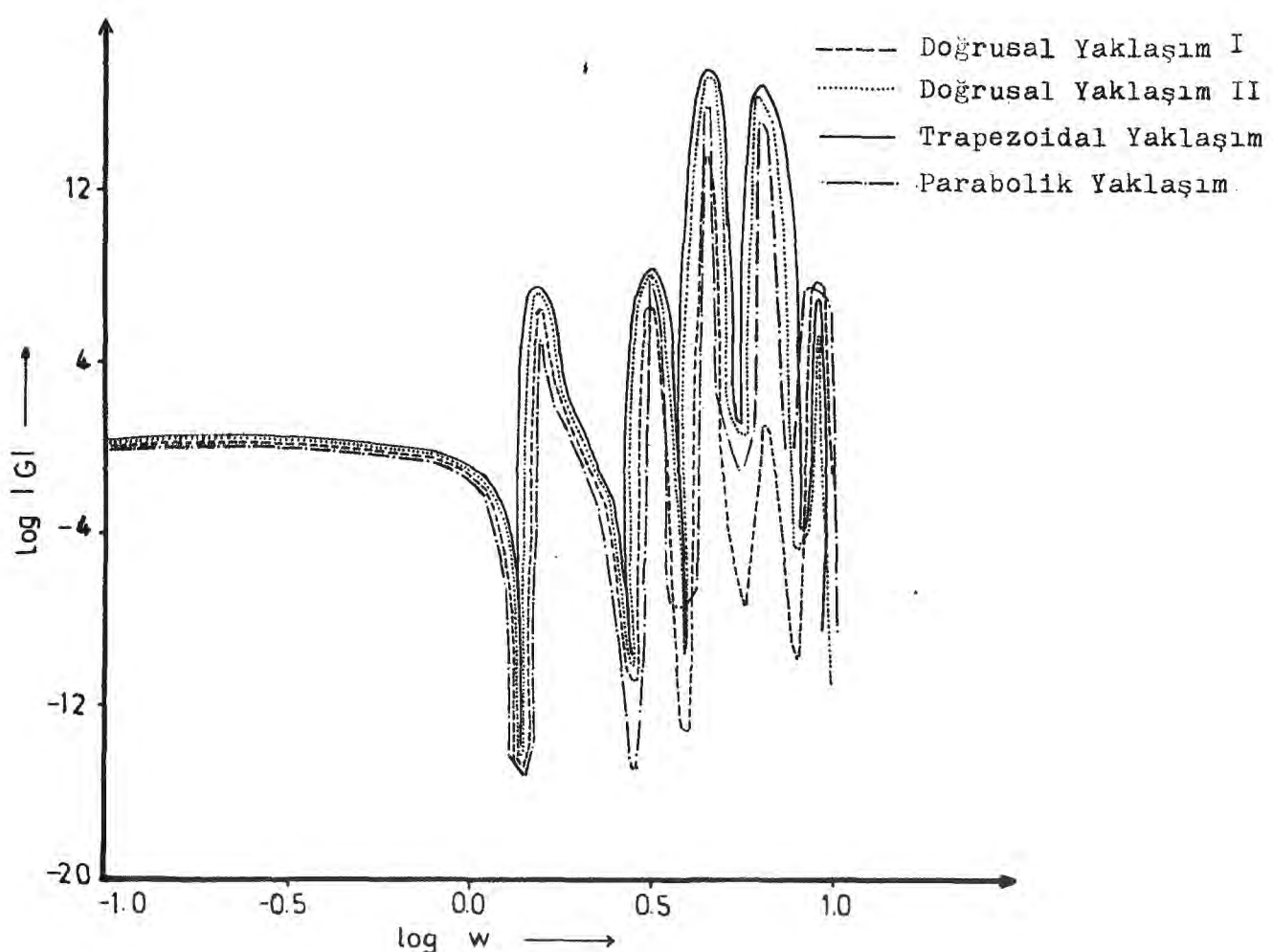
Sekil 4.24.: Besleme akış hızındaki pulse etkisinde, birinci tank çıkış derisimi için Bode diyagramı  
 $(D=1.666\text{dak}, DLT1=0.1851\text{dak}, DLT3=0.1667\text{dak}, T_X=3.0\text{dak})$ .



Şekil 4.25.: Besleme akış hızındaki pulse etkisinde, birinci tank çıkış derişimi için Bode diyagramı  
 $(D=1.666\text{dak}, DLT_1=0.1851, DLT_2=0.334\text{dak}, T_X=3.0\text{dak})$ .



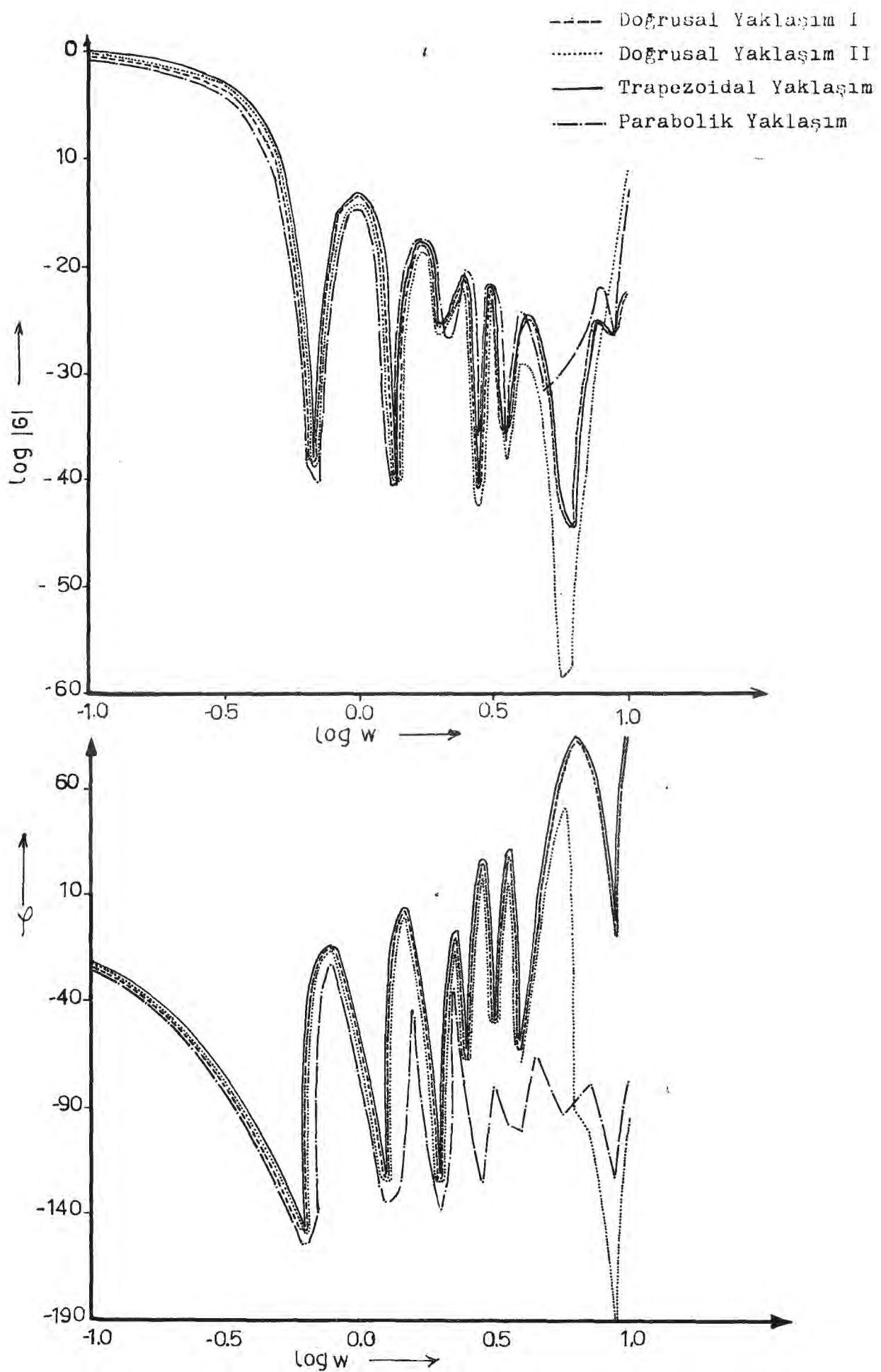
Şekil 4.26.: Besleme akış hızındaki pulse etkisinde, birinci tank çıkış derisimi için Bode diyagramı  
 $(D=1.666\text{dak}, DLT1=0.1851\text{dak}, DLT3=0.1667\text{dak}, T_X=4.1675\text{dak})$ .



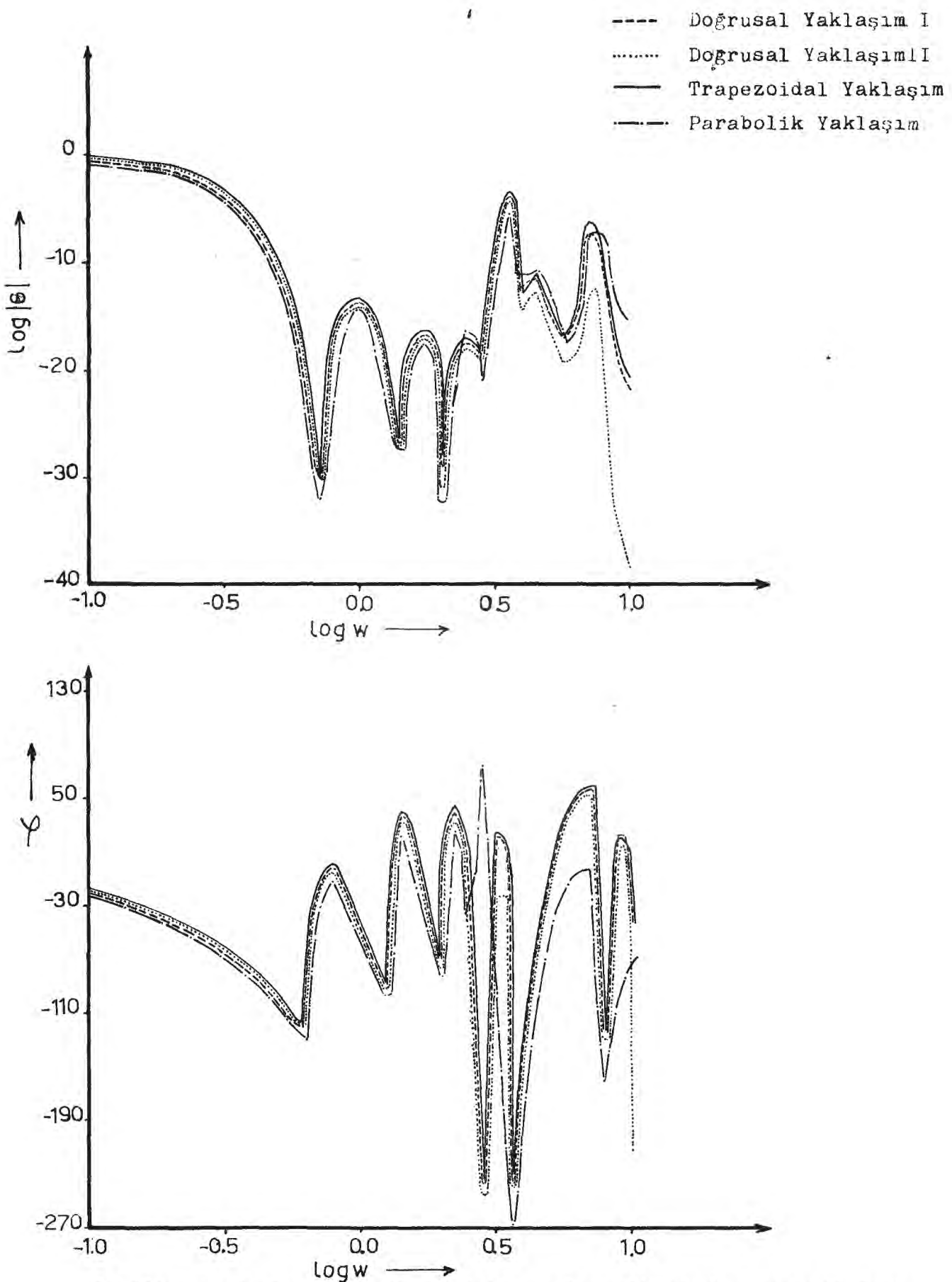
Sekil 4.27: Besleme akış hızındaki pulse etkisinde, birinci tank çıkış derişimi için Bode diyagramı. ( $D=4.1666$  dak,  $DLT_1=0.46296$  dak,  $DLT_3=0.1667$  dak,  $T_x=4.6676$ )

D (dak)	0.5		1.666		4.1666
DITL (dak)	0.0556	0.1851	01851	01851	0.46296
DITRg (dak)	0.5	0.334	0.667	1.667	0.5
Nokta Sayısı	19	29	15	10	20
T <sub>x</sub> (dak)	9.0	9.3	9.3	15.0	9.5
Sekil No	4.28	4.29	4.30	4.31	4.32

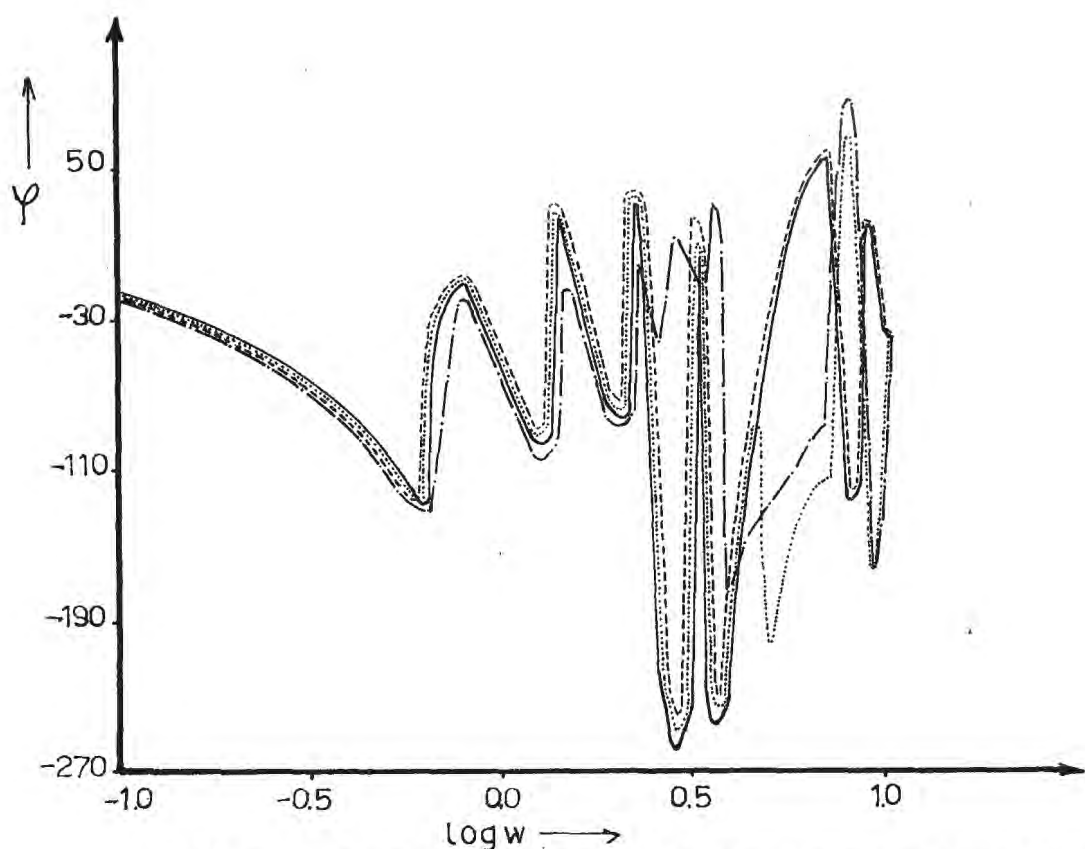
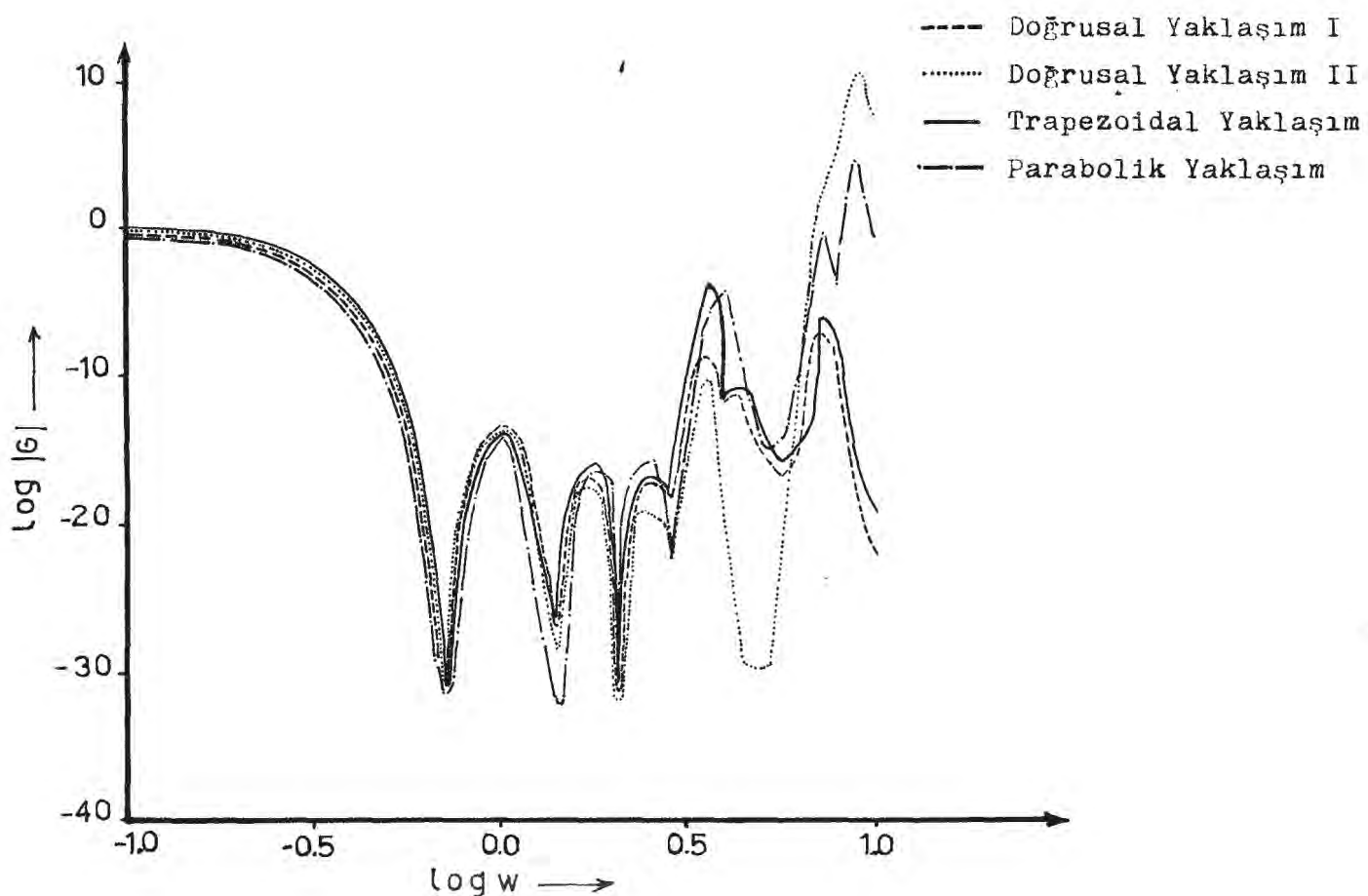
Tablo 4.4 : Besinci tank şıkış derişimi ile ilgili Bode diyagramlarının hesaplanması için bilgisayara verilen gerekli veriler.  
 $(V = 1.0 \text{ lt/dak} , h = 1.0 \text{ lt/dak} )$ .



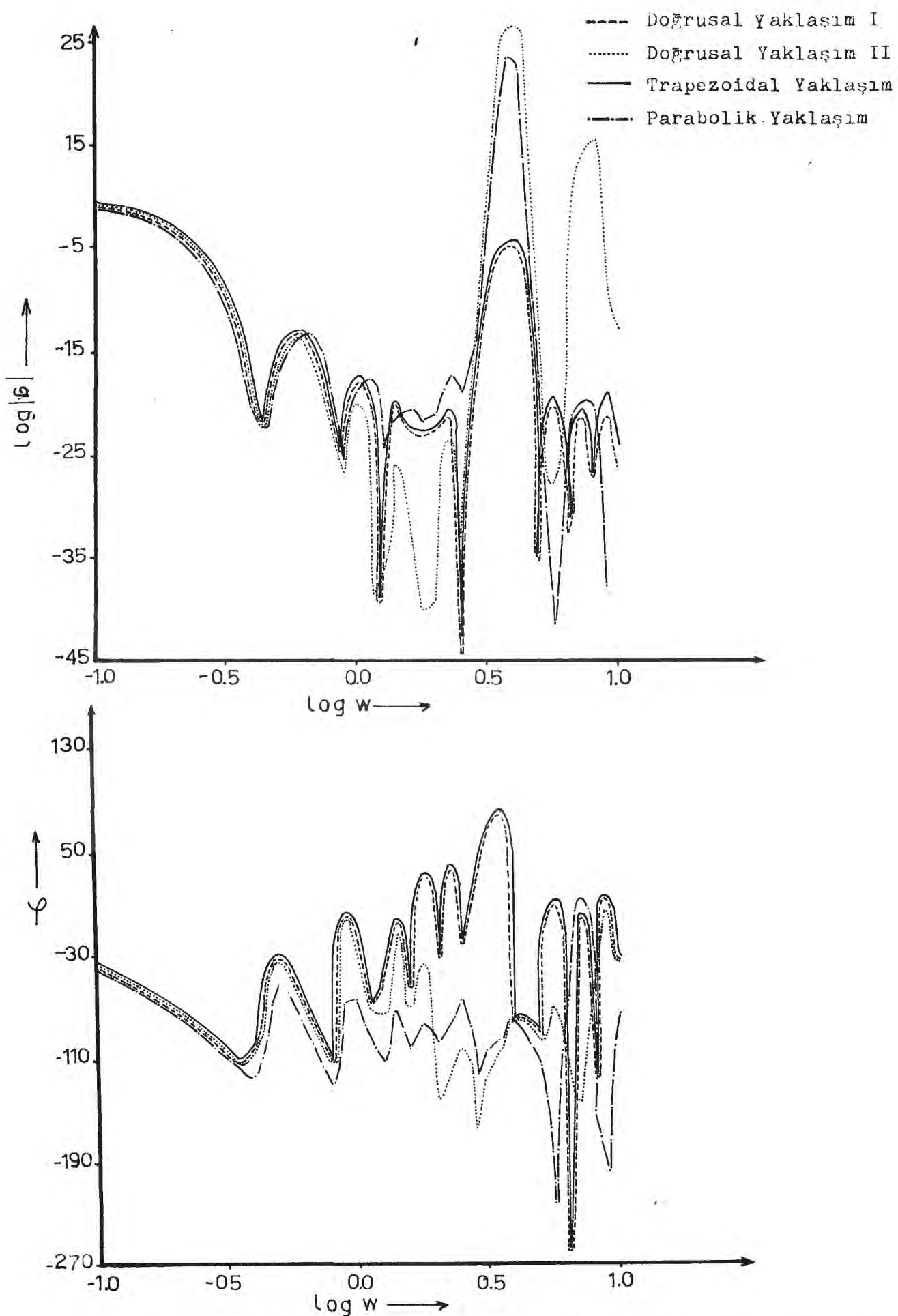
Şekil 4.23.: Besleme akış hızındaki pulse etkisinde, beşinci tank  
çöküş derisimi için bode diyagramı  
( $D=0.5$  dak,  $DLT1=0.0556$  dak,  $DLT3=0.5$  dak,  $T_X=9.0$  dak).



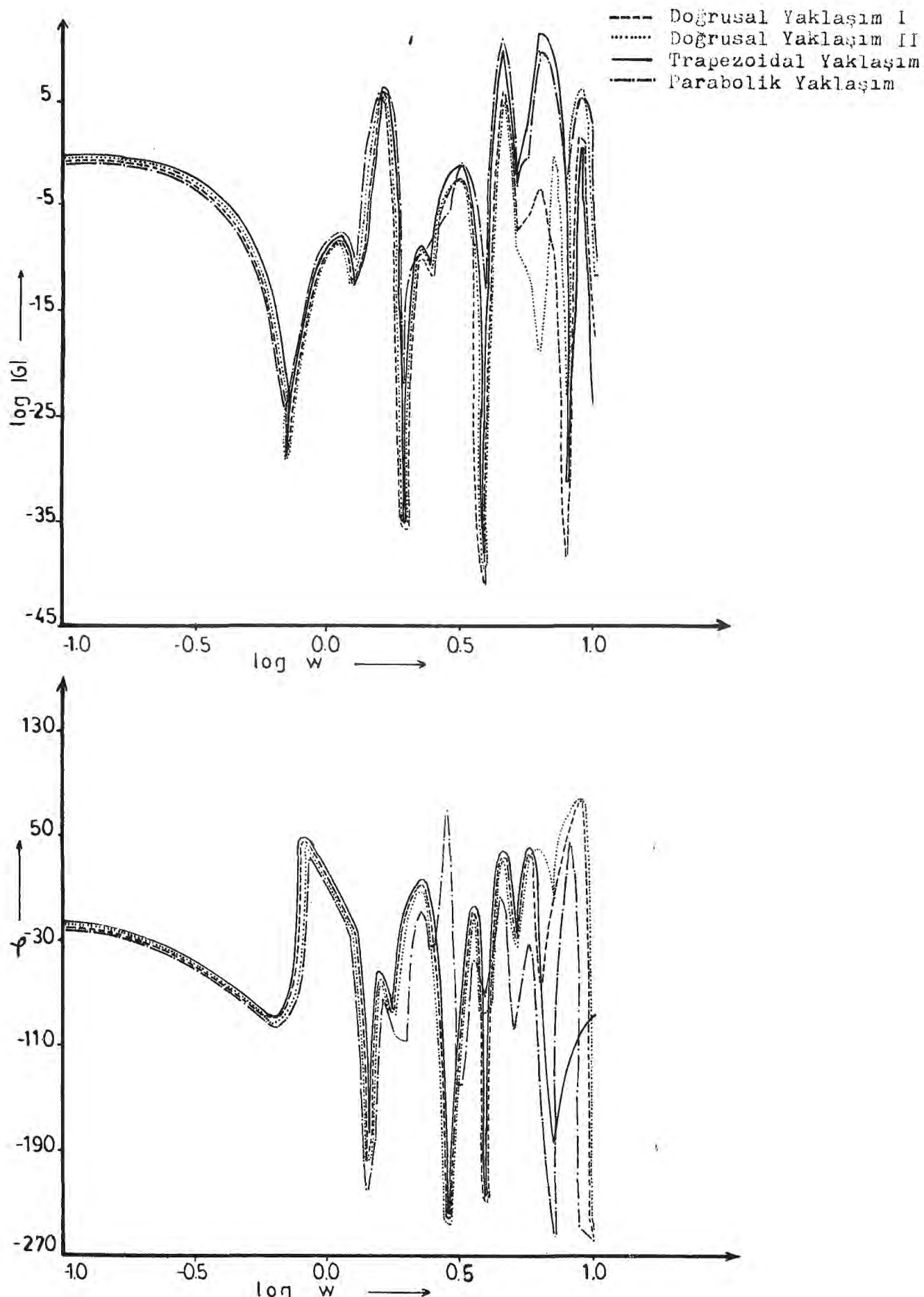
Şekil 4.29.: Besleme akış hızındaki pulse etkisinde, beşinci tank çıkış derişimi için Bode diyagramı  
 $(D=1.666\text{dak}, DLT1=0.1851\text{dak}, DLT3=0.534\text{dak}, T_x=9.5 \text{ dak})$ .



Şekil 4.50.: Besleme akış hızındaki pulse etkisinde, beşinci tank çıkış derişimi için Bode diyagramı  
 $(D=1.666\text{dak}, DLTL=0.185\text{dak}, DLT3=0.667\text{dak}, T_X=9.3\text{dak})$ .



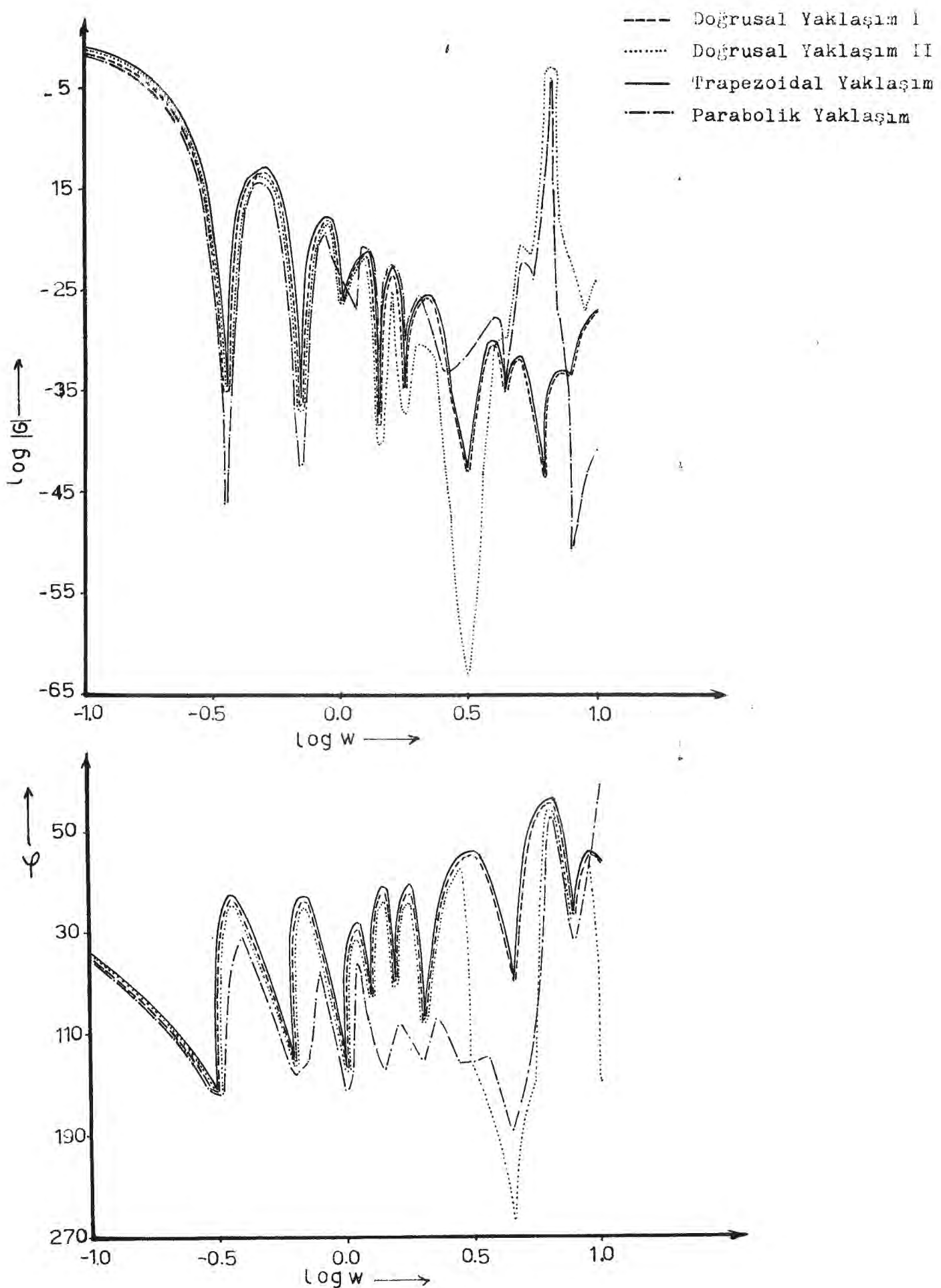
Şekil 4.31.: Besleme akış hızındaki pulse etkisinde, beşinci tank çıkış derisimini için Bode diyagramı  
 $(D=1.66\text{dak}, DLT_1=0.1851\text{dak}, DLT_3=1.667\text{dak}, T_x=15.0\text{dak})$ .



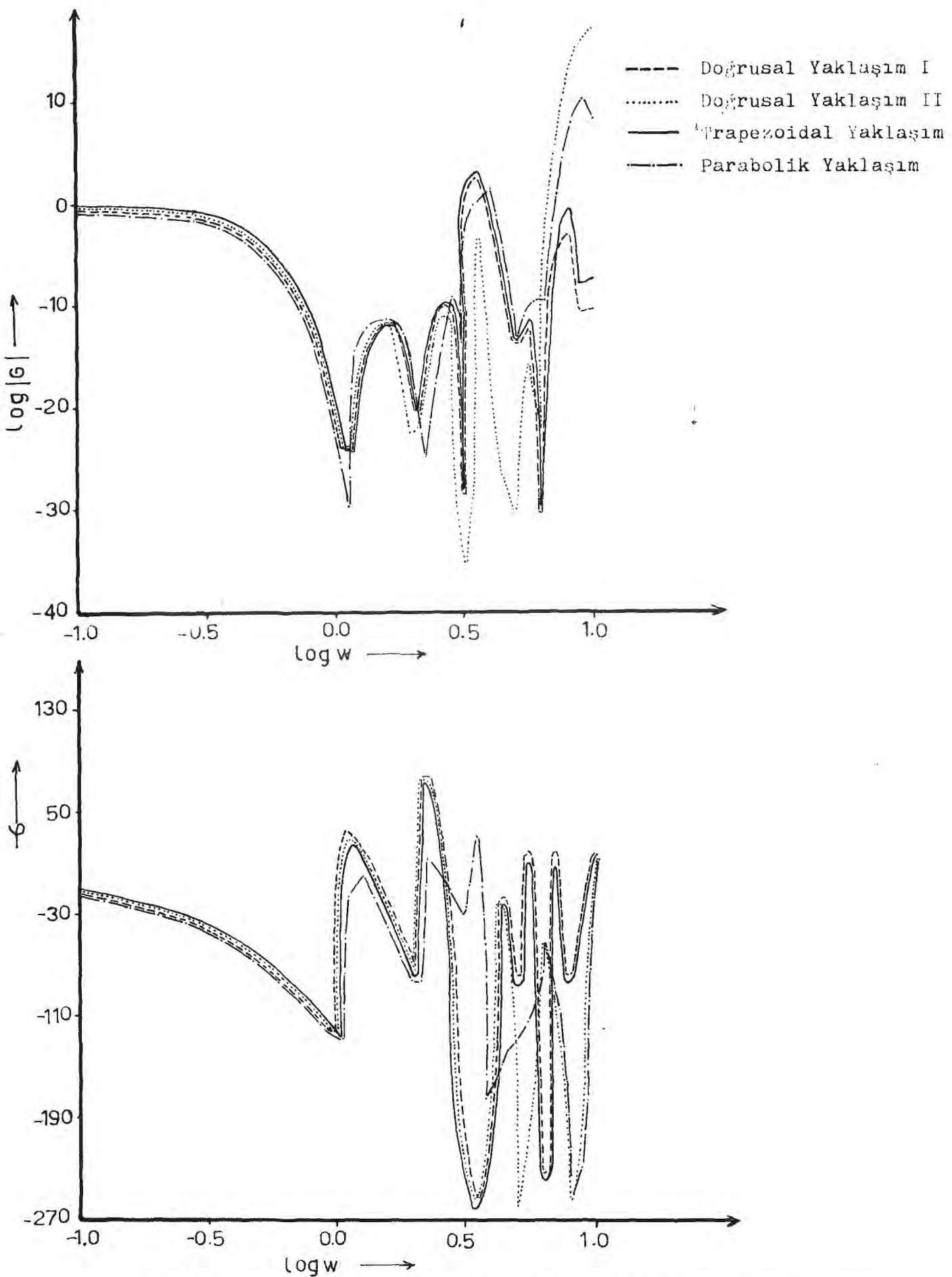
Sekil 4.32.: Besteme akış hızındaki pulse etkisinde, beşinci tank çıkış derişimi için Bode diyagramı  
 $(D=4.166\text{da}\text{k}, \text{DLT}1=0.46296\text{da}\text{k}, \text{DLT}3=0.5\text{da}\text{k}, T_2=9.5\text{da}\text{k})$ .

D (dak)	0.5		1.666		4.1666
DLT1 (dak)	0.0556	0.1851	0.1851	0.1851	0.46296
DLT3 (dak)	1.0	0.067	0.5	1.334	0.5
Nokta sayı	19	10	25	10	45
T <sub>x</sub> (dak)	18.0	6.0	12.0	12.0	24.0
Sekil no	4.33	4.34	4.35	4.36	4.37
					4.38

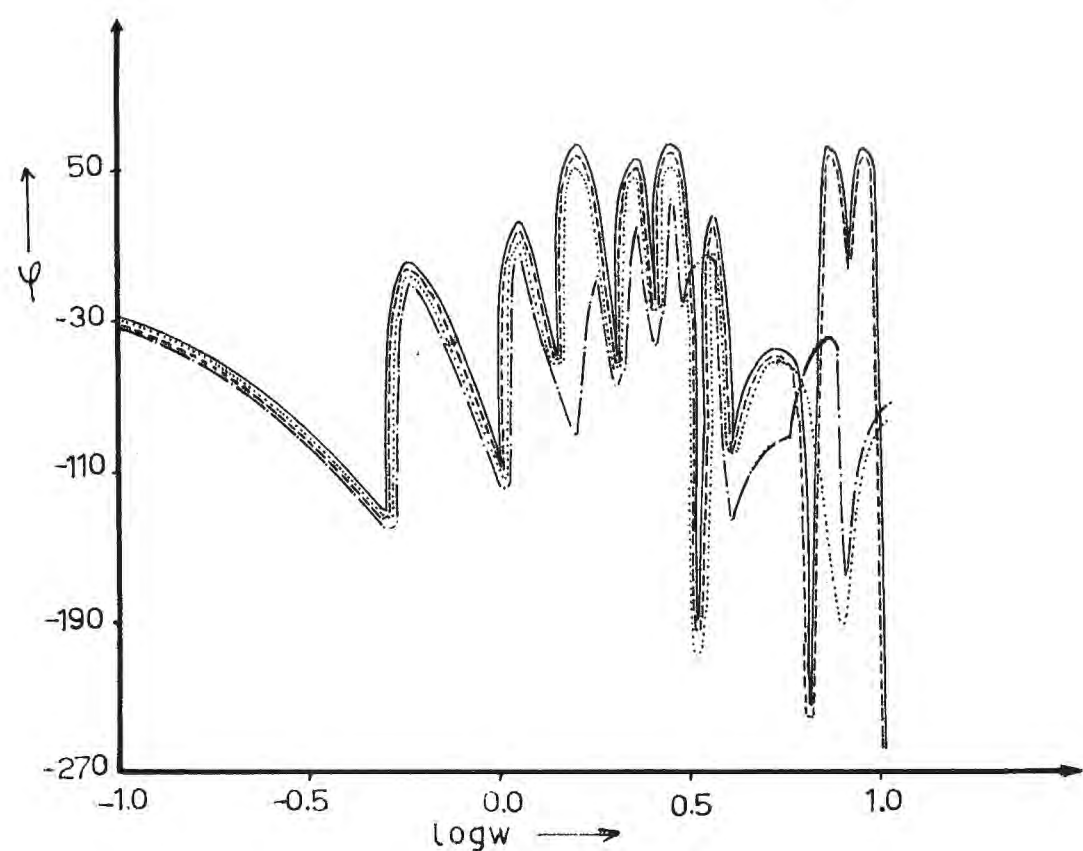
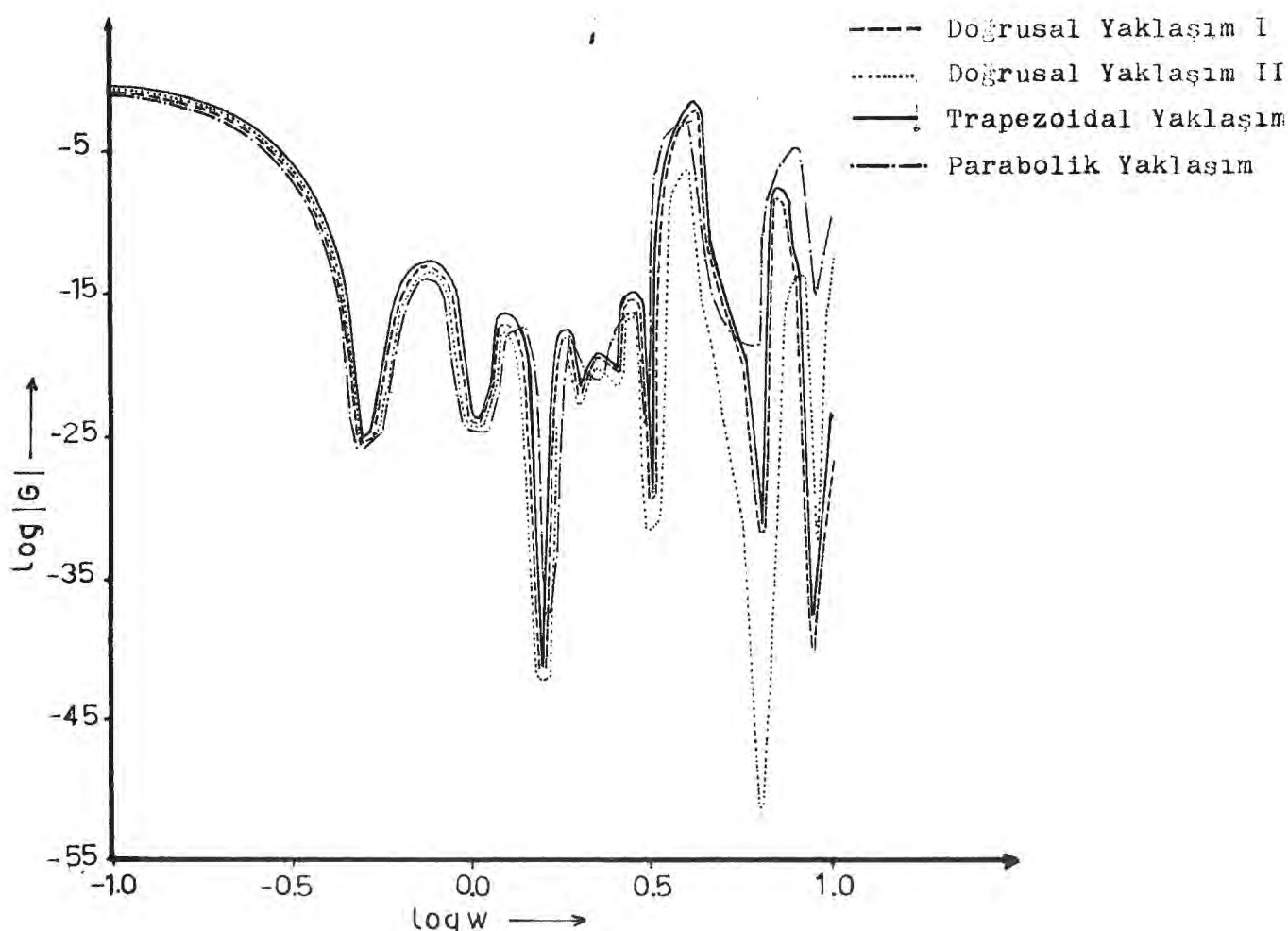
Tablo 4.5 : Birinci tank çöküş sıcaklığı ile ilgili Bodie diyagramları -  
nın hesaplanması için bilgisayaraya verilen gereklilikler.  
(  $v_1 = 1.0 \text{ lt/dak}$  ,  $h = 1.0 \text{ lt/dak}$  )



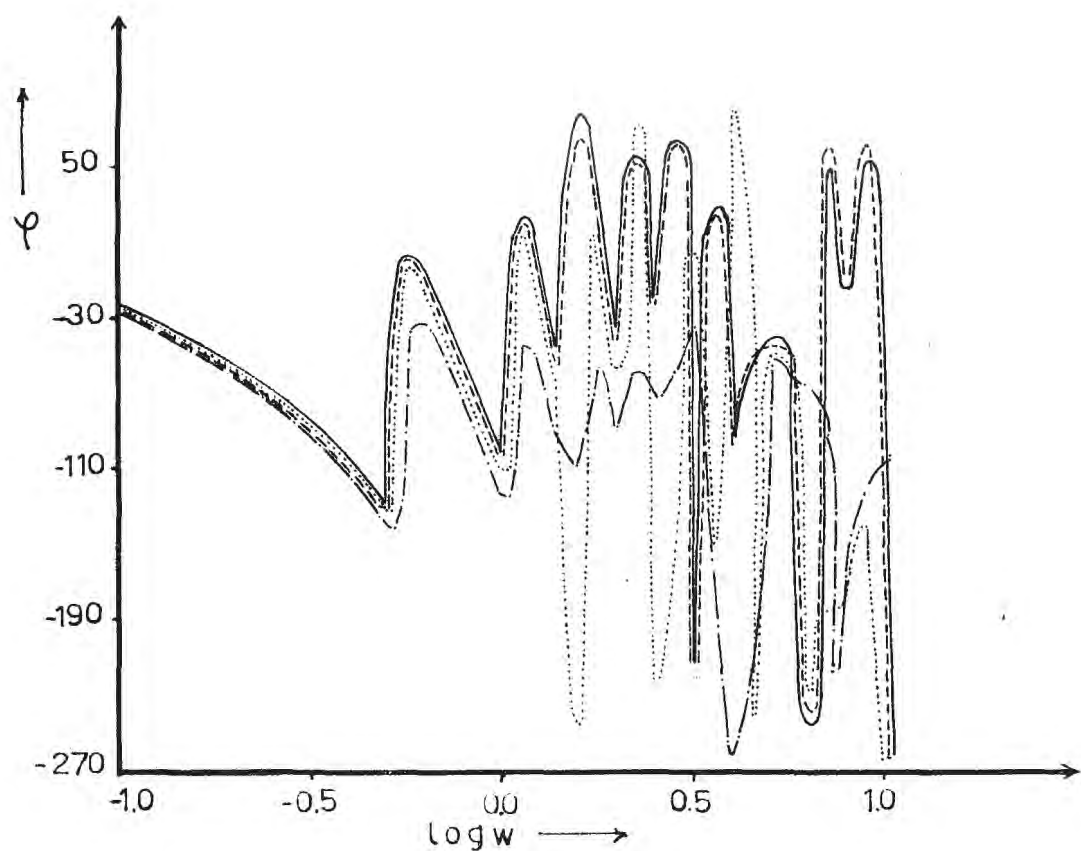
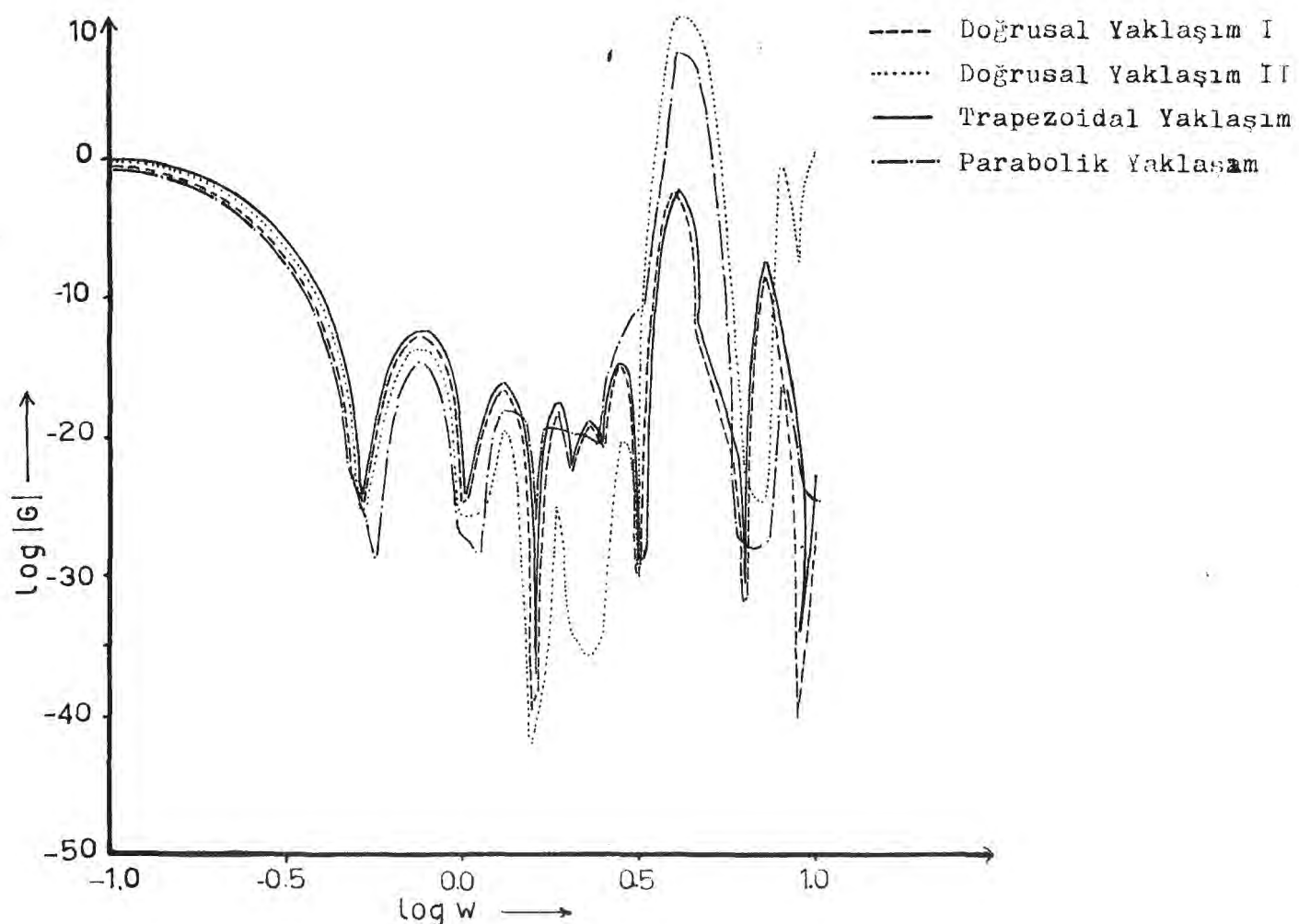
Şekil 4.33.: Besleme akış hızındaki pulse etkisinde, birinci tank çıkış sıcaklığı için Bode diyagramı  
 $(D=0.5\text{dak}, DLT1=0.0556\text{dak}, DLT3=1.0\text{dak}, T_X=18.0\text{dak})$ .



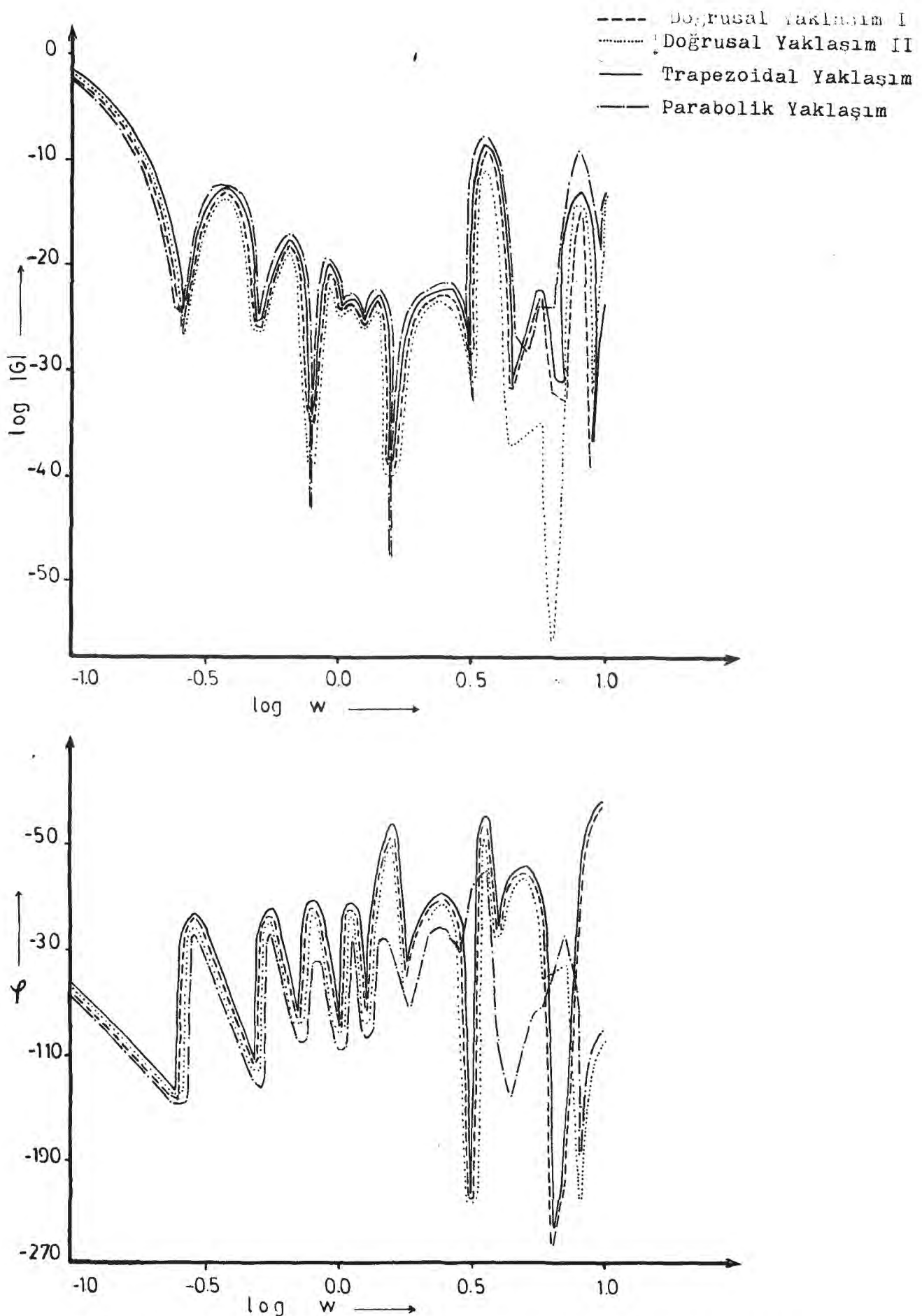
Şekil 4.34.: Besleme akış hızındaki pulse etkisinde, birinci tank çıkış sıcaklığı için Bode diyagramı  
 $(D=1.666\text{da}\text{k}, DLT1=0.1851\text{da}\text{k}, DLT3=0.667\text{da}\text{k}, T_2=6.0\text{da}\text{k})$ .



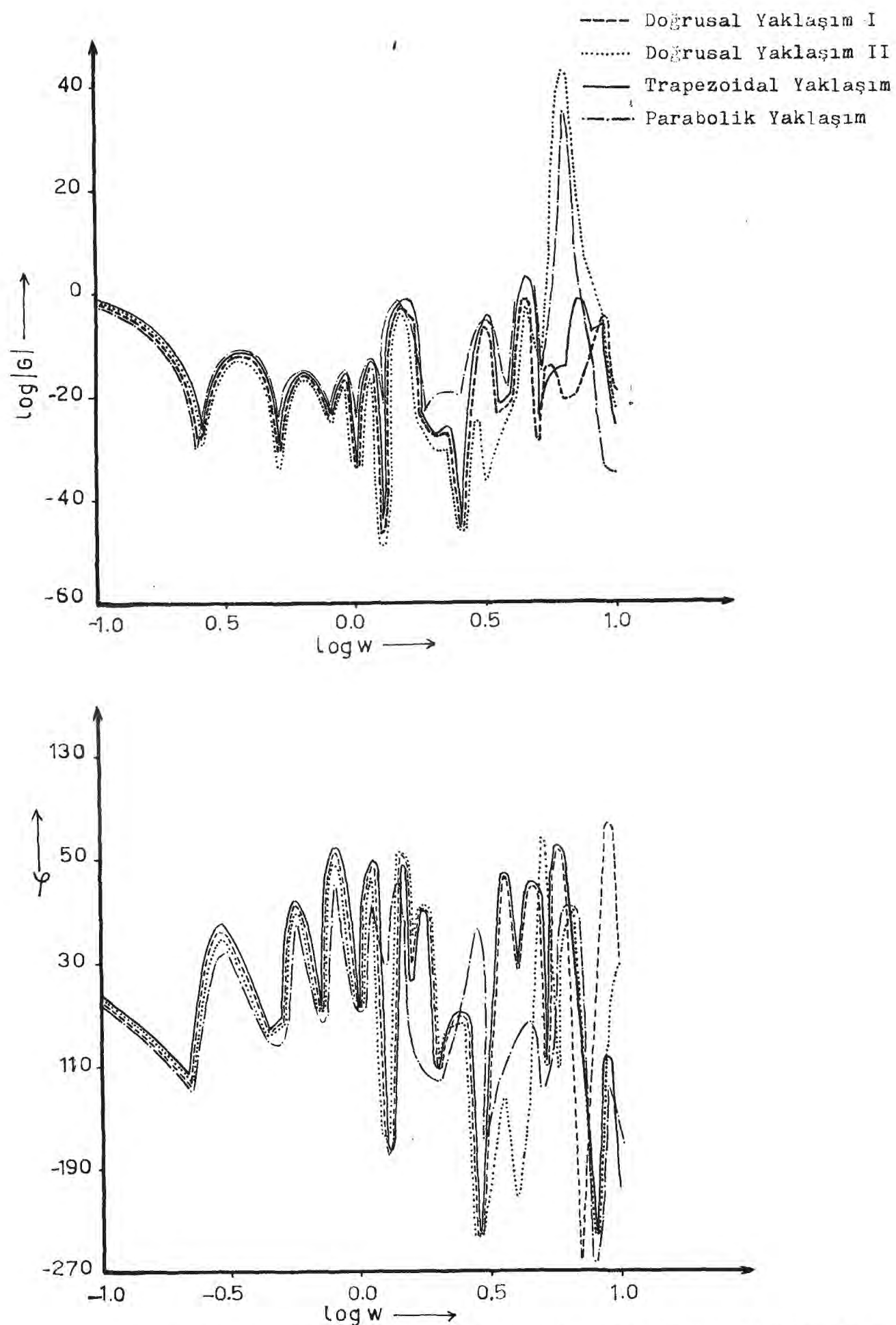
Sekil 4.35.: Besleme akış hızındaki pulse etkisinde, birinci tank çıkış sıcaklığı için Bode diyagramı  
 $(D=1.666\text{dak}, DLT1=0.185\text{dak}, DLT3=0.5\text{ dak}, T_X=12.0\text{dak})$ .



Şekil 4.56.: Besleme akış hızındaki pulse etkisinde, birinci tank çıkış sıcaklığı için Bode diyagramı  
 $(D=1.666 \text{ dak}, DLT_1=0.175 \text{ dak}, DLT_3=1.334 \text{ dak}, T_X=12.0 \text{ dak})$ .



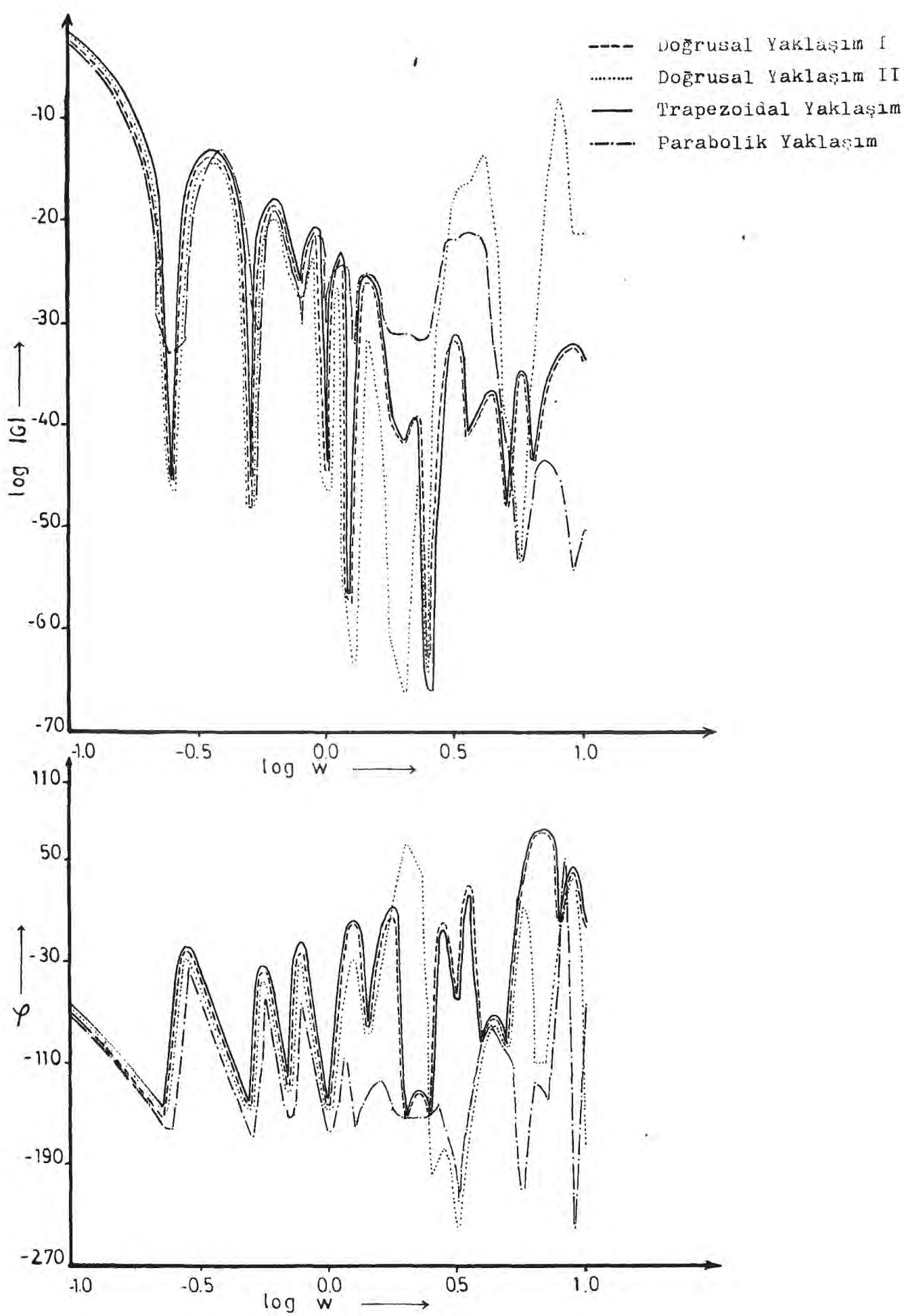
Şekil 4.57.: Besleme akış hızındaki pulse etkisinde, birinci tank sıcaklığı için Bode diyagramı.  
 $(D=1.666 \text{ dak}, DLT1=0.1851 \text{ dak}, DLT3=0.5 \text{ dak}, T_x=24.0 \text{ dak})$ .



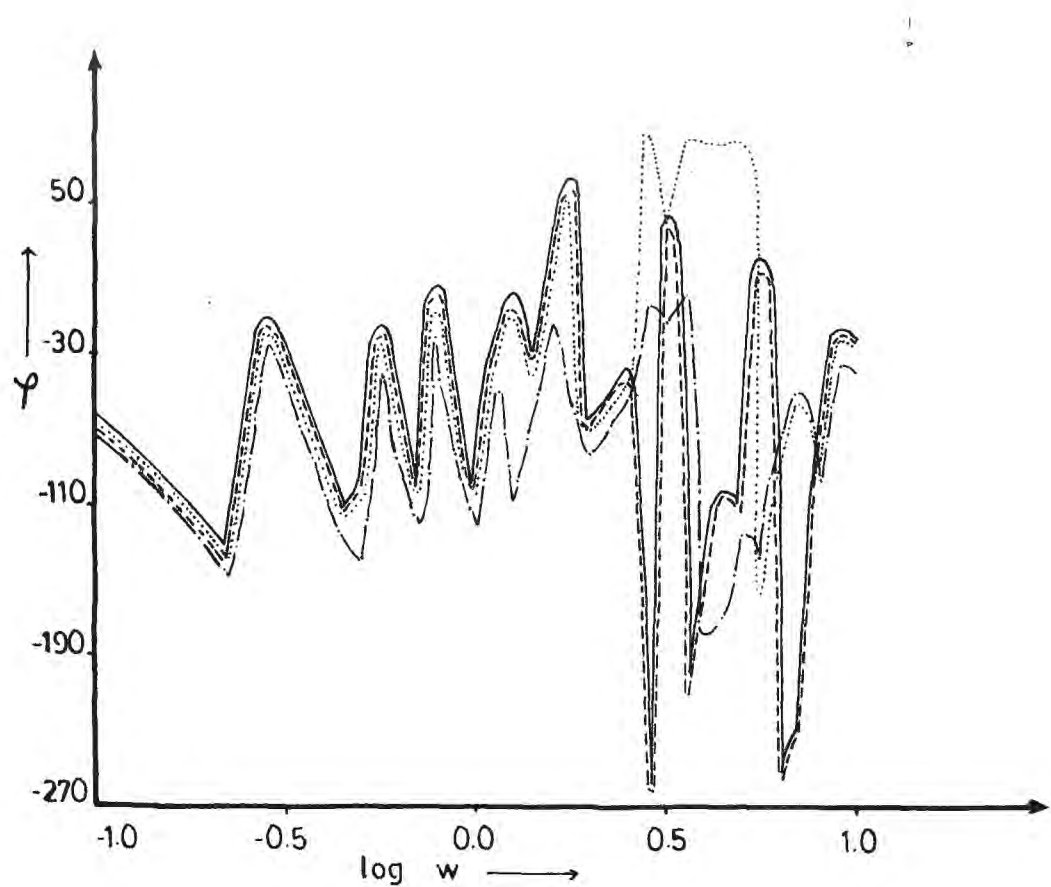
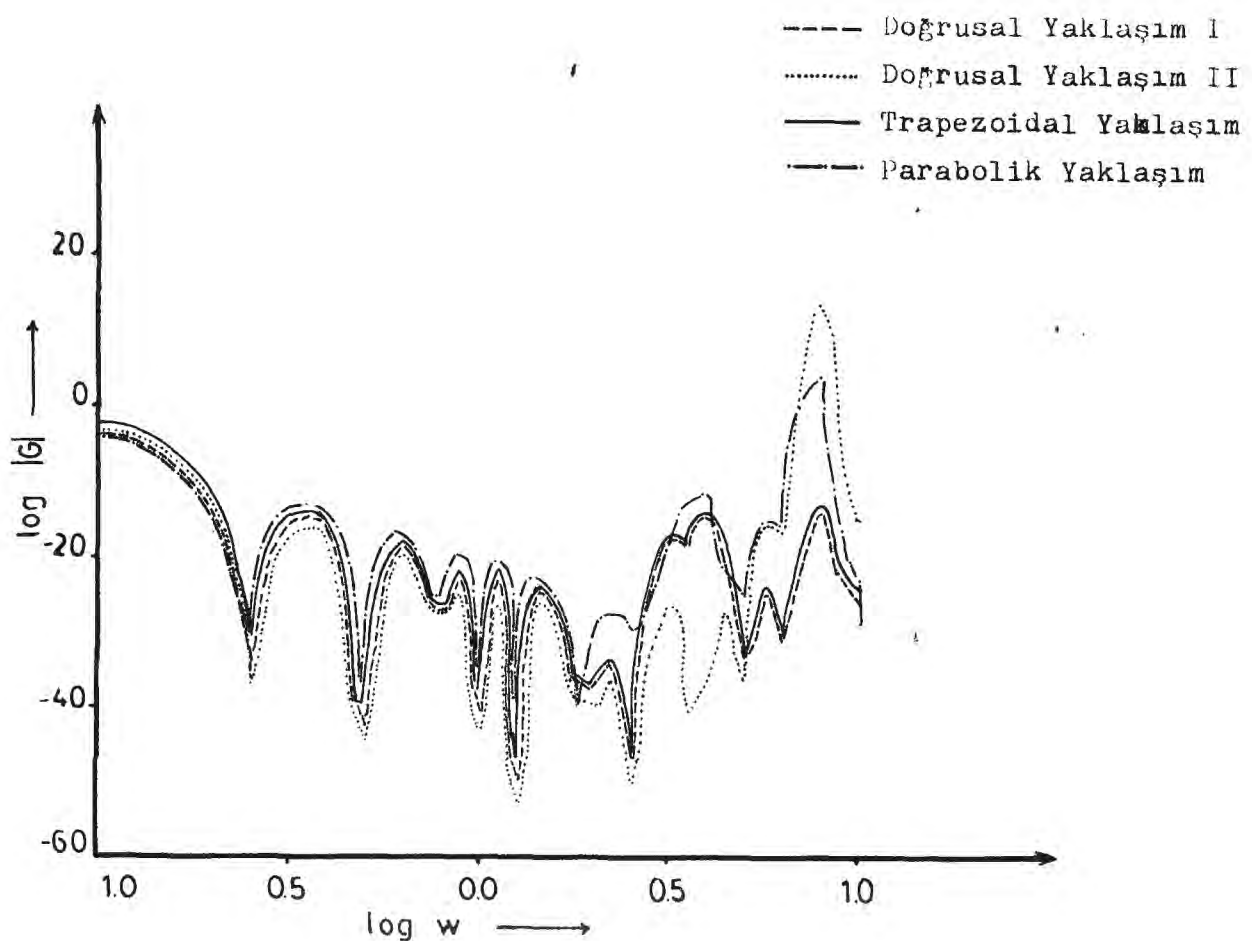
Şekil 4.33.: Besleme akış hızındaki pulse etkisinde, birinci tank çıkış sıcaklığı için Bode diyagramı  
( $D=4.166$  dək,  $DLT_1=0.46296$  dək,  $DLT_3=1.0$  dək,  $T_X=25$ . dək).

D(çak)	0.5		1.666		4.1666
DLT1(çak)	0.0556	0.1851	0.1851	0.1851	0.46296
DLT3(çak)	1.667	0.8334	1.667	1.667	1.667
Roktəsiş	16	31	16	10	16
T <sub>x</sub> (çak)	25.0	25.0	25.0	15.0	25.0
Sekil №	4.39	4.40	4.41	4.42	4.43

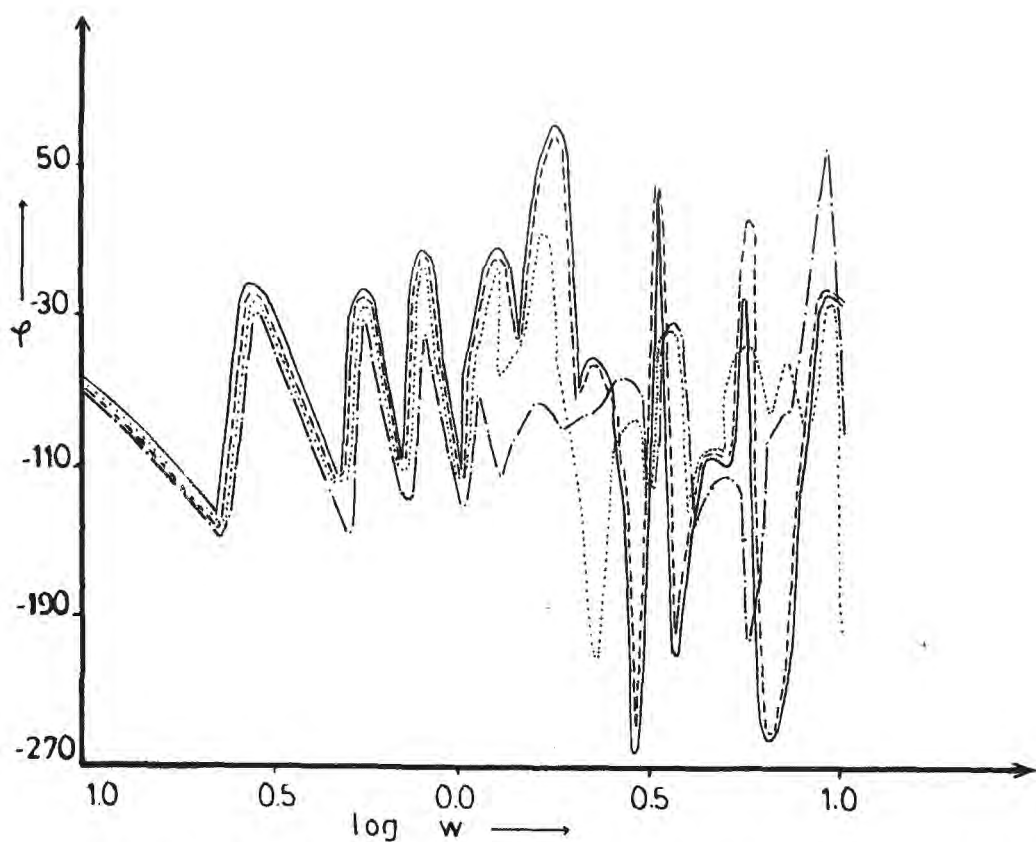
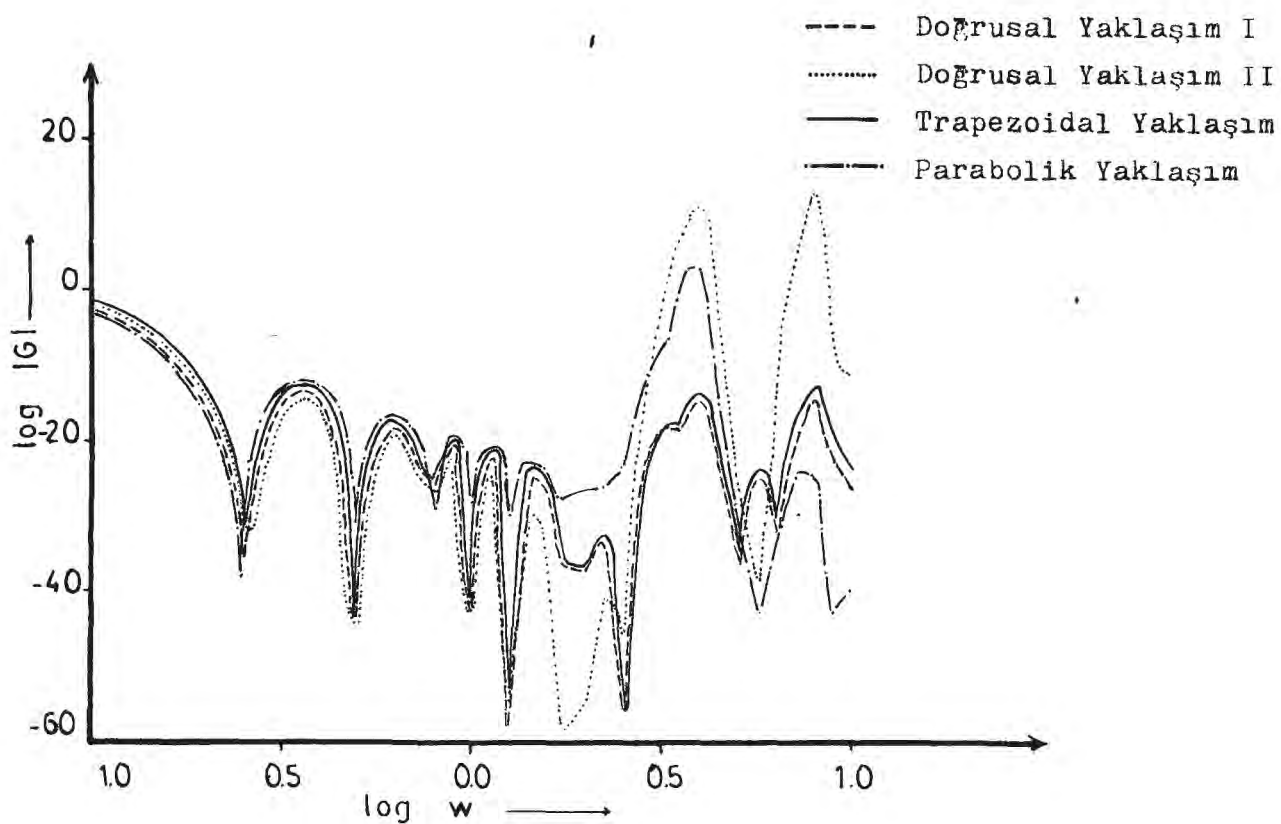
Tablo 4.6. : Beşinci tank şıkkış sıcaklığı ile ilgili Bode diyagramlarının hesaplanması için bilgisayara verilen gerekli veriler ( $V_1 = 1.0 \text{ lt/çak}$ ,  $h = 1.0 \text{ lt/çak}$  ).



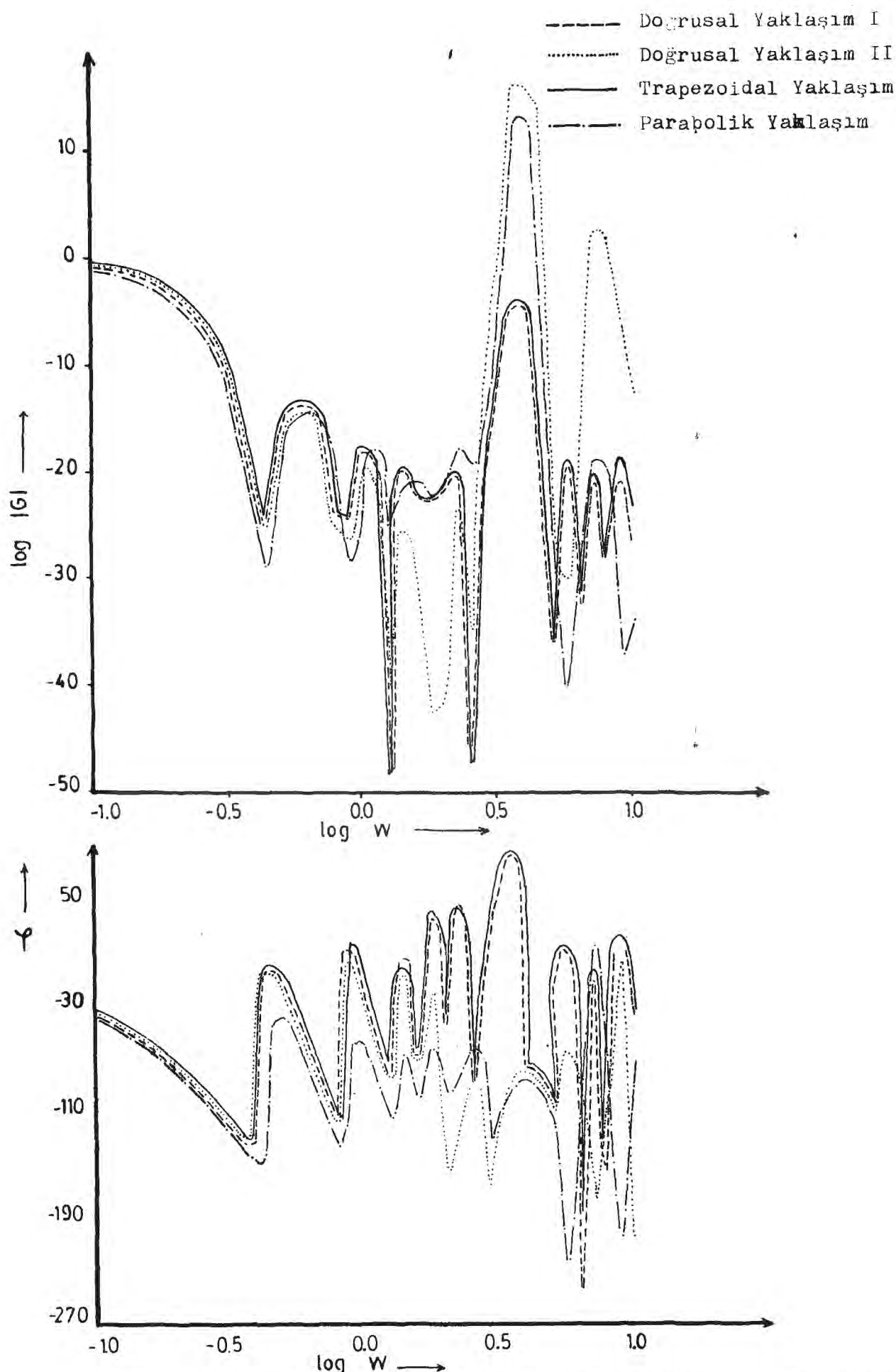
Şekil 4.39.: Besleme akış hızındaki pulse etkisinde, besinci tank çıkış sıcaklığı için Bode diyagramı  
 $(\theta=0.5\text{dak}, \text{DLT}1=0.0556\text{dak}, \text{DLT}3=1.667\text{dak}, T_x=25.0\text{dak})$ .



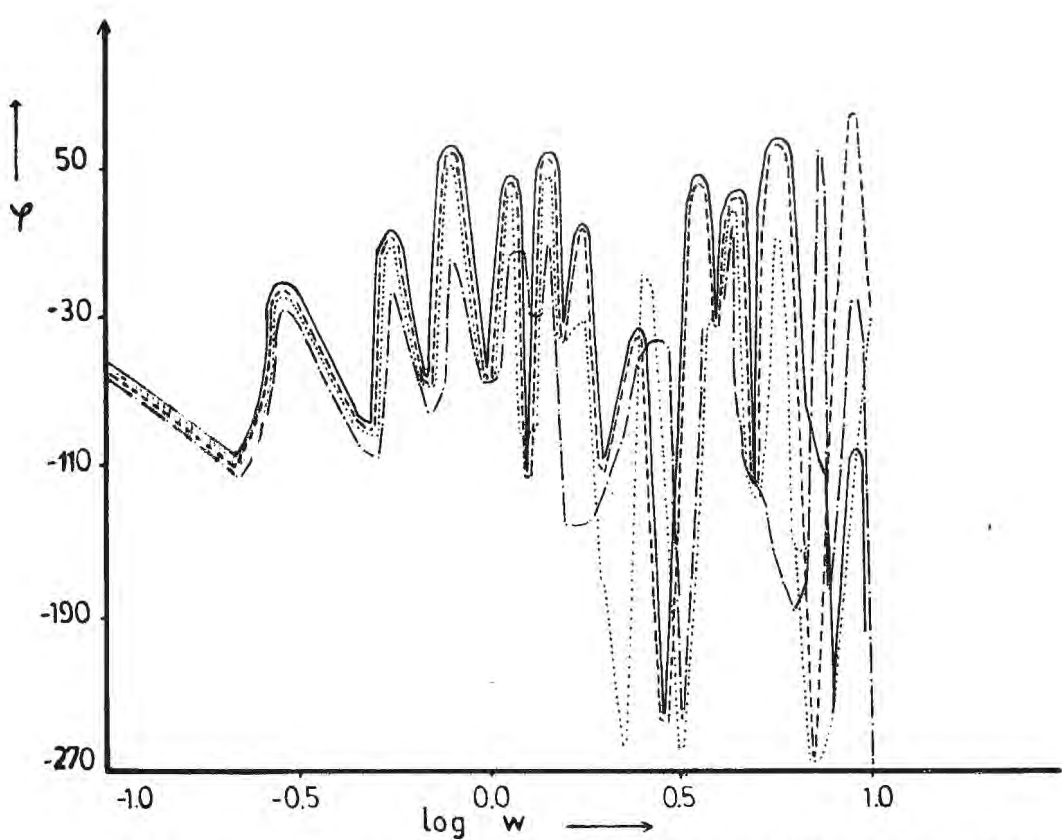
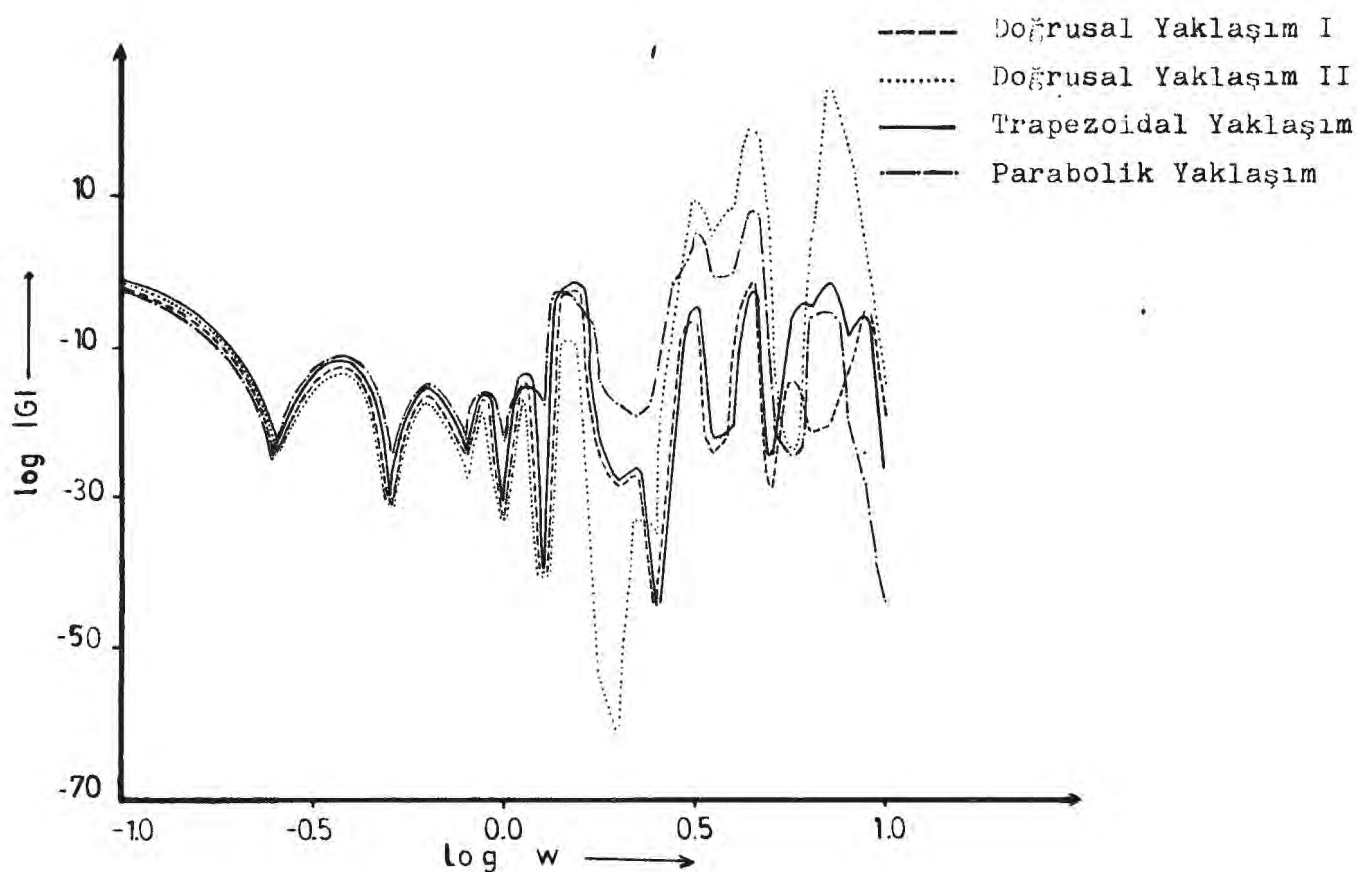
**Sekil 4.40.: Besleme akış hızındaki pulse etkisinde, beşinci tank çıkış sıcaklığı için Bode diyagramı**  
 $(D=1.666 \text{ dak}, DLT1=0.1851 \text{ dak}, DLT3=0.8334 \text{ dak}, T_X=25.0 \text{ dak})$ .



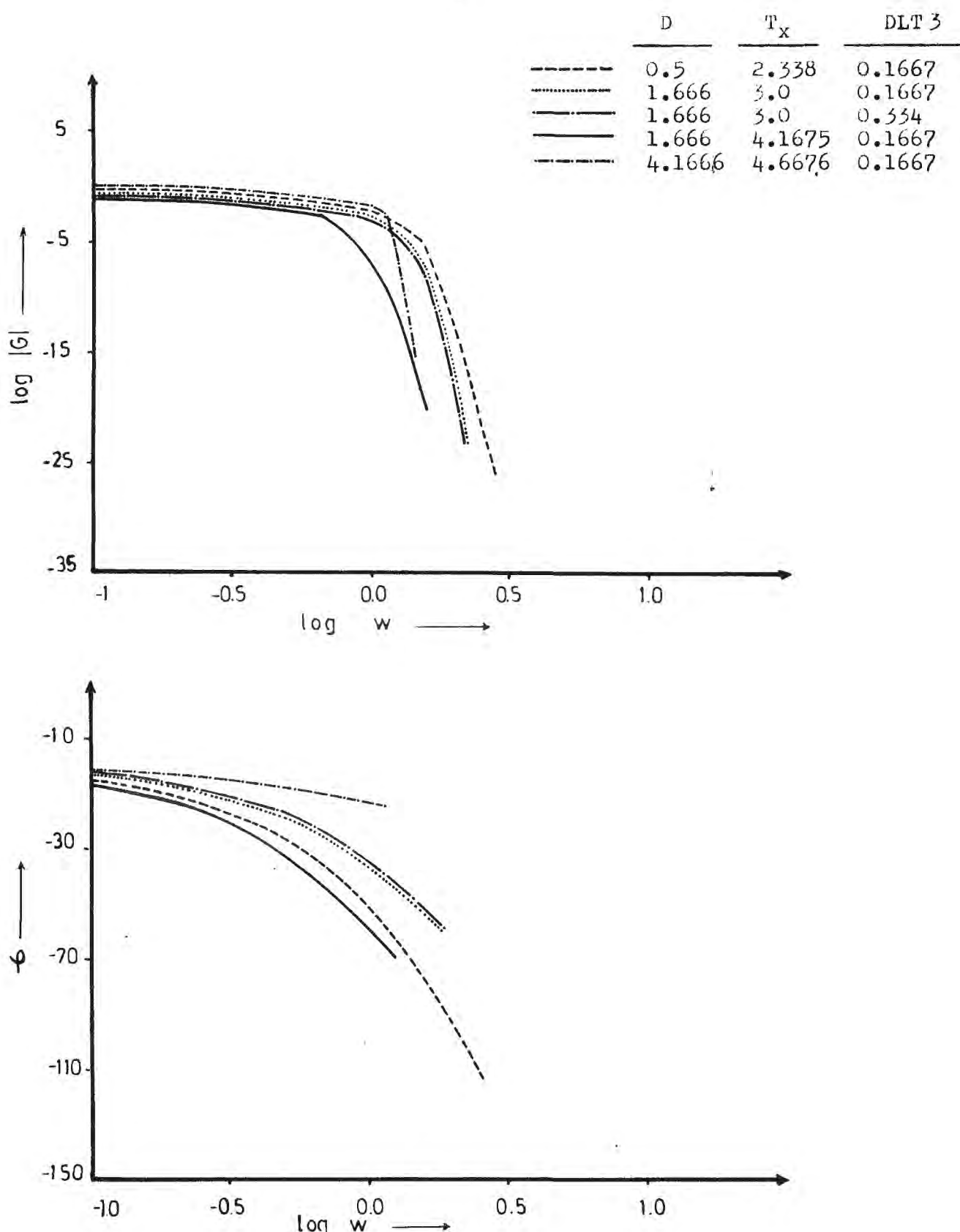
Şekil 4.41.: Besleme akış hızındaki pulse etkisinde, beşinci tank çıkış sıcaklığı için Bode diyagramı  
 $(D=1.666\text{dak}, DLT_1=0.1351\text{dak}, DLT_3=1.667\text{dak}, T_X=25.0\text{dak})$ .



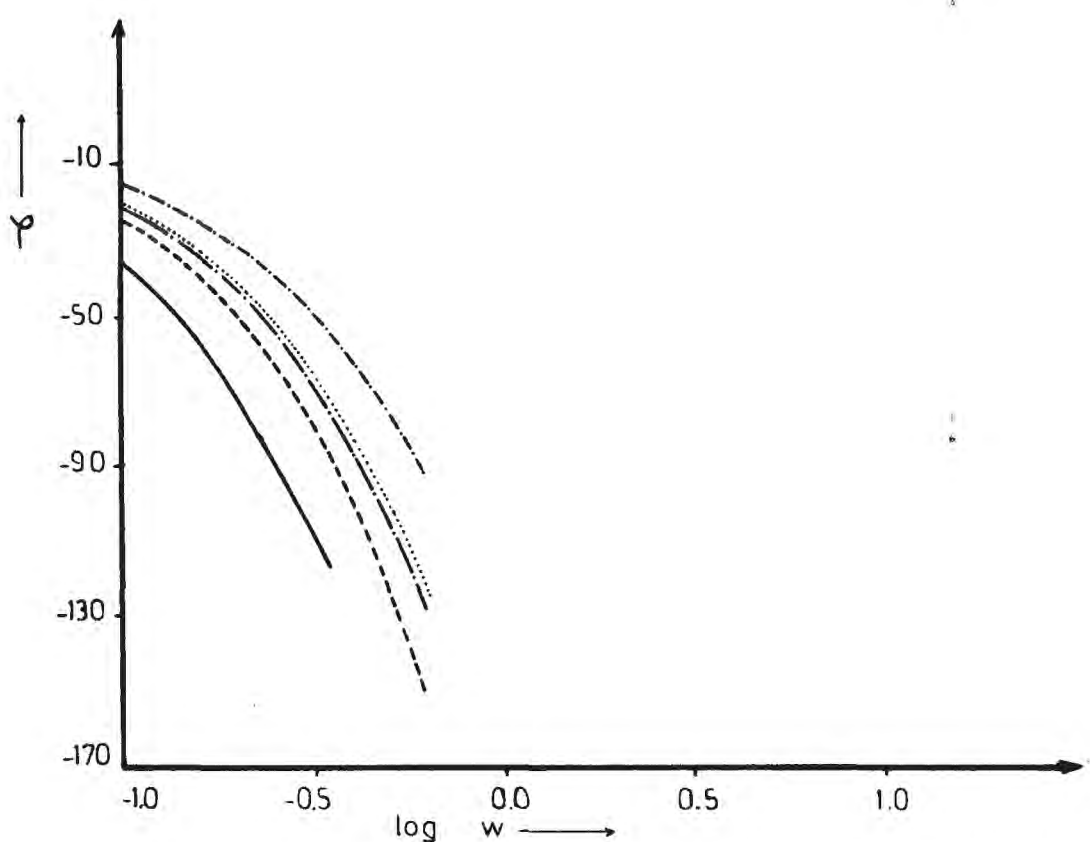
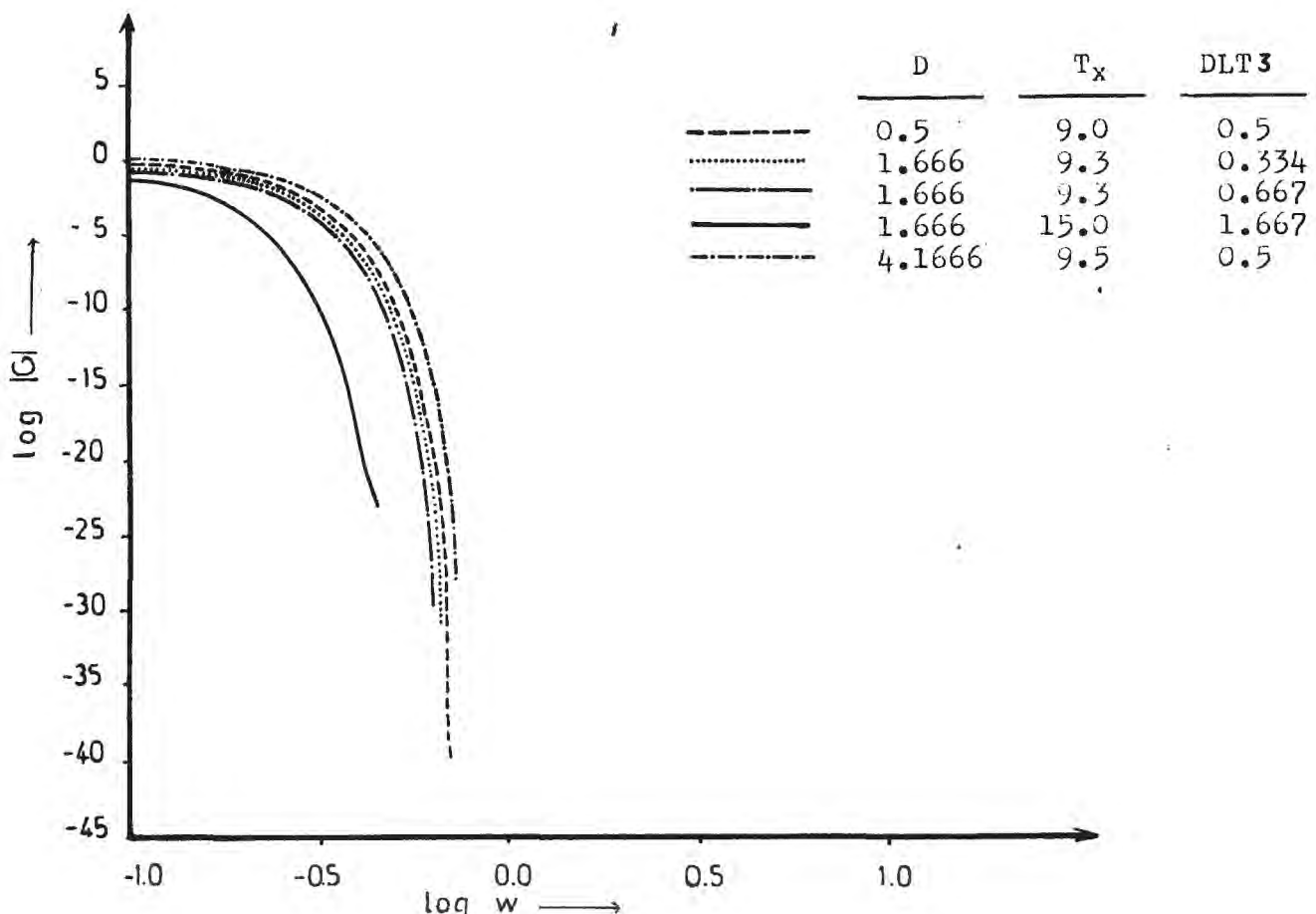
Şekil 4.42.: Besleme akış hızındaki pulse etkisinde, besinci tank çıkış sıcaklığı için Bode diyagramı  
 $(D=1.666\text{dak}, \text{DLT}1=0.185\text{dak}, \text{DLT}3=1.667\text{dak}, T_x=15.0\text{dak})$ .



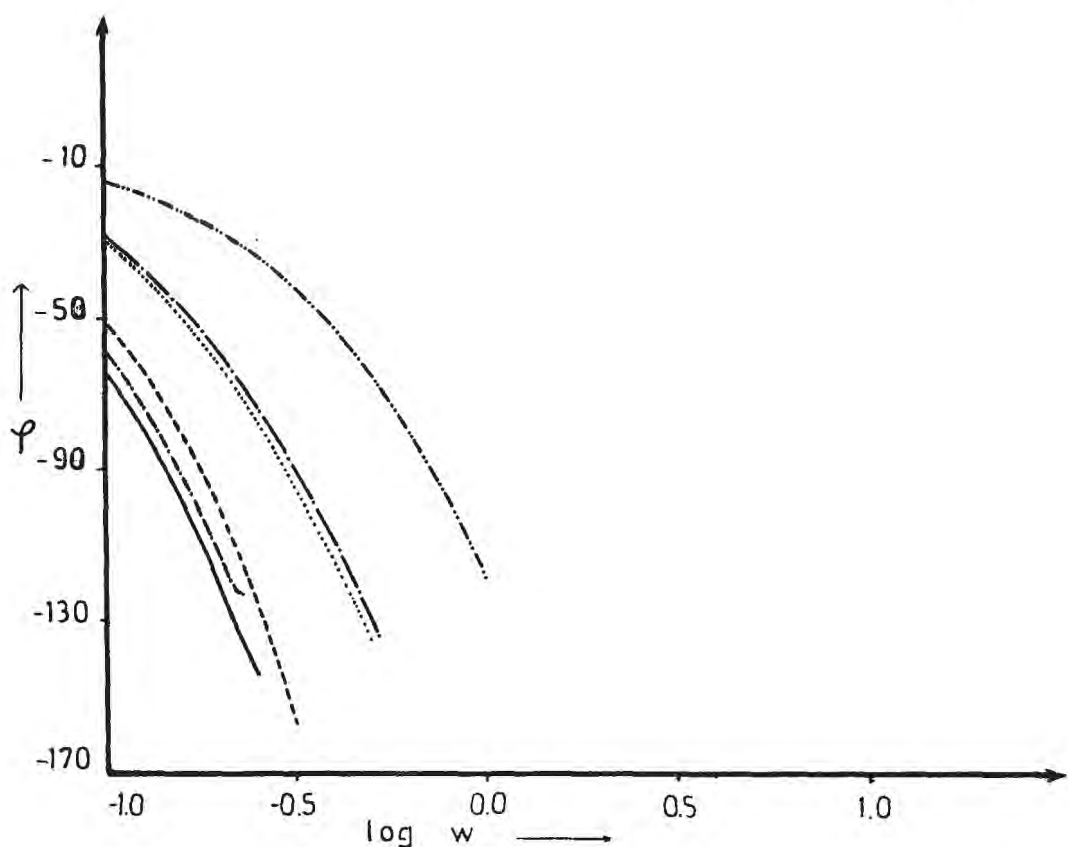
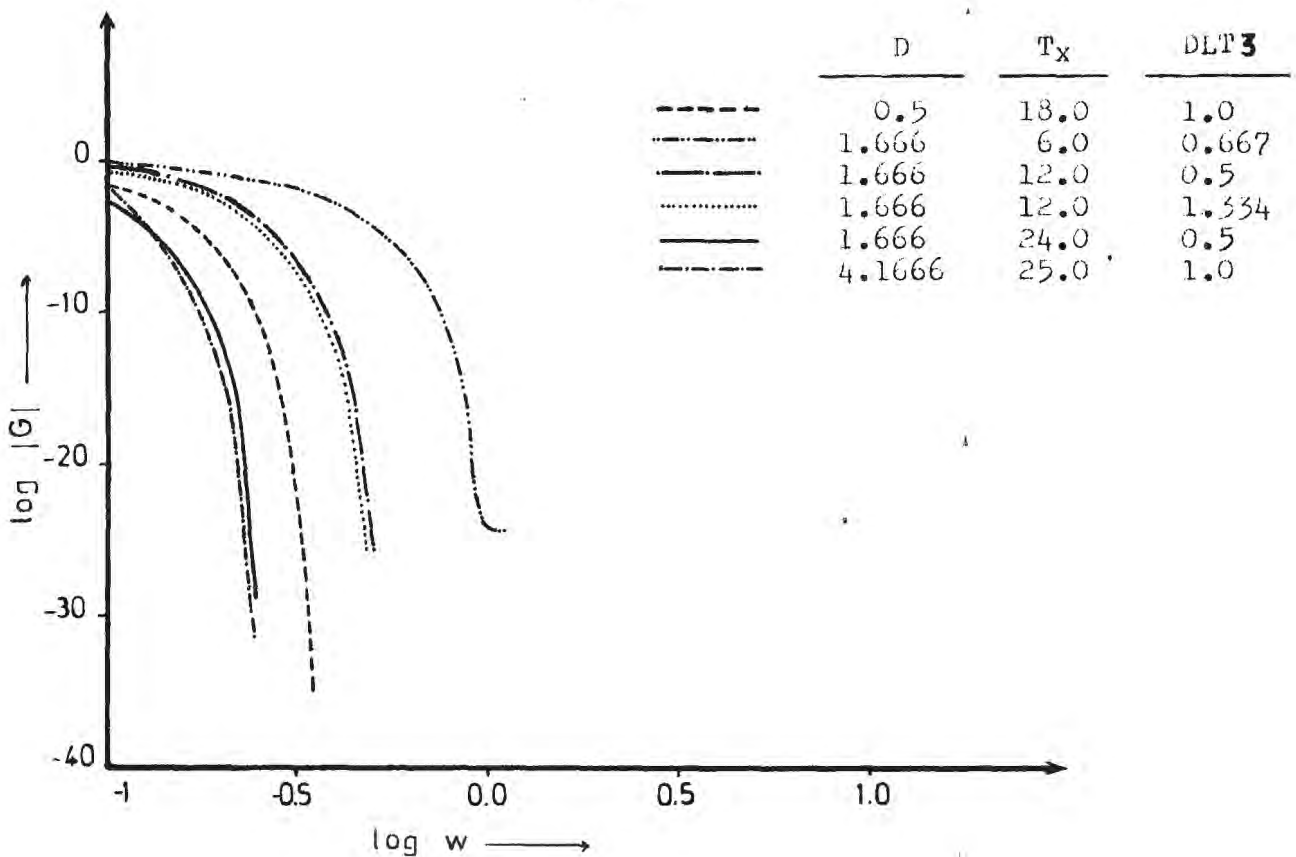
Şekil 4.4.3.: Besleme akış hızındaki pulse etkisinde, beşinci tank çıkış sıcaklığı için Bode Diyagramı  
 $(D=4.1666 \text{ dak}, DLT1=0.46296, DLT3=1.667 \text{ dak}, T_x=25 \text{ dak})$ .



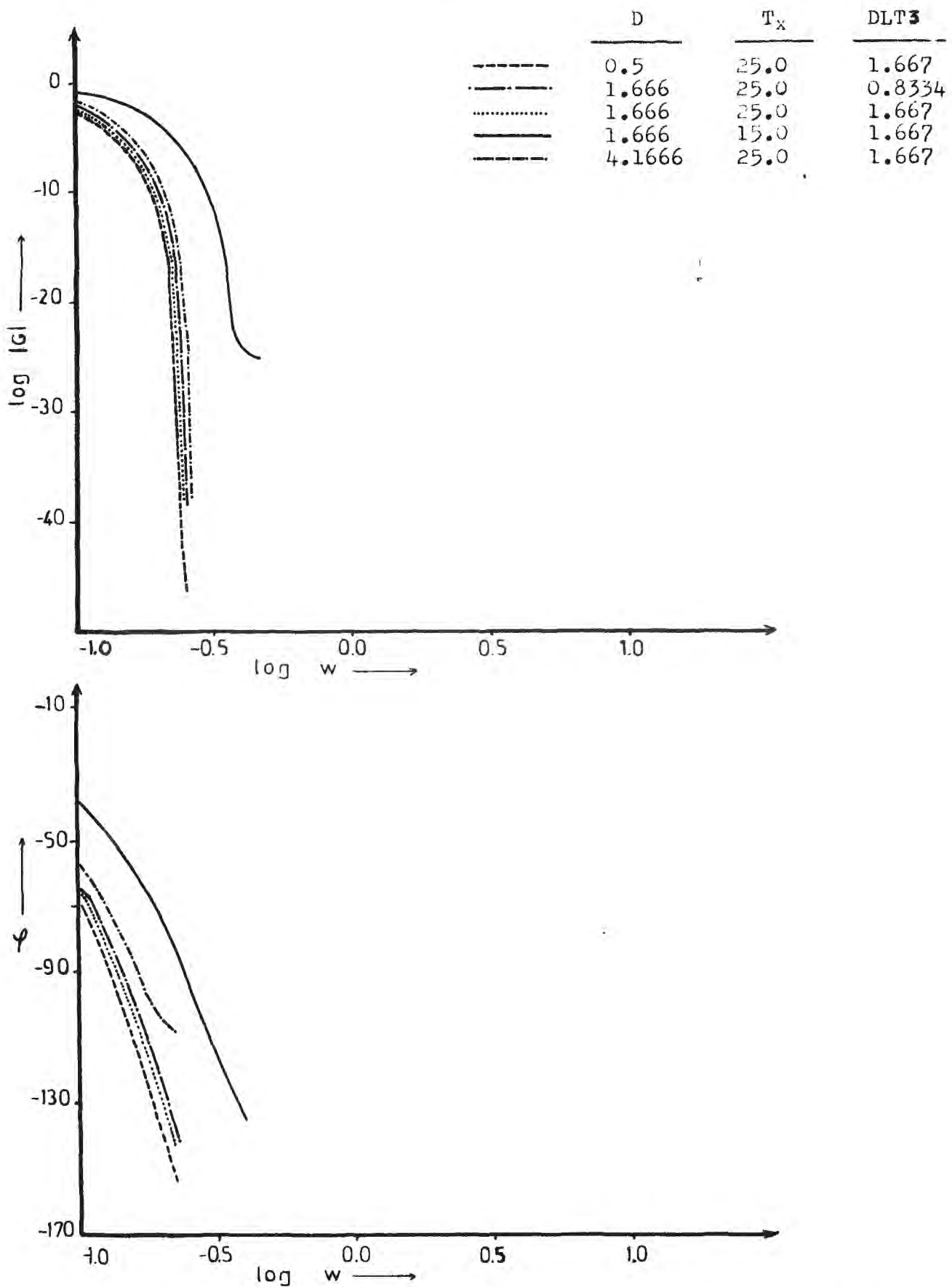
Şekil 4.44 :  $C_1$  derişimi için farklı kalma sürelerindeki pulse girişinin zaman aralığı  $T_X$  ve adım aralığı DLT3 'ün ilgili Bode diyagramlarına etkisi.



Şekil 4.45 :  $C_1$  derisimi için farklı kalma sürelerindeki pulse girişinin zaman aralığı  $T_x$  ve adım aralığı DLT 3 'ün ilgili Bode diyagramlarına etkisi.



Şekil 4.7.6 :  $T_1$  sıcaklığı için farklı kalma sürelerindeki pulse girişinin zaman aralığı  $T_x$  ve adım aralığı DLT3'ün Bode diyagramlarına etkisi.



Şekil 4.47 :  $T_5$  sıcaklığı için farklı kalma sürelerindeki pulse girişinin zaman aralığı  $T_X$  ve adım aralığı DLT3'ün ilgili Bode diyagramlarına etkisi.

## BÖLÜM 5

### TARTIŞMA ve SONUÇ

Bu araştırmadan elde edilen sonuçlar aşağıda gösterilmiştir.

1. Pulse değişimlerinin sistemler üzerindeki etkilerini inceleyebilmek için pulse büyüklüğü sistem yanıtım verebilecek şekilde büyük olmalıdır.
2. Beş tam karıştırmalı akım reaktörünün pulse etkisi altında çıkış değişkenlerinin zamana göre değişimlerinde birinci yatişkin hale tekrar gelişleri uzun bir süre almaktadır.
3. Hesaplanan Bode diyagramlarına integral adım aralıklarının fazlaca etkisi yoktur.
4. Pulse kalma süresinin Bode diyagramlarının şekline etkisi yoktur, ancak salınımları artırmaktadır.
5. Yatişkin hale gelme süresi  $T_x$  Bode diyagra - mında salınımların başladığı sıklık değerini etkilemektedir.

Bu sonuçların yardımıyla ileri çalışmalar için öneriler aşağıda gösterilmiştir.

1. Beş tam karıştırmalı akım reaktörlerine birim pulse etkisi verilebilir.
2. Benzer şekilde beş tam karıştırmalı akım tarihinin besleme akış hızına pseudo-random sinyal değişimi verilebilir.

**Ek 1. : Yatışkin-Hal denklemlerinin sayısal bilgisayar çözümü Fertran programı.**

```

LIST
SEND TO (SEMICOMPTILE)
LIBRARY(SUBGROUPSZF7)
WORK(WORKFILE)
DUMP ON(PROGRAM FORT)
RUN
PROGRAM(XXXX)
INPUT1=CR4
OUTPUT2=LP3
END

```

**BES TAM KAPISIYALI AKIM REAKTORUNUN  
YATISKIN-HAL DENKLEMELERININ SAYISAL  
BILGI SAYARDA COZUMLERI**

**SEMBOLLER:**

ACT0	:HESAPLANMIS FONKSIYON KISIMLARI
CONC	:HESAPLANMIS CIKIS DERTSTMT
DELT	:REAKSIYON ISI ISI
FK	:REAKSIYON HIZI SABITTININ BULUNDUSU
FLOWA	:BESLEME AKIS HIZI
FT	:CTKTS SICAKLIGININ BULUNDUSTURMA
FTD	:BIR DENKLEMİN TUREV ALINMIS HALI
HEATTN	:ACIGA CTKAN ISI
INTVAL	:ISTNTR DEGERLER ARASINDAKI FARK
I	:SOĞUTMA SUYU ARTIS HIZI
NTANK	:TANK SAYISI
RHOA	:BESLEME YOGUNLUKU
RHOB	:SOĞUTMA SUYU YOGUNLUKU
SPECLA	:BESLEME ISI KAPASITEST
SPECB	:SOĞUTMA SUYU ISI KAPASITESI
TACT	:SOĞUTMA SUYUDUN GİRTIS SICAKLIĞI
TAS	:VARSA YILAN CIKIS SICAKLTGT
TC	:BIRINCI KADENEYE GIREN SOĞUTMA
	:SUYU SICAKLTGT
TEMPA	:EN DUSUK SICAKLIK LIMITI
TEMPB	:EN YUKSEK SICAKLIK LIMITI
TGUESS	:TAHMİN EDİLEN SOĞUTMA SUYU CIKIS
	:SICAKLIĞI
TOUT	:HESAPLANMIS CIKIS SICAKLIĞI
U	:ISI TRANSFER KATSAYISI
X(I)	:BASLANGIC DEGERLERİ
VOL	:BIR TANKIN HACMI
WIDTH	:BIR TANKIN GENISLETGT
MASTER PPG	
DIMENSION R(16),A(?)	
COMMON X(40),U(40*40),TOUT,CONC,TC,I,TEMPA,TEMPB,TGUESS,TACT	
F(DUMMY)=EXP(56.49-(121.30.0/DUMMY))	
READ(1,10)VOL,FLOWA,DELT,RHOA,SPECLA	
10 FORMAT(DEF.0)	
READ(1,11)WIDTH,SPECB,REFL,U	
READ(1,12)TEMPA,TEMPB,TACT,TGUESS	

```

11 FORMAT(4F0.0)
  READ(1,12) NTANK
12 FORMAT(10)
  READ(1,13) (X(I),I=1,3)
13 FORMAT(3E0.0)
  WRITE(2,70)
70 FORMAT(36H CASCADING MODEL IN KARATELI HAL ANALIZI)
  WRITE(2,71)
71 FORMAT(//120(1H-)++)
R(1)=X(1)
R(2)=X(2)
DTENPA=TEENPA
DTENPB=TEENPB
DTGUFS=TGUFS
NTANK=NTANK+1
FLOWA=1
WRITE(2,80) FLOWA
80 FORMAT(//,17H MADDE AKTS HIZI=,F5.2,5X,9HLTRE/DAK)
FLOWA=FLOWA*100./6.
WRITE(2,71)
DO 15 L=4,20
U=0.0016353333*L+.0029
WRITE(2,95)L,U
95 FORMAT(24H SOGUTMA SUYU AKTS HIZI=,I2,5X,9HLTRE/DAK/,2X,
*3H U=,F7.4//)
FLOWB=FLOAT(L)*100./6.
WRITE(2,72)
72 FORMAT(3(6X,5HGIRIS,14X,5HCIKIS,7X))
WRITE(2,73)
73 FORMAT(2(3X,14HKONSANTR,SYONU,3X),2(8X,5HSADDI,6X),2(7X,
11HSOGUTMA SUYU))
WRITE(2,75)
75 FORMAT(2(4X,13HGM-MOL/LITRE +3X)+4(7X,8HDERECE C+5X))
A(1)=FLGM*RHOR*XSPECB
A(2)=RHOKAKFLOWA*XSPECB
A(3)=A(1)/A(2)
A(4)=VOL/FLOWA
A(5)=WIDTH*20.
A(6)=(U*A(5))/A(1)
A(7)=(VOL*DELH)/A(2)
A(8)=EXP(A(6))
N=1
K=0
C1=A(3)*(EXP(A(6))-1)
C2=12100.0*A(7)
25 TAS=300.
J=1
20 EK=E(TAS)
TC=TAS-(TAS-X(3))*A(8)
FT=-TAS+X(2)-C1*(TAS-X(3))-EK*A(7)*X(1)/(1.0+EK*VOL/FLOWA)
FDT=-1.-C1-C2*X(1)*EK/((TAS**2)*((1.+EK*VOL/FLOWA)**2))
TOUT=TAS-FT/FDT
IF(ARS(TOUT-TAS).LT..01) GOTO 21
TAS=TOUT
J=J+1
IF(J.GT.100) GOTO 22
GOTO 20

```

```

21 CONC=X(1)/(1+(E(TOUT)*A(4)))
CALL CONVERA
76 FORMAT(2(5X,F11.4,4X),4(6X,F7.3,7X))
N=N+1
X(1)=CONC
X(2)=TOUT
X(3)=TC
IF(N,LT,NTANK) GOTO 25
IF(CARS(TC-TACT),LT,.01) GO TO 100
CALL GOLDA
TGUESA=TGUESS-273.
X(1)=B(1)
X(2)=B(2)
Y(1)=TGUESS
K=K+1
N=1
TICK,LT,30) GOTO 25
WRITE(?,44)
44 FORMAT(24H ISTEREN DEGERE ULASMANI)
STOP
22 WRITE(2,45)
45 FORMAT(29H DAHA FAZLA İTERASYON GEREKLİ)
STOP
100 DO 140 IH=1,N-1
WRITE(2,70)(Q(IH,IK),IK=1,6)
140 CONTINUE
WRITE(2,77) TGUESA
77 FORMAT(//28H TAHMIN EDİLEN YENİ SICAKLIK,F9.3)
C TANKLARDA ACTGA ÇIKAN TSI MIKTARININ HESAPLANMASI
WRITE(?,110)
110 FORMAT(//,10X,8HTANK NO.,15X,15HACTGA ÇIKAN TSI,/)
DO 120 IH=1,N-1
HEATIN=L4(IH*4)+273.)*VOL*DELI*0.001*B(IH*2)*4.18
WRITE(?,130) IH,HEATIN
130 FORMAT(12X,12X2GX,F12.4)
120 CONTINUE
N=1
K=0
TEMPA=DTEMPA
TEMPB=DTEMPB
TGUESS=DTGUES
X(1)=B(1)
X(2)=B(2)
X(3)=TGUESS
WRITE(2,71)
15 CONTINUE
STOP
END
SUBROUTINE CONVERA
COMMON X(40),Q(40,40),T,UT,CONC,TC,N,TEMPA,TEMPB,TGUESS,TACT
Q(N,1)=X(1)*1000.
Q(N,2)=CONC*1000.
Q(N,3)=X(2)-273.
Q(N,4)=TOUT-273.
Q(N,5)=TC-273.
Q(N,6)=X(3)-273.
RLTURN
END

```

```
SUBROUTINE GOLDA
REAL INTVAL
COMMON X(40),U(40,400),TOUT,CONC,TC,U,TEMPA,TEMPB,TGUESS,TACT
IF(X(5).GT.TACT) GOTO 300
TEMPA=TGUESS
GOTO 301
200 TEMPB=TGUESS
201 INTVAL=TEMPB-TEMPA
TGUESS=TEMPA+(INTVAL/1.e16)
RETURN
END
```

**Ek 2. : Yatışkin-Olmayan-hal denklemlerinin sayısal bilgisayar çözümü Fortran programı.**

```

LIST
SEND TO (SEMICOMPILED)
LIBRARY(SUBGROUPS2F7)
WORK(WORKFILE)
DUMP ON(PROGRAM FORT)
RUN
PROGRAM(XXXX)
INPUT1=CR4
OUTPUT2=LP3
END

```

**BES TAM KARİSTİRMALI AKIM REAKTORUNUM  
YATIŞKIN OLMIYAN-HAL DENKLEMLERİNİN SAYISAL  
BİLGİ SAYARDA ÇÖZÜMLERİ**

**SEMİOLLER :**

ACID	:HESAPLANAN SİSTEMLERDEKİ KİSMİLER
AREA1	:REAKTOR ÜNİTESİ SİTE
AREA2	:İSİ TRANSFER YÜZEVİ
AREA3	:SOĞUTMA KANALI KESİTİ
DELI	:REAKSTYON İSİSİ
FLOWA	:BESLEME AKIS HİZI
FLOWR	:SOĞUTMA SUYU BESLEME AKIS HİZI
H	:İNTEGRASYON ZAMAN ARALIKSI
LENGTH	:BİR TANKIN UZUNLUĞU
NTANK	:TANK SAYISI
PRINT	:ZAMAN ARALIKSI
OCT	:HESAPLANAN SİSTEMLERDEKİ DEĞERLERİ ERTİ
RHOA	:BESLEME YOGUNLUĞU
RHOB	:SOĞUTMA SUYU YOGUNLUĞU
SPECIA	:BESLEME İSİ + APASITEST
SPECB	:SOĞUTMA SUYU İSİ KAPASİTESİ
TIME	:ZAMAN
U	:İSİ TRANSFER KATSAYISI
VOLA	:BİR TANKIN HACMI
WIDTH	:BİR TANKIN GENİŞLİĞİ
X0	:BASLANGIC DEĞERLERİ

```

MASTER PROG
REAL LENGTH,L,M
INTEGER PRINT,TIME
DIMENSION Q(20)
COMMON/BLOCK1/X(100)/BLOCK3/A(100)
READ(1,14) AREA3
14 FORMAT(F0.0)
READ(1,10) WIDTH,FLOWA,RHOA,LENGTH
READ(1,12) FLOWB,VOLA,DELI
10 FORMAT(4F0.0)
READ(1,11) NTANK,TIME
11 FORMAT(2I0)
N=18
READ(1,12) (X(I),I=1,N)
12 FORMAT(5F0.0)
READ(1,12)L,M,Q

```

```

READ(7,12) SPECB,SPECB,PHOB
WRITE(2,51)
51 FORMAT(1X,72HADDE AKIS HIZINA PULSE ETKTST VEREREK CASCADE MODEL
*AN ACIK DAT YAHITIRI,/)
FLOWA=?
FLOWA=FLOWA*100./6.
FLOWB=FLOWB*100./6.
AREA1=WIDTH*10.
AREA2=LENGTH*20.
A(1)=FLOWA/VOLA
A(2)=DELII/(RHOB*SPECB)
A(3)=(FLOWB*RHOB*SPECB)/(RHOB*VOLA*SPECB)
A(4)=(1*AKFA2)/(FLOWB*SPECB*RHOB)
A(4)=-A(4)
TIME=15.00.
J=0
35 WRITE(2,52)
52 FORMAT(44H KONSANTRASYON VE SICAKLIOTH ALDIKI DEGERLER,16.8H SANI
*YE)
WRITE(2,53)
53 FORMAT(//120(1H-)/)
WRITE(2,54)
54 FORMAT(3(8X,5HG1RIS,14X,5HC1KIS,7X))
WRITE(2,55)
55 FORMAT(2(3X,14HKONSANTRASYONU,4X),5X,5HADDE,14X,5HADDE,12X,12HSO
1GUTHA SUYU,7X,12HSOGUTMA SUYU)
WRITE(2,56)
56 FORMAT(1H ,45X,9HSTCAKLIGI,10X,9HSTCAKLIGI,13X,9HSTCAKLIGI,10X,9HS
1TCAKLIGI)
WRITE(2,57)
57 FORMAT(2(4X,12HGM-MOL/LITRE,5X),4X,,HDERECE C,11X,8HDERECE C,14X,8
1HDERECE C,11X,8HDERECE C)
WRITE(2,58)
DO 61 I=1,N-5,3
Q(1)=X(I)*1000.
Q(2)=X(I+5)*1000.
Q(3)=X(I+1)-273.
Q(4)=X(I+4)-273.
Q(5)=X(I+5)-273.
Q(6)=X(I+2)-273.
WRITE(2,60) Q(1),Q(2),Q(3),Q(4),Q(5),Q(6)
60 FORMAT(2(5X,F11.4,4X),4(6X,F7.3,7X))
61 CONTINUE
WRITE(2,53)
IF(J,LT,TIME) STOP
J=J+50
H=1.0
PRINT=10
J4=1
TF(J,GF,100) GO TO 15
GOTO 49
15 FLOWA=1.
FLOWA=FLOWA*100./6.
49 A(1)=FLOWA/VOLA
CALL RHOIN(N,RY)
CALL THETA(N)
TF(J4,FO,PRINT) GO TO 3.

```

```

J4=J4+1
GO TO 42
STOP
END
SUBROUTINE RUKH4(N,R)
REAL K
DIMENSION K(4,100),Y(10, )
COMMON/BLOCK1/X(100)/BLOCK2/FUN(100)
DO 100 I=1,N
100 Y(M)=K(1)
DO 101 I=1,4
CALL L045(N)
DO 102 J=4,I-2,3
K(I,J)=R*FUN(J)
K(I,J+1)=R*FUN(J+1)
GOTO(103,103,104,105) I
103 X(J)=Y(J)+K(I,J)/2.
X(J+1)=Y(J+1)+K(I,J+1)/2.
GOTO 102
104 X(J)=Y(J)+K(I,J)
X(J+1)=Y(J+1)+K(I,J+1)
GOTO 102
105 X(J)=Y(J)+(K(1,J)+2.*K(2,J)+2.*K(3,J)+K(4,J))/6.
X(J+1)=Y(J+1)+(K(1,J+1)+2.*K(2,J+1)+2.*K(3,J+1)+K(4,J+1))/6.
102 CONTINUE
101 CONTINUE
RETURN
END
SUBROUTINE EONS(N)
COMMON/BLOCK1/X(100)/BLOCK2/FUN(100)/BLOCK3/A(100)
E(DUMMY)=EXP(36.49-(121.0./DUMMY))
DO 400 J=4,N-2,3
FUN(J)=A(1)*X(J-3)-A(1)*X(J)+E(X(J+1))*X(J)
FUN(J+1)=A(1)*X(J-2)-A(1)*X(J+1)-A(2)*E(X(J+1))*X(J)-A(3)*(X(J-1)-
1*X(J+2))
400 CONTINUE
RETURN
END
SUBROUTINE THETA(N)
COMMON/BLOCK1/X(100)/BLOCK3/A(100)
TA=5
DO 53 I=2,N/3
X(N-IA)=X(N+2-TA)-((X(N+2-IA)-X(N+3-TA))*EXP(A(4)))
53 IA=IA+3
RETURN
END

```

**Ek 3. : Doğrusal Yaklaşım I yönteminin sayısal bilgisayar çözümü Fortran programı**

```

LIST
SEND TO (SEMICOMPILED)
LIBRARY(SUBGROUPSF7)
WORK(WORKFILE)
DUMP ON(PROGRAM FORT)
RUN
PROGRAM(XXXX)
INPUT5=CR4
OUTPUT6=LP3
END
MASTER PROG

```

```

C SEMBOLLER:
C NTN      : GİRİŞ PULSE VERİ NOKTA SAYISI
C NOUT     : ÇIKIS PULSENTİN VERİ NOKTA SAYISI
C W        : SIKLIK DEĞERİ
C W0       : İLK SIKLIK DEĞERİ
C WMAX     : SIKLIK SON DEĞERİ
C DW,WNUM : SIKLIK ARTIM FAKTORU
C TIN      : GİRİŞ PULSENTİN KALMA SURFESİ
C QIN      : GİRİŞ DEGISKENİNİN BÜYÜKLÜĞÜ
C TOUT     : ÇIKIS DEGISKENİNİN ADIM ARALIKLARINDA
C           ZAMAN DEĞERLERİ
C XOUT     : ÇIKIS DEGISKENİNİN ADIM ARALIKLARINDA
C           DEĞERLERİ
C GDENOM   : GİRİŞ PULSENTİN FOURIER DONUSUMU
C GNUM     : ÇIKIS PULSENTİN FOURIER DONUSUMU
C G         : İLETİM FONKSİYONU
C DP       : GENLİK ORANI
C DEG      : FAZ GECİKİMİ
C PULSE TEST PROGRAM
DIMENSION QIN(200),TIN(200),XOUT(200),TOUT(200)
COMPLEX GNUM,GDENOM,G1,G2,G3,G4,G5,G
READ(5,1)NIN,NOUT,W0,WMAX,WNUM
1 FORMAT(2I5,3F6.2)
IF(NIN.EQ.0) GO TO 22
READ(5,13) (TIN(I),I=1,10)
READ(5,13) (QIN(I),I=1,10)
13 FORMAT(10FO.0)
WRITE(6,3) NIN,NOUT,W0,WMAX,WNUM
3 FORMAT(4X,37HNIN    NOUT    W0      WMAX      WNUM,/,2X,2(15,3X),
* (F6.2,3X))
WRITE(6,10)
10 FORMAT(4X,3HTIN,10X,3HQIN)
WRITE(6,17) TIN(1),QIN(1)
17 FORMAT(2(4X,F9.6))
READ(5,14) (TOUT(K),K=1,10)
READ(5,14) (XOUT(K),K=1,10)
14 FORMAT(10FD.0)
WRITE(6,11)
11 FORMAT(5X,4HTOUT,9X,4UXOUT)
WRITE(6,15) ((TOUT(K),XOUT(K)),K=1,10)
15 FORMAT(2(4X,F9.6))
DW=10.**(.1./WNUM)
W=0..

```

```

100 IF(W.GT.10.000)W=10.0
     IF(NIN.GT.1) GO TO 30
C     DIKBORTGEN PULSE GIRISI ICIN HESAPLAMA
     IF(W.EQ.0) GO TO 25
     G1=CMPLX(0.,W)
     G2=CMPLX(0.,-W*TIN(1))
     GRENOM=QIN(1)*(1.-CEXP(G2))/G1
     GO TO 50
C     SIFIR SIKLIGI ICIN
- 25 GRENOM=CMPLX(QIN(1)*TIN(1),0.)
     GO TO 50
C     RASTGFLE PULSE GIRISI ICIN HESAPLAMA
30 IF(W.EQ.0.) GO TO 40
     G1=CMPLX(0.,W)
     G2=CMPLX(0.,-W*TIN(1))
     GRENOM=QIN(1)*((CEXP(G2)-1.)/(TIN(1)*W**2)-CEXP(G2))/G1
     DO 35 N=2,NIN
     DELTA=TIN(N)-TIN(N-1)
     G2=CMPLX(0.,-W*DELTA)
     G3=CMPLX(0.,-W*TIN(N-1))
     G4=CEXP(G2)
     G5=(G4-1.)/(DELTA*W**2)
     GRENOM=GRENOM+CEXP(G3)*(QIN(N)*(G5-G4/G1)-QIN(N-1)*(G5-1./G1))
35 CONTINUE
     GO TO 50
40 AREA=QIN(1)*TIN(1)/2.
     DO 41 N=2,NIN
     DELTA=TIN(N)-TIN(N-1)
41 AREA=AREA+(QIN(N)+QIN(N-1))*DELTA/2.
     GRENOM=CMPLX(AREA,0.)
C     RASTGFLE CIKIS REGISKENT ICIN HESAPLAMA
50 IF(W.EQ.0.) GO TO 60
     G2=CMPLX(0.,-W*TOUT(1))
     GNUM=XOUT(1)*((CEXP(G2)-1.)/(TOUT(1)*W**2)-CEXP(G2))/G1
     DO 55 N=2,NOUT
     DELTA=TOUT(N)-TOUT(N-1)
     G2=CMPLX(0.,-W*DELTA)
     G3=CMPLX(0.,-W*TOUT(N-1))
     G4=CEXP(G2)
     G5=(G4-1.)/(DELTA*W**2)
     GNUM=GNUM+CEXP(G3)*(XOUT(N)*(G5-G4/G1)-XOUT(N-1)*(G5-1./G1))
55 CONTINUE
     GO TO 70
60 AREA=XOUT(1)*TOUT(1)/2.
     DO 61 N=2,NOUT
     DELTA=TOUT(N)-TOUT(N-1)
61 AREA=AREA+(XOUT(N)+XOUT(N-1))*DELTA/2.
     GNUM=CMPLX(AREA,0.)
C     ILETIM FONKSIYONUNU HESAPLAMA
70 G=GNUM/GDENOM
     IF(W.EQ.0.) GO TO 90
     DR=20.*ALOG10(CABS(G)/ABS(GAIN))
     DEG=ATAN(AIMAG(G)/REAL(G))*180./3.1416
     IF((REAL(G)/GAIN).LT.0) DEG=DEG-180.
     AI=AIMAG(G)
     RF=REAL(G)
     WRITE(6,75) W,RE,AI,DR,DEG

```

```

75 FORMAT(2X,F10.3,2F10.5,2F10.2)
IF(W,GT,10.) GO TO 22
W=W*DU
GO TO 100
90 GAIN=REAL(G)
WRITE(6,91) GAIN
91 FORMAT(1H1,17HSTEADYSTATE GAIN=,F10.3)
WRITE(6,92)
92 FORMAT(1X,9HFREQUENCY,4X,4HREAL,4X,2HIMAGINARY,2X,3HLOG,1X,7HMODUL
*US,3X,SHANGLE)
WRITE(6,93)
93 FORMAT(1X,14H(RADIANS/TIME),25X,4H(DB),5X,9H(DEGREES))
W=WO
GO TO 100
22 STOP
END

```

MIN	NOUT	WO	WMAX	WNUM
1	19	0.10	10.00	20.00
TIM	QTN			
1.666000	1.000000			
TOUT	XOUT			
0.001660	0.192000			
0.166600	0.206500			
0.333300	0.218000			
0.500000	0.227200			
0.666600	0.234400			
0.833300	0.239800			
1.000000	0.243700			
1.166600	0.246500			
1.333300	0.249300			
1.500000	0.242300			
1.666600	0.237700			
1.833300	0.227600			
2.000000	0.218800			
2.166600	0.211400			
2.333300	0.205000			
2.500000	0.199600			
2.666600	0.195000			
2.833300	0.191200			
3.000000	0.188000			

STEADYSTATE GAIN =	0.300				
FREQUENCY (RADIANSTIME)	REAL	IMAGINARY	LOG MODULUS (DB)	ANGLE (DEGREES)	
0.100	0.39753	-0.02514	-0.02	-3.62	
0.112	0.39688	-0.02818	-0.03	-4.06	
0.126	0.39632	-0.03159	-0.03	-4.56	
0.141	0.39561	-0.03540	-0.04	-5.11	
0.158	0.39473	-0.03965	-0.05	-5.74	
0.178	0.39361	-0.04440	-0.06	-6.44	
0.200	0.39221	-0.04969	-0.08	-7.22	
0.224	0.39045	-0.05557	-0.10	-8.10	
0.251	0.38824	-0.06210	-0.13	-9.09	
0.282	0.38547	-0.06932	-0.16	-10.19	
0.316	0.38200	-0.07728	-0.21	-11.44	
0.355	0.37767	-0.08670	-0.26	-12.83	
0.398	0.37227	-0.09550	-0.33	-14.39	
0.447	0.36554	-0.10576	-0.41	-16.14	
0.501	0.35719	-0.11670	-0.52	-18.09	
0.562	0.34686	-0.12821	-0.66	-20.29	
0.631	0.33416	-0.14004	-0.84	-22.74	
0.708	0.31863	-0.15133	-1.07	-25.48	
0.794	0.29979	-0.16303	-1.36	-28.54	
0.891	0.27719	-0.17283	-1.74	-31.94	
1.000	0.25044	-0.18012	-2.24	-35.72	
1.122	0.21938	-0.18340	-2.90	-39.90	
1.259	0.18422	-0.18074	-3.79	-44.45	
1.413	0.14584	-0.16974	-5.02	-49.35	
1.585	0.10617	-0.14766	-6.83	-54.28	
1.778	0.06863	-0.11166	-9.67	-58.42	
1.995	0.03874	-0.05934	-15.01	-56.86	
2.239	0.02456	0.01078	-23.50	22.92	
2.512	0.01722	0.00626	-11.75	68.86	
2.818	0.009224	0.19481	-5.35	64.66	
3.162	0.002024	0.30841	-0.45	54.47	
3.548	0.63511	0.56470	6.56	41.62	
3.981	-0.31830	-0.17050	-0.87	-151.82	
4.467	0.17708	0.01072	-9.25	4.47	
5.012	0.20923	-0.05156	-5.35	-13.84	
5.623	0.13994	-0.10000	-7.28	-35.79	
6.310	0.00924	-0.00538	-31.44	-30.20	
7.079	-0.02410	0.44833	1.02	86.92	
7.943	-0.20101	-0.29453	-0.98	-124.31	
8.913	0.14356	0.04454	-8.48	17.24	
10.000	0.13781	-0.05714	-8.55	-27.52	

**Ek 4. : Doğrusal Yaklaşım II yönteminin sayısal bilgisayar çözümü Fortran programı**

Son üç programda kullanılan tüm semboller bu ekde gösterilmüştür.

```

LIST
SEND TO (SEMICOMPTLED)
LIBRARY(SUBGROUPS?F7)
WGRK(WORKFILE)
DUMP ON(PROGRAM FORT)
RUN
PROGRAM(XXXX)
INPUT5=CR4
OUTPUT6=LP3
END
MASTER PROG
SEMROLLER:
NIN      :GIRIS PULSE VERI NOKTA SAYISI
NOUT     :CIKIS PULSENIN VERI NOKTA SAYISI
W        :SIKLIK DEGERI
WO       :ILK SIKLIK DEGERI
WMAX     :SIKLIK SON DEGERI
DW,WNIM  :SIKLIK ARTIM FAKTORU
X        :GIRIS DEGISKENININ BUYUKLUĞU
Y        :CIKIS DEGISKENININ ADIM ARALIKLARINDAKI
          DEGERLERI
DLT1=DLT2 :GIRIS PULSENIN INTEGRAL ADIM ARALIGI
DLT3=DLT4 :CIKIS DEGISKENININ INTEGRAL ADIM ARALIGI
N2       :GIRIS PULSENIN VERI NOKTA SAYISI
N4       :CIKIS DEGISKENININ VERI NOKTA SAYISI
TIN      :GIRIS PULSENIN ADIM ARALIKLARINDA ZAMAN
          DEGERLERI
TOUT     :CIKIS DEGISKENININ ADIM ARALIKLARINDA
          ZAMAN DEGERLERI
GENOM    :GIRIS PULSENIN FOURIER DONUSUMU
GNUM     :CIKIS PULSENIN FOURIER DONUSUMU
G        :ILETIM FONKSİYONU
DP       :GENLIK ORANI
DEG      :FAZ GECIKMİ
PULSE TEST PROGRAM
LINEAR YAKLASIM II
DIMENSION TIN(200),TOUT(200),X(200),Y(200)
COMPLEX G,G1,G2,G11,G12,FJW,FJ,SUM,SU,GD,GN
INTEGER RI,RL
READ INPUT AND OUTPUT DATA
READ(5,1)NIN,NOUT,WO,WMAX,WNIM
1 FORMAT(2I5,3F6.2)
IF(NIN,FO,0) GO TO 22
READ(5,13) (X(I),I=1,10)
13 FORMAT(10F0.0)
READ(5,14) (Y(K),K=1,19)
14 FORMAT(19F0.0)
DLT1=0.1851
DLT2=0.1851
N1=1

```

```

N2=10
DLT3=0.1667
DLT4=0.1667
N3=1
N4=19
RT=1.
RL=1.
DW=10,**(1./WNUM)
W=0.
WRITE(6,3) HIN,NOUT,W0,UMAX,WNUM
3 FORMAT(4X,37HIN      NOUT      W0      UMAX      WNUM,/,2X,2(15,X),3
*(F6.2,3X))
TIN(1)=0.
DO 6 N=2,N2
6 TIN(N)=TIN(N-1)+0.1851
WRITE(6,10)
10 FORMAT(4X,3HTIN,10X,3HQ+N)
WRITE(6,17) TIN(10),X(10)
17 FORMAT(?(4X,F9.6))
TOUT(1)=0.
DO 5 N=2,NOUT
5 TOUT(N)=TOUT(N-1)+0.1667
WRITE(6,11)
11 FORMAT(5X,4HTOUT,9X,4HXOUT)
WRITE(6,15) ((TOUT(K)*Y(K)),K=1,10)
15 FORMAT(?(4X,F9.6))
100 IF(W.GT.10.000) W=10.0
GD=CMPLX(0.,0.)
SUM=CMPLX(0.,0.)
IF(W.EQ.0) GO TO 50
C INTEGRAL ADIM ARALEGIGI GTRTS PULSE ICITH SABITTIR
IF(DLT1.EQ.DLT2) GO TO 12
J=1
C INTEGRAL ADIM ARALEGIMIN DEGISIMI
18 GO TO (19,12)*J
19 MI=1
MF=N1
DLT=DLT1
GO TO 74
12 J=2
MI=N1
MF=N2
DLT=DLT2
C FOURIER DONUSUMUNU HESAPLA
76 LRI=R1
DO 30 I=MI,MF+RI
G1=CMPLX(0.,-W*(I-1)*P,1851)
G2=CEXP(G1)
IF(I.EQ.MI.OR.I.EQ.MF) GO TO 24
FJW=X(I)*G2
GO TO 26
24 FJW=0.5*X(I)*G2
26 SUM=SUM+FJW*DLT
30 CONTINUE
GO TO(41,42)*J
41 GD=GD+SUM
SUM=CMPLX(0.,0.)

```

```

J=2
GO TO 18
42 GO=G0+SIH
IF(W.GE.0.1) GO TO 83
C SIFIR ARALIGI ICIN
50 AREA=0.
IF(DLT1.EQ.DLT2) GO TO 62
J=1
60 GO TO(61,62),J
61 M1=1
MF=N1
DLT=DLT1
GO TO 65
62 J=2
M1=N1
MF=N2
DLT=DLT2
65 LRI=R1
DO 78 I=M1,MF,R1
IF(I.EQ.M1.OR.I.EQ.MF) GO TO 79
AREA=AREA+X(I)*DLT
GO TO 78
79 AREA=AREA+0.5*X(I)*DLT
78 CONTINUE
GO TO(81,82),J
81 GN=G0+CMPLX(AREA,0.)
AREA=0.
J=2
GO TO 60
82 GR=G0+CMPLX(AREA,0.)
83 GM=CMPLX(0.,0.)
SU=CMPLX(0.,0.)
IF(W.EQ.0) GO TO 111
C INTEGRAL ADM ARALIGI GTRIS PULSE ICIN SARITTIR
IF(DLT3.EQ.DLT4) GO TO 105
L#1
C INTEGRAL ADM ARALIGININ DEGISIMI
102 GO TO(103,105),L
103 MM=1
MS=N3
DLTS=DLT3
GO TO 104
105 L=2
MN=N3
MS=N4
DLTS=DLT4
C FOURIER DONUSUMUNU HESAPLA
104 RL=RL
DO 40 K=MM,MS,RL
G11=CMPLX(0.,-W*(K-1)*0.1667)
G12=CFXP(G11)
IF(K.EQ.MM.OR.K.EQ.MS) GO TO 105
FJ=Y(K)*G12
GO TO 108
106 FJ=0.5*Y(K)*G12
108 SU=SU+FJ*DLTS
40 CONTINUE

```

```

      GO TO(109,110),L
109 GN=GN+SU
      SU=CMPLX(0.,0.)
      L=2
      GO TO 102
110 GN=GN+SU
      IF(W.EQ.0.1) GO TO 86
C      STFIR SIKI ICIH
111 AR=0.
      IF(DLT3.EQ.DLT4) GO TO 112
      L=1
113 GO TO(114,112),L
114 MN=1
      MS=N3
      DLTS=DLT3
      GO TO 115
112 L=2
      MN=N3
      MS=N4
      DLTS=DLT4
115 LPL=RL
      DO 116 K=MN,MS,RL
      IF(K.EQ.MN.OR.K.EQ.MS) GO TO 117
      AR=AR+Y(K)*DLTS
      GO TO 116
117 AR=AR+0.5*Y(K)*DLTS
116 CONTINUE
      GO TO(118,119),L
118 GN=GN+CMPLX(AR,0.)
      AR=0.
      L=2
      GO TO 113
119 GN=GN+CMPLX(AR,0.)
86 G=GN/GD
      IF(W.EQ.0.) GO TO 90
      DR=20.* ALOG10(CABS(G)/ANS(GAIN))
      DEG=ATAN(AIMAG(G)/REAL(G))*180./3.1416
      IF((REAL(G)/GAIN).LT.0) DEG=DEG-180.
      AT=AIMAG(G)
      RF=REAL(G)
      WRITE(6,75) W,RF,AI,DR,NEG
75 FORMAT(2X,F10.3,2F10.5,2F10.2)
      IF(W.EQ.10.) GO TO 22
      W=W*DU
      GO TO 100
90 GAIN=REAL(G)
      WRITE(6,91) GAIN
91 FORMAT(1H1,17HSTEADYSTATE GAIN=,F10.3),
      WRITE(6,92)
92 FORMAT(1X,9HFREQUENCY,4X,4HREAL,4X,0HIMAGINARY,2X,3HLOG,1X,7HMODUL
      *US,3X,SHANGLE)
      WRITE(6,93)
93 FORMAT(1X,14H(RADTAN(S/TIME)),25X,4H(FB),5X,9H(DEGREES))
      W=WD
      GO TO 100
22 STOP
      END

```

NIN	NOUT	W0	WMAX	WHOM
<b>10</b>	<b>19</b>	<b>0.10</b>	<b>10.00</b>	<b>20.00</b>
TIN	QIN			
1.665900	1.000000			
TOUT	XOUT			
0.900000	0.192000			
0.166700	0.206500			
0.333400	0.218000			
0.500100	0.227200			
0.666800	0.234400			
0.833500	0.232800			
1.000200	0.243700			
1.166900	0.246500			
1.333600	0.248300			
1.500300	0.249300			
1.667000	0.237700			
1.833700	0.227600			
2.000400	0.218800			
2.167100	0.211400			
2.333800	0.205000			
2.500500	0.199600			
2.667200	0.195000			
2.833900	0.191200			
3.000600	0.188000			

FREQUENCY (RADIAN/TIME)	REAL	IMAGINARY	LOG MODULUS (DB)	ANGLE (DEGREES)
0.100	0.39754	-0.02515	-0.02	-3.62
0.112	0.32709	-0.02819	-0.03	-4.06
0.126	0.30653	-0.02710	-0.03	-4.56
0.141	0.30583	-0.03541	-0.04	-5.11
0.158	0.30494	-0.03967	-0.05	-5.74
0.178	0.30382	-0.04442	-0.06	-6.44
0.200	0.30242	-0.04971	-0.08	-7.22
0.224	0.30067	-0.05560	-0.10	-8.10
0.251	0.30846	-0.06213	-0.13	-9.09
0.282	0.30570	-0.06935	-0.16	-10.19
0.316	0.30224	-0.07771	-0.20	-11.43
0.355	0.30791	-0.08604	-0.26	-12.83
0.408	0.30252	-0.09555	-0.33	-14.39
0.447	0.306580	-0.10582	-0.41	-16.13
0.501	0.30746	-0.11678	-0.52	-18.09
0.562	0.304715	-0.12829	-0.66	-20.28
0.631	0.303446	-0.14014	-0.84	-22.73
0.708	0.301895	-0.15105	-1.06	-25.47
0.794	0.300114	-0.16317	-1.35	-28.53
0.891	0.27756	-0.17300	-1.73	-31.93
1.000	0.25085	-0.18073	-2.23	-35.71
1.122	0.21982	-0.18366	-2.88	-39.88
1.259	0.18469	-0.18105	-3.77	-44.43
1.413	0.14634	-0.17011	-5.01	-49.30
1.585	0.10668	-0.14808	-6.80	-54.23
1.778	0.06917	-0.11212	-7.63	-58.33
1.995	0.03930	-0.05981	-14.93	-56.69
2.239	0.02518	0.00997	-23.37	21.60
2.512	0.01798	0.00600	-11.75	69.42
2.818	0.00334	0.12481	-5.34	64.40
3.162	0.22219	0.30892	-0.42	54.27
3.548	0.63987	0.56520	6.60	41.45
3.981	-0.32067	-0.17127	-0.81	-151.89
4.467	0.13962	0.01023	-9.10	4.19
5.012	0.21336	-0.05341	-5.18	-14.05
5.623	0.14385	-0.10429	-7.03	-35.94
6.310	0.01135	-0.00755	-29.33	-33.64
7.079	0.02911	0.45848	1.21	86.36
7.943	-0.21166	-0.30520	-0.63	-124.74
8.913	0.15421	0.04606	-7.89	16.63
10.000	0.15442	-0.06543	-7.53	-22.96

**Ek 5. : Trapezoidal yaklaşım yönteminin sayısal bilgisayar çözümü Fortran programı**

```
LIST
SFNP TO (SEMICOMPILED)
LIBRARY(SUBGROUPS?F7)
WORK(WORKFILE)
DUMP ON(PROGRAM FORT)
RUN
PROGRAM(XXXX)
INPUT5=CR4
OUTPUT6=LP3
END

MASTER PROG
PULSE TEST PROGRAM
TRAPEZOIDAL YAKLASIM
DIMENSION TIN(200),TOUT(200),X(200),Y(200)
COMPLEX G,G1,G2,G11,G12,FJW,FJ,SUM,SU,PU,PN,GD,GN
INTEGER RI,RL
READ INPUT AND OUTPUT DATA
READ(5,1)NIN,NOUT,W0,UMAX,WNUM
1 FORMAT(2I5,3F6.2)
IF(MIN,F0.0) GO TO 22
READ(5,13) (X(I),I=1,10)
13 FORMAT(10F0.0)
READ(5,14) (Y(K),K=1,19)
14 FORMAT(19F0.0)
DLT1=0.1851
DLT2=0.1851
N1=1
N2=10
DLT3=0.1667
DLT4=0.1667
N3=1
N4=19
RI=1.
RL=1.
DW=10.**(1./WNUM)
W=0.
WRITE(6,3) NIN,NOUT,W0,UMAX,WNUM
3 FORMAT(4X,3HNNIN      NCUT      W0      UMAX      WNUM,/,2X,2(15,3X),3
*(F6.2,3X))
TIN(1)=0.
DO 6 N=2,N2
6 TIN(N)=TIN(N-1)+0.1851
WRITE(6,10)
10 FORMAT(4X,3HTIN,10X,3HQIN)
WRITE(6,17) TIN(10),X(10)
17 FORMAT(2(4X,F9.6))
TOUT(1)=0.
DO 5 N=2,NOUT
5 TOUT(N)=TOUT(N-1)+0.1667
WRITE(6,11)
11 FORMAT(5X,4HTOUT,9X,4HXPUT)
WRITE(6,15) ((TOUT(K),Y(K)),K=1,19)
15 FORMAT(2(4X,F9.6))
100 IF(U.GT.10.000) W=10.0
GD=CMPLX(0.,0.)
```

```

SUM=CMPLX(0.,0.)
IF(W.EQ.0) GO TO 50
C INTEGRAL ADM APALIGI GTRIS PULSE ICIN SARITTIR
IF(DLT1.EQ.DLT2) GO TO 12
J=1
C INTEGRAL ADM APALIGININ DEGISIMI
18 GO TO (19,12)*J
19 MI=1
MF=N1
DLT=DLT1
GO TO 76
12 J=2
MI=N1
MF=N2
DLT=DLT2
C FOURIER DONUSUMUNU HESAPLA
76 LPI=RI
DO 30 I=MI,PF,RI
G1=CMPLY(0.,-W*(I-1)*0.1851)
G2=CEXP(G1)
IF(I,FQ,MI,OR,I,EQ,ME) GO TO 24
FJW=X(I)*G2
GO TO 26
24 FJW=0.5*X(I)*G2
26 SUM=SUM+FJW*DLT
30 CONTINUE
GO TO (41,42)*J
41 GD=GD+SUM
SUM=CMPLX(0.,0.)
J=2
GO TO 18
42 GD=GD+SUM
IF(W.GE.0.1) GO TO 83
C STFIR STKELIGI ICIN
50 AREA=0.
IF(DLT1.EQ.DLT2) GO TO 62
J=1
60 GO TO (61,62)*J
61 MI=1
MF=N1
DLT=DLT1
GO TO 65
62 J=2
MI=N1
MF=N2
DLT=DLT2
65 LPI=RI
DO 78 I=MI,PF,RI
IF(I,FQ,MI,OR,I,EQ,ME) GO TO 79
AREA=AREA+X(I)*DLT
GO TO 78
79 AREA=AREA+0.5*X(I)*DLT
78 CONTINUE
GO TO (81,82)*J
81 GD=GD+CMPLX(AREA,0.)
AREA=0.
J=2

```

```

      GO TO 60
82 GN=GD+CMPLX(AREAX,0.)
83 GP=CMPLX(0.,0.)
SU=CMPLX(0.,0.)
IF(W,FQ,0) GO TO 111
C INTEGRAL ADIM ARAI IGI CIKIS PULSE ICIN SADITTIR,
IF(DLT3,ED,DLT4) GO TO 105
L=1
C INTEGRAL ADIM ARAI IGININ DECISIMI
102 GO TO(103,105)*L
103 MH=1
MS=M3
DLTS=DLT3
GO TO 104
105 L=2
MN=M3
MR=M4
DLTS=DLT4
C FOURIER DONUSUMUNU RESAPLA
104 LPL=RL
G3=W*DLTS
G4=G3/2.
G5=COS(G3)
G6=SIN(G3)
G7=SIN(G4)
G8=(1.-G5)/G3**2
G9=(G3-G6)/G3**2
P0=CMPLX((G8,-G9))
PN=CMPLX((G8,G9))
DO 40 K=MM,M$+RL
G11=CMPLX(0.,-W*(Y-1)*0.1667)
G12=CEXP(G11)
IF(K,FQ,MN) GO TO 106
IF(K,FQ,MS) GO TO 107
FJ=Y(Y)*G12*(G7/G4)**2
GO TO 108
106 FJ=Y(Y)*G12*P0
GO TO 108
107 FJ=Y(Y)*G12*PN
108 SU=SU+FJ*PLTS
40 CONTINUE
GO TO (109,110)*L
109 GM=GN+SU
SU=CMPLX(0.,0.)
L=2
GO TO 102
110 GM=GN+SU
IF(W,GE,0.1) GO TO 86
C STIFIR STKI IGI ICIN
111 AR=0.
IF(DLT3,ED,DLT4) GO TO 112
L=1
113 GO TO (114,112)*L
114 MH=1
MS=M3
DLTS=DLT3
GO TO 115

```

```

112 L=2
MN=N3
MS=N4
DLTS=PLT4
115 LRL=RI
DO 116 K=MN,MS,RL
IF(K.EQ.MN,OR.K.EQ.MS) GO TO 117
AR=AR+Y(K)*DLTS
GO TO 116
117 AP=AR+0.5*Y(K)*DLTS
116 CONTINUE
GO TO (118,119),L
118 GN=GN+CMPLX(AR,0.)
AR=0.
L=2
GO TO 113
119 GN=GN+CMPLX(AR,0.)
86 G=GN/GD
IF(W.EQ.0.) GO TO 90
DB=20.* ALOG10(CABS(G)/ABS(GAIN))
DEG=ATAN(AIMAG(G)/REAL(G))*180./3.1416
IF((REAL(G)/GAIN).LT.0) DEG=DEG-180.
AI=AIMAG(G)
RE=REAL(G)
WRITE(6,75) W,RE,AI,DB,DEG
75 FORMAT(2X,F10.3,2F10.5,2F10.2)
IF(W.EQ.1D.) GO TO 22
W=W*DW
GO TO 100
90 GAIN=REAL(G)
WRITE(6,91) GAIN
91 FORMAT(1H,17HSTEADYSTATE GAIN=,F10.3)
WRITE(6,92)
92 FORMAT(1X,9HFREQUENCY,4Y,4HREAL,4Y,9HIMAGINARY,2X,3HLOG,1X,7HMODUL
*US,3X,5HANGLE)
WRITE(6,93)
93 FORMAT(1X,14H(RADTANS/TIME),25X,4I(DB),5X,9H(DEGREES))
W=W0
GO TO 100
22 STOP
END

```

NIN	NOUT	W0	WMAX	WNUM
<b>10</b>	<b>19</b>	<b>0.10</b>	<b>10.00</b>	<b>20.00</b>
TIN	QIN			
1.645900	1.000000			
TOUT	XOUT			
0.000000	0.192000			
0.166700	0.206500			
0.333400	0.212000			
0.500100	0.227200			
0.666800	0.234400			
0.833500	0.239800			
1.000200	0.243700			
1.166900	0.246500			
1.333600	0.249300			
1.500300	0.249300			
1.667000	0.237700			
1.833700	0.227600			
2.000400	0.218800			
2.167100	0.211400			
2.333800	0.205000			
2.500500	0.199600			
2.667200	0.195000			
2.833900	0.191200			
3.000600	0.188000			

FREQUENCY (RADIANSTIME)	REAL	IMAGINARY	LOG MODULUS (DB)	ANGLE (DEGREES)
0.100	0.39754	-0.02515	-0.02	-3.62
0.112	0.39710	-0.02820	-0.03	-4.06
0.126	0.39654	-0.03160	-0.03	-4.56
0.141	0.39584	-0.03541	-0.04	-5.11
0.158	0.39495	-0.03977	-0.05	-5.74
0.178	0.39384	-0.04442	-0.06	-6.44
0.200	0.39245	-0.04972	-0.08	-7.22
0.224	0.39070	-0.05561	-0.10	-8.10
0.251	0.38850	-0.06214	-0.13	-9.09
0.282	0.38575	-0.06937	-0.16	-10.19
0.316	0.38230	-0.07773	-0.20	-11.44
0.355	0.37799	-0.08607	-0.26	-12.83
0.398	0.37261	-0.09558	-0.32	-14.39
0.447	0.36591	-0.10596	-0.41	-16.14
0.501	0.35760	-0.11623	-0.52	-18.09
0.562	0.34732	-0.12877	-0.65	-20.28
0.631	0.33467	-0.14025	-0.83	-22.74
0.708	0.31920	-0.15210	-1.06	-25.48
0.794	0.30043	-0.16336	-1.35	-28.54
0.891	0.27789	-0.17325	-1.72	-31.94
1.000	0.25120	-0.18065	-2.21	-35.72
1.122	0.22018	-0.18406	-2.87	-39.89
1.259	0.19504	-0.18152	-3.75	-44.45
1.413	0.14663	-0.17064	-4.98	-49.33
1.585	0.10686	-0.14860	-6.77	-54.28
1.778	0.06917	-0.11248	-9.61	-59.41
1.995	0.03910	-0.05976	-14.95	-56.80
2.239	0.02486	0.01025	-23.36	23.59
2.512	0.01788	0.00837	-11.57	68.94
2.818	0.00437	0.19960	-5.15	64.70
3.162	0.22653	0.31750	-0.20	54.49
3.548	0.65693	0.58411	6.86	41.64
3.981	-0.37095	-0.17753	-0.53	-151.79
4.467	0.14662	0.01140	-8.67	-4.53
5.012	0.22601	-0.05557	-4.69	-13.81
5.623	0.15378	-0.11079	-6.47	-35.77
6.310	0.09987	-0.00507	-31.12	-27.17
7.079	0.02782	0.52656	2.42	86.98
7.943	-0.24533	-0.36017	0.76	-124.26
8.915	0.18956	0.05990	-6.07	47.29
10.000	0.17025	-0.08117	-5.48	-27.47

**Ek 6. : Parabolik yaklaşım yönteminin sayısal bilgisayar çözümü Fortran programı.**

```

LIST
SEND TO (SEMICOMPTLED)
LIBRARY(SUBGROUPS2F7)
WORK(WORKFILE)
DUMP ON(PROGRAM FORT)
RUN
PROGRAM(XXXX)
INPUT5=CR4
OUTPUT6=LP3
END

MASTER PROG
PULSE TEST PROGRAM
PARABOLIK YAKLASIM
DIMENSION TIN(200),TOUT(200),X(200),Y(200)
COMPLEX G,G1,G2,G11,G12,FJW,FJ,SUM,SU,P0,P2N,GD,GM
INTEGER RI,RL
READ INPUT AND OUTPUT DATA
READ(5,1)NIN,NOUT,W0,WMAX,WNUM
1 FORMAT(2I5,3F6.2)
IF(NIN.EQ.0) GO TO 22
READ(5,13) (X(I),I=1,10)
13 FORMAT(10F0.0)
READ(5,14) (Y(K),K=1,19)
14 FORMAT(19F0.0)
DLT1=0.1851
DLT2=0.1851
N1=1
N2=10
DLT3=0.1667
DLT4=0.1667
N3=1
N4=19
RT=1.
RL=1.
DW=10.**(1./WNUM)
W=0.
WRITE(6,3) NIN,NOUT,W0,WMAX,WNUM
3 FORMAT(4X,3IHNIM      NOUT      W0      WMAX      WNUM,/,2X,2(15,3X),3
*(F6.2,3X))
TIN(1)=0.
DO 6 N=2,N2
6 TIN(N)=TIN(N-1)+0.1851
WRITE(6,10)
10 FORMAT(4X,3HTIN,10X,3HGTIN)
WRITE(6,17) TIN(10),X(10)
17 FORMAT(2(4X,F9.6))
TOUT(1)=0.
DO 5 N=2,NOUT
5 TOUT(N)=TOUT(N-1)+0.1667
WRITE(6,11)
11 FORMAT(5X,4HTOUT,0X,4HXOUT)
WRITE(6,15) ((TOUT(K),Y(K)),K=1,19)
15 FORMAT(2(4X,F9.6))
100 IF(W.GT.10.000) W=10.0
GD=CMPLX(0.,0.)

```

```

SUM=CMPLX(0.,0.)
IF(W.EQ.0) GO TO 50
C INTEGRAL ADIM ARALIGI GTRIS PULSE ICIN SARITTIR
IF(DLT1.EQ.DLT2) GO TO 12
J=1
C INTEGRAL ADIM ARALIGININ DEGISIMI
18 GO TO (19,17)*J
19 MI=1
MF=N1
DLT=DLT1
GO TO 76
12 J=2
MT=N1
MF=N2
DLT=DLT?
C FOURIER SONUSUMUNU HESAPLA
76 LPI=R1
DO 30 I=MI,MF,RI
G1=CMPLX(0.,-W*(I-1)*0.1851)
G2=CEXP(G1)
IF(I.EQ.MI.OR.I.EQ.MF) GO TO 24
FJW=X(I)*G2
GO TO 26
24 FJW=0.5*X(I)*G2
26 SUM=SUM+FJW*DLT
30 CONTINUE
GO TO (41,42)*J
41 GD=GD+SUM
SUM=CMPLX(0.,0.)
J=2
GO TO 18
42 GD=GD+SUM
IF(W.GE.0.1) GO TO 83
C STFIR SIKLIGI ICIN
50 AREA=0.
IF(DLT1.EQ.DLT2) GO TO 62
J=1
60 GO TO (61,62)*J
61 MI=1
MF=N1
DLT=DLT1
GO TO 65
62 J=2
MT=N1
MF=N2
DLT=DLT?
65 LPI=R1
DO 78 I=MI,MF,RI
IF(I.EQ.MI.OR.I.EQ.MF) GO TO 79
AREA=AREA+X(I)*DLT
GO TO 78
79 AREA=AREA+0.5*X(I)*DLT
78 CONTINUE
GO TO (81,82)*J
81 GD=GD+CMPLX(AREA,0.)
AREA=0.
J=2

```

```

GO TO 60
82 GN=GD+CMPLX(AREA,0.)
83 GN=CMPLX(0.,0.)
SU=CMPLX(0.,0.)
IF(W,EQ,0) GO TO 111
C INTEGRAL ADM APALIGT GYRIS PULSE ICIN SARITTIR,
IF(DLT3,EQ,DLT4) GO TO 105
L=1
C INTEGRAL ADM APALIGTININ DEGISINTI
102 SU TO(103,105),L
103 MN=1
MS=M3
DLTS=DLT3
GO TO 104
105 L=2
MN=M3
MS=M4
DLTS=DLT4
C FOURIER SONUÇUMUNU HESAPLA
104 RL=RL
G3=U*DLTS
G4=G3/2.
G5=COS(G3)
G6=SIN(G3)
G7=COS(G4)
G8=SIN(G4)
G9=2.*((3.+G5-4.*G6/G3)/G3**2)
G10=2.*((G7-4.*G3-4.*G5/G3+G6)/G3**2)
IF(L,NE,2) GO TO 106
PO=CMPLX(G9,-G10)
P2N=CMPLX(G9,G10)
106 P000=16.*(-G7+2.*G8/G3)/G3**2
PEVEN=4.*((3.+G5-4.*G6/G3)/G3**2
G11=CMPLX(0.,-W*(MN-1)*D,1667)
G12=CEXP(G11)
IF(L,NE,2) DLTS=DLT3
SU=SU+DLTS*(PO*Y(MN)*G12)/2.
G11=CMPLX(0.,-W*(MS-1)*D,1667)
G12=CEXP(G11)
SU=SU+DLTS*(P2N*Y(MS)*G12)/2.
IF(L,NE,2) DLTS=DLT4
M1=MS
L1=MN+RL
DO 107 K=L1,M1,RL
G11=CMPLX(0.,-W*(K-1)*D,1667)
G12=CEXP(G11)
FJ=Y(K)*G12*PO00
107 SU=SU+DLTS*FJ/2.
M2=MS-RL
L1=MN+RL
DO 108 K=L1,M2,RL
G11=CMPLX(0.,-W*(K-1)*D,1667)
G12=CEXP(G11)
FJ=Y(K)*G12*pEVEN
108 SU=SU+DLTS*FJ/2.
GO TO (71,32),L
31 GN=GN+SU

```

```

SU=CMPLX(0.,0.)
L=2
GO TO 102
32 GN=GN+SU
IF(W.GE.0.1) GO TO 86
C STIFIR SIKLIGI ICIN(SIMPSON KURALI)
111 ODO=0.
EVEN=0.
IF(DLT3.EQ.DLT4) GO TO 100
L=1
110 GO TO (112,109),L
112 MN=1
MS=N3
DLTS=DLT3
GO TO 113
109 L=2
MN=N3
MS=N4
DLTS=DLT4
113 LPL=RI
AR=DLTS*(Y(MN)+Y(MS))/6.
M1=M$ 
L1=MN+RL
DO 114 K=L1,M1,RL
114 ODO=ODO+Y(K)
M2=MS+RL
L1=MN+RL
DO 115 K=L1,M2,RL
115 EVEN=EVEN+Y(K)
AR=AR+DLTS*(4.*ODO+2.*EVEN)/6.
GO TO (116,117),L
116 GN=GN+CMPLX(AR,0.)
ODO=0.
EVEN=0.
L=2
GO TO 110
117 GN=GN+CMPLX(AR,0.)
86 G=GN/GD
IF(W.EQ.0.) GO TO 90
DR=20.* ALOG10(CABS(G)/ABS(GAIN))
DEG=ATAN(AIMAG(G)/REAL(G))*180./3.1416
IF((REAL(G)/GAIN).LT.0) DEG=DEG-180.
AI=AIMAG(G)
RF=REAL(G)
WRITE(6,75) W,RE,AI,DR,DEG
75 FORMAT(2X,F10.3,2F10.5,2F10.2)
IF(W.EQ.10.) GO TO 22
W=W*BW
GO TO 100
90 GAIN=REAL(G)
WRITE(6,91) GAIN
91 FORMAT(1H1,17HSTEADYSTATE GAIN=,F10.3)
WRITE(6,92)
92 FORMAT(1X,9HFREQUENCY,4V,4HREAL,4X,9HTHIMAGINARY,2X,3HLOG,1X,7HMODUL
*US,3X,SHANGLE)
WRITE(6,93)

```

93 FORMAT(1X,14H(RAD,TAN\$/TIME),25X,4I(08),5X,9H(DEGREES))  
W=WC  
60 TO 100  
22 STOP  
END

NIN	NOUT	W0	UMAX	WNUM
10	10	0.10	10.00	20.00
TIN	GFM			
1.665900	1.000000			
TOUT	XOUT			
0.000000	0.192000			
0.166700	0.206500			
0.333400	0.218000			
0.500100	0.227200			
0.666800	0.234400			
0.833500	0.239800			
1.000200	0.243700			
1.166900	0.246500			
1.333600	0.248300			
1.500300	0.249300			
1.667000	0.237700			
1.833700	0.227600			
2.000400	0.219800			
2.167100	0.211400			
2.333800	0.205000			
2.500500	0.199600			
2.667200	0.195000			
2.833900	0.191200			
3.000600	0.188000			

STEADY STATE GAIN = 0.399		REAL	IMAGINARY	LOG MODULUS (DB)	ANGLE (DEGREES)
FREQUENCY (RADIAN/TIME)					
0.100	0.39102	-0.02662	-0.16	-3.90	
0.112	0.39056	-0.02985	-0.16	-4.37	
0.126	0.39998	-0.03346	-0.17	-4.00	
0.141	0.38926	-0.03749	-0.18	-5.50	
0.158	0.38835	-0.04200	-0.19	-6.17	
0.178	0.38720	-0.04703	-0.20	-6.92	
0.200	0.38577	-0.05263	-0.22	-7.77	
0.224	0.39396	-0.05886	-0.24	-8.72	
0.251	0.39170	-0.06578	-0.26	-9.78	
0.282	0.37886	-0.07342	-0.29	-10.97	
0.316	0.37531	-0.08165	-0.33	-12.30	
0.355	0.37087	-0.09110	-0.38	-13.80	
0.398	0.36534	-0.10116	-0.45	-15.48	
0.447	0.35845	-0.11204	-0.53	-17.36	
0.501	0.34991	-0.12365	-0.63	-19.46	
0.562	0.33937	-0.13585	-0.76	-21.82	
0.631	0.32641	-0.14841	-0.93	-24.45	
0.708	0.31159	-0.16075	-1.15	-27.39	
0.794	0.29146	-0.17288	-1.42	-30.67	
0.891	0.26856	-0.19377	-1.78	-34.33	
1.000	0.24157	-0.19127	-2.25	-38.37	
1.122	0.21040	-0.19504	-2.87	-42.83	
1.259	0.17539	-0.19269	-3.70	-47.69	
1.413	0.13762	-0.18179	-4.86	-52.87	
1.585	0.09932	-0.15962	-6.54	-58.11	
1.778	0.06435	-0.12343	-9.15	-62.46	
1.995	0.03880	-0.07111	-13.85	-61.38	
2.239	0.02153	-0.02216	-22.03	-7.91	
2.512	0.05480	0.08115	-12.20	55.97	
2.818	0.12620	0.17352	-5.39	53.97	
3.162	0.28332	0.27354	-0.12	43.99	
3.548	0.80429	0.48619	7.44	31.15	
3.981	-0.45793	-0.16173	1.87	-160.93	
4.467	0.19227	-0.03314	-11.39	-17.96	
5.012	0.18948	-0.11120	-5.17	-30.54	
5.623	0.12857	-0.15917	-5.80	-51.07	
6.310	0.03714	-0.04715	-16.46	-51.78	
7.079	0.23878	0.40849	1.48	50.70	
7.943	-0.44016	-0.31705	2.67	-144.23	
8.913	0.17464	-0.05941	-8.67	-23.81	
10.000	0.18184	-0.18873	-3.65	-46.07	

## REFERANSLAR

1. ALPBAZ, M.  
Ph.D. Thesis, University of Aston England (1975).
2. SELEK, A.  
M.Sc. Thesis, Anadolu University (1983) .
3. KAYTAKOĞLU, S.  
M.Sc. Thesis, Anadolu University (1983).
4. ÖZKAN, C.  
M.Sc. Thesis, Anadolu University (1983).
5. LUYBEN, W.L.  
Process Modelling Simulation and Control for  
Chemical Engineers, Mc-Graw Hill.Comp, Kogakusha(1973).
6. WATANABE, N. , MATSUBARA , M.  
Jorn of Chem. Eng. of Japan, 14,78 (1981) .
7. DREIFKE, G.E.  
Ph.D. Thesis, Washington University, USA (1961) .
8. HOUGEN, J.O., WALSH, A.A.  
Chem. Eng. Progress, 67,69 (1961).
9. MESSA, C.J., LUYBEN, W.L., POEHLIN, G.W.  
Ind. Eng. Chem. Fund, 8,745 (1969) .
10. RAKE, H.  
Automatica, 16,519 (1980) .
11. MICHAEL, J.H.  
Ph.D. Thesis Aston University England (1977).
12. DESPANDE, P.B., LAUKHUF., NADKISHOR, G.P.  
Chem.Eng. Ed., Winter 26 (1980) .
13. DESPANDE, P.B.  
A.I Chem. Eng, 26,305 (1980) .

14. LEVY, E.C.  
IRE Trans. Aut, Cont ., 4,37 (1959).
15. SANATHANAN, C.K., KOERNER, J.  
IEEE Trans. Aut. Cont ., 8,56 (1963) .
16. LIN , K.F., WU , L.L.  
Chem Eng. Sci., 36,435 (1980).
17. PAYNE, P.A.  
IEEE Trans. Aut Cont ., 15,480 (1970) .
18. LAWRENCE , P.J., ROGERS, G.J.  
Proc. IEE, 126,104 (1979).
19. HİÇŞAŞMAZ, Z.  
M.Sc. Ortadoğu Teknik Üniversitesi (1982) .
20. CRESWELL, D.L.  
Summer School On Modelling of Dynamical Systems  
Based on Experimental Data With Chemical  
Engineering Applications (1980) .
21. EROĞLU İ.  
Ph. D. Thesis Ortadoğu Teknik Üniversitesi (1981) .
22. LUBBERT, A., DIEKMANN, J. ROTZOLL, G.  
Proceedings of A Summer School Held At Bad  
Honnef P 223 (1982) .